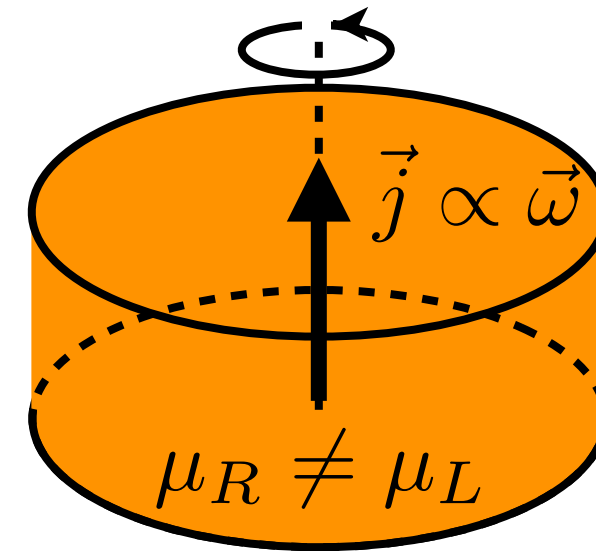
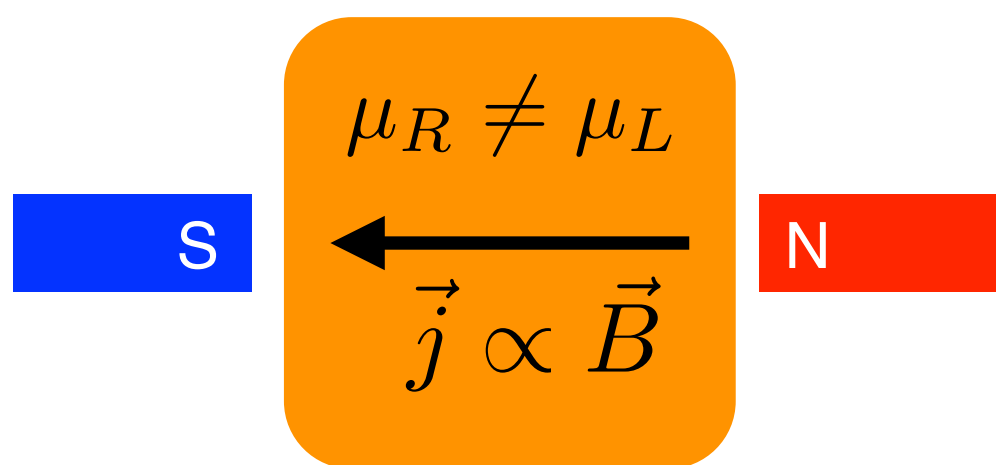


Quark Matter 2017

理論の発展

カイラル磁気効果、カイラル渦効果を中心に



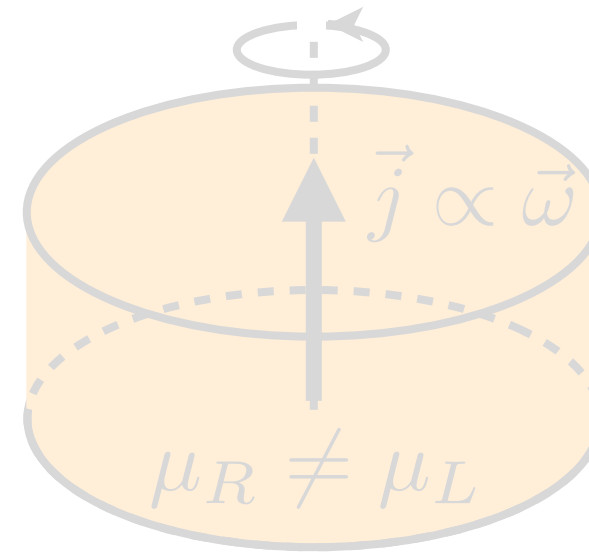
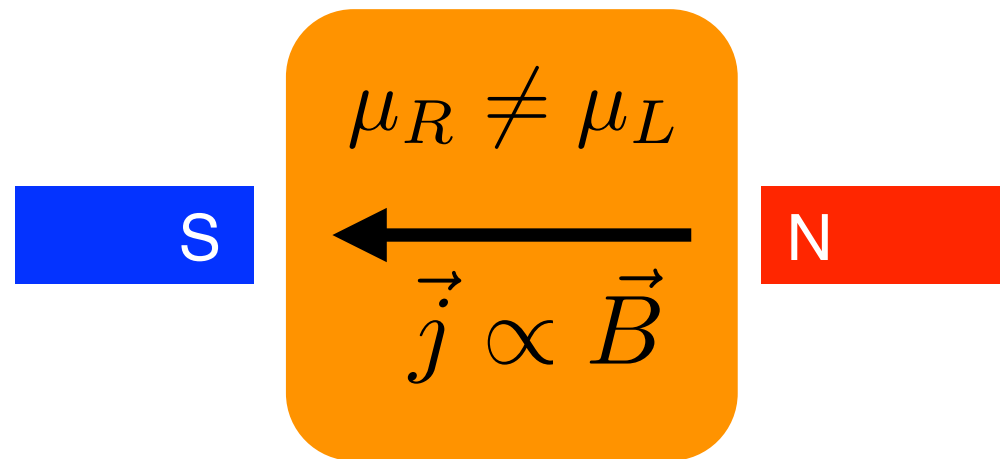
本郷 優

(理研 iTHESS)

Quark Matter 2017

理論・実験の発展

カイラル磁気効果、カイラル渦効果を中心に



本郷 優

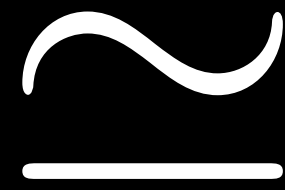
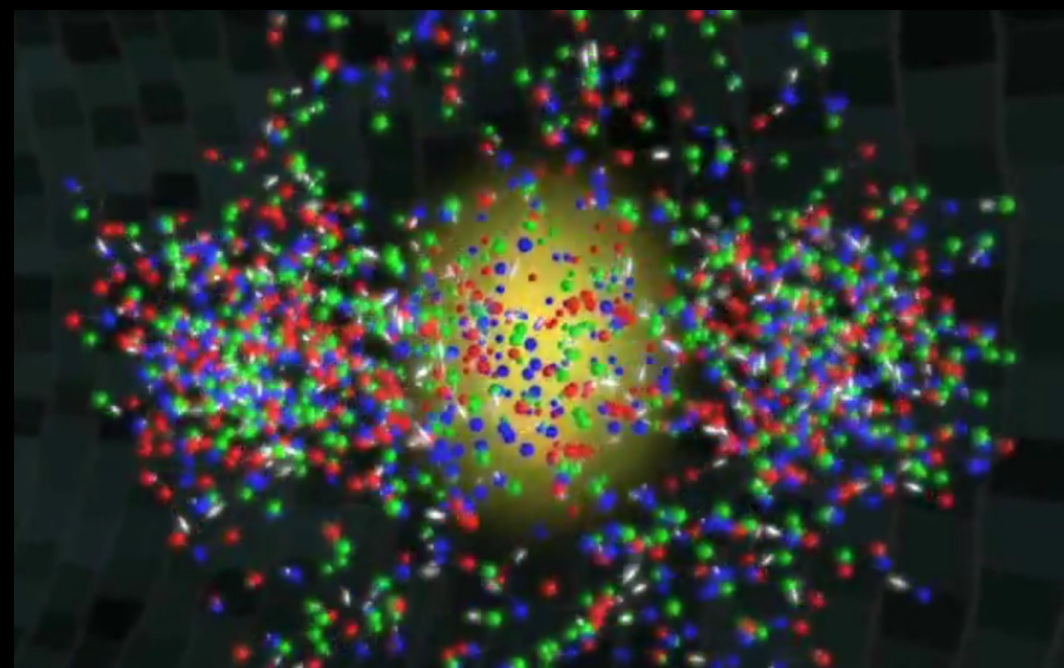
(理研 iTHESS)

QGPと流体力学

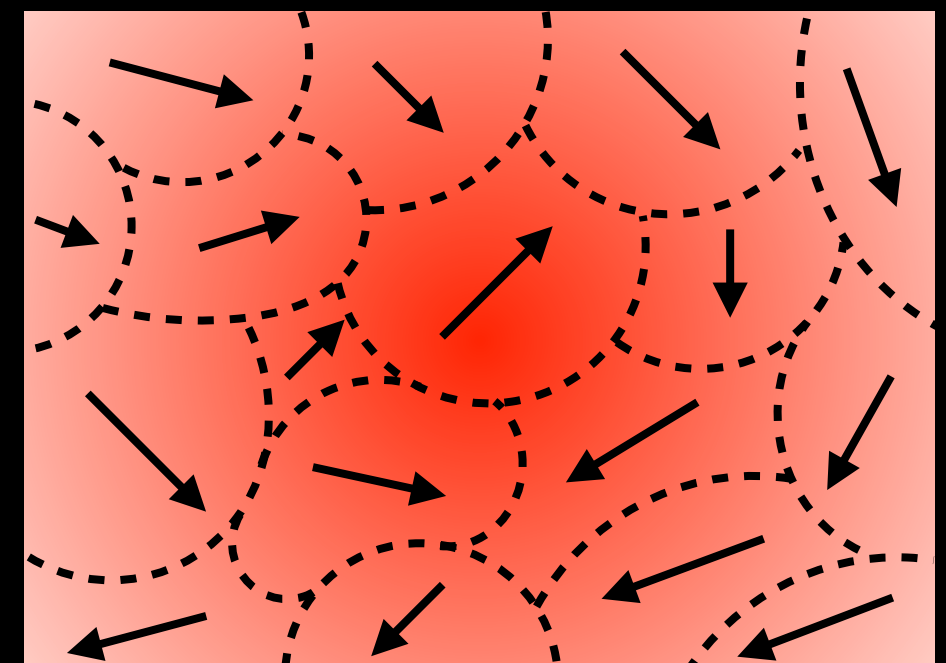
- 系の詳細によらない、**ユニバーサルな記述を行う**
- マクロなダイナミクスを記述する有効理論**
- 保存量のみに注目** ~ 系の**対称性のみ**に注目

[日高 義将, 本郷 優, 数理科学 2017年7月号掲載予定「場の量子論と流体力学のつながり」]

クオーク・グルーオン プラズマ



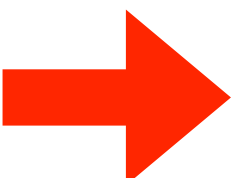
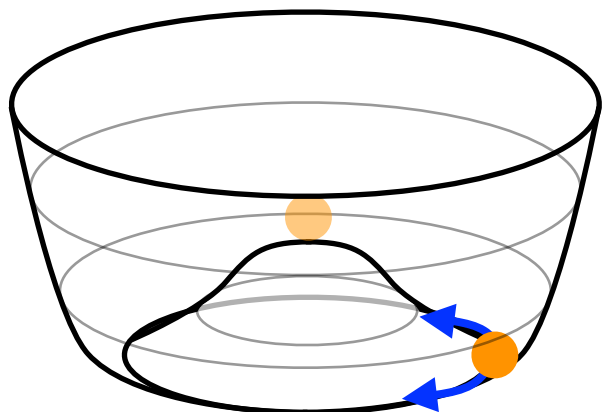
流体力学 $\{\beta(x), \vec{v}(x)\}$



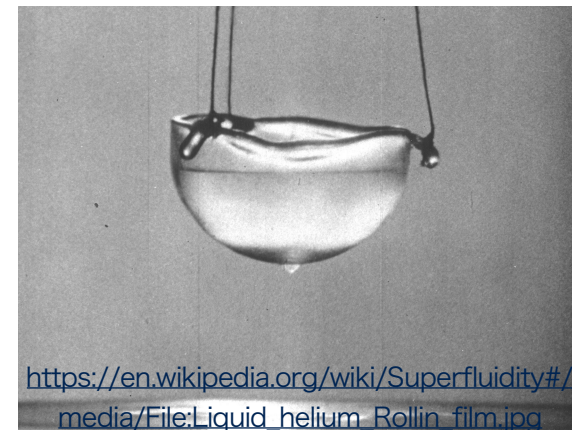
対称性の破れと流体力学

◆ 自発的な対称性の破れ

ミクロな現れ：真空の選択



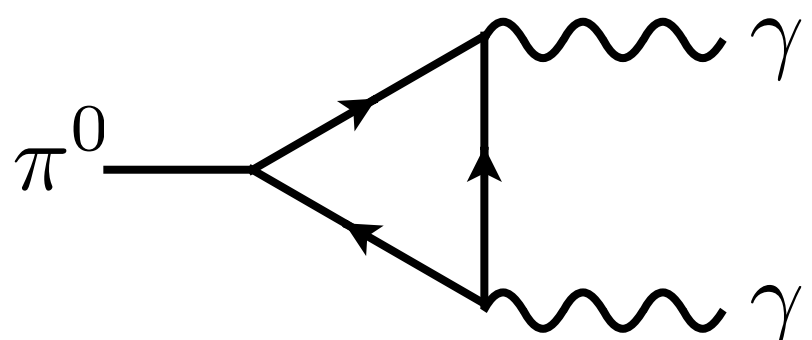
マクロな現れ：超流動



https://en.wikipedia.org/wiki/Superfluidity#/media/File:Liquid_helium_Rollin_film.jpg

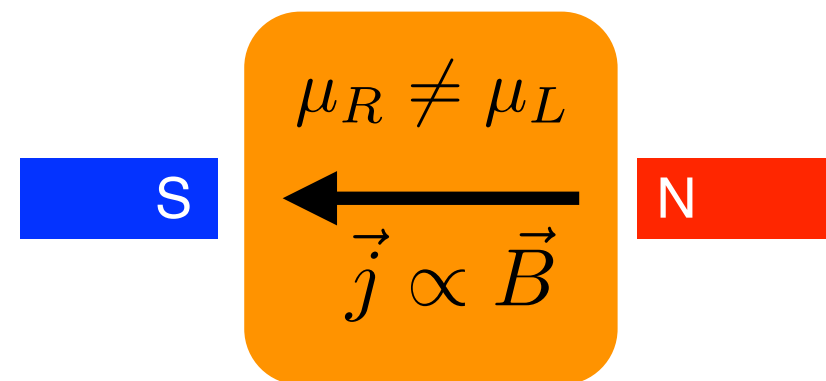
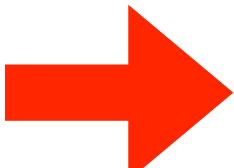
◆ 量子異常による対称性の破れ

ミクロな現れ： π^0 崩壊



[Adler 1969, Bell-Jackiw 1969]

マクロな現れ：カイラル異常輸送



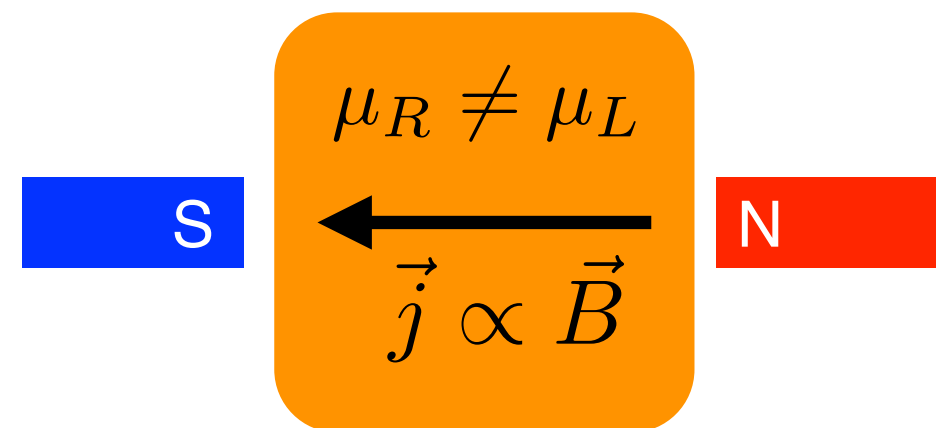
[Erdmenger et al. 2008, Son-Surowka 2009]

パリティの破れに伴う輸送現象

◆ カイラル磁気効果 (CME)

[Fukushima et al.2008, Vilenkin 1980]

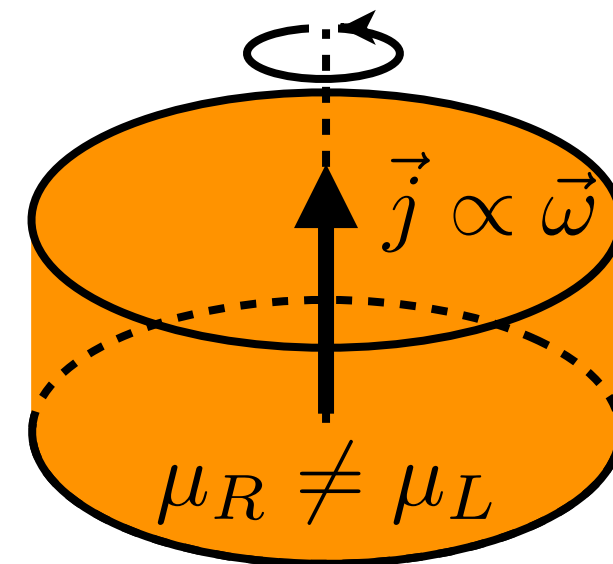
$$\vec{j} = \frac{e\mu_5}{2\pi^2} \vec{B}$$



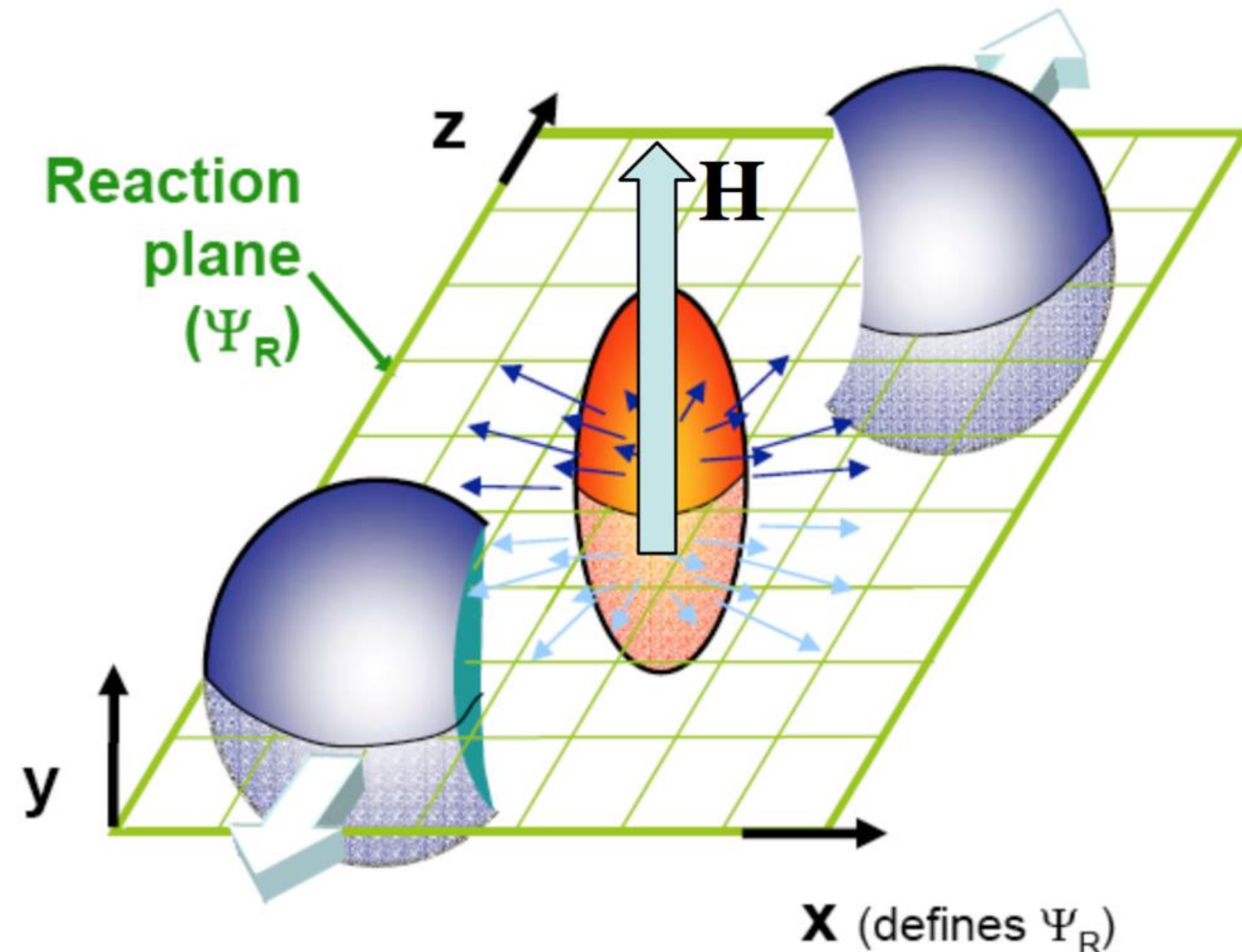
◆ カイラル渦効果 (CVE)

[Erdmenger et al. 2008, Son-Surowka 2009]

$$\vec{j} = \frac{\mu\mu_5}{2\pi^2} \vec{\omega}$$



CME検証の場としての重イオン衝突



重イオン衝突には強い磁場もパリティの破れもある！

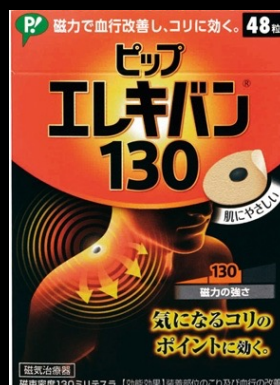
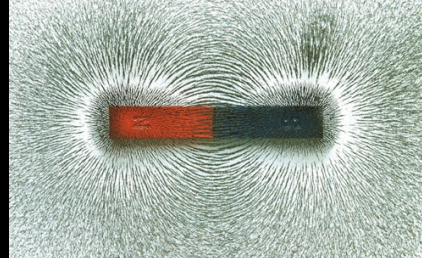
→ QGPはカイラル磁気効果を検証する絶好の場！！



典型的な磁場の強さ

- 地球の地磁気

$\sim 10^{-5}$ T



- 棒磁石, ピップエレキバン

$\sim 10^{-1}$ T



- 実験室で到達可能な定常磁場

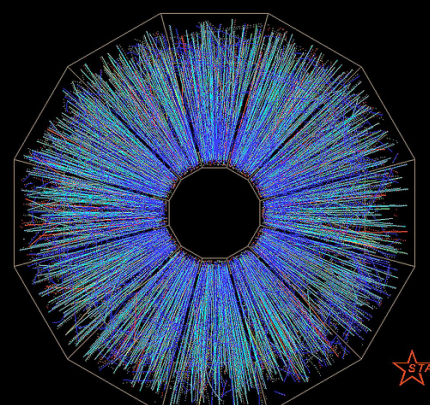
~ 10 T

- 実験室で到達可能な瞬間磁場

$\sim 10^3$ T

- マグネターの表面

$\sim 10^8 - 10^{11}$ T



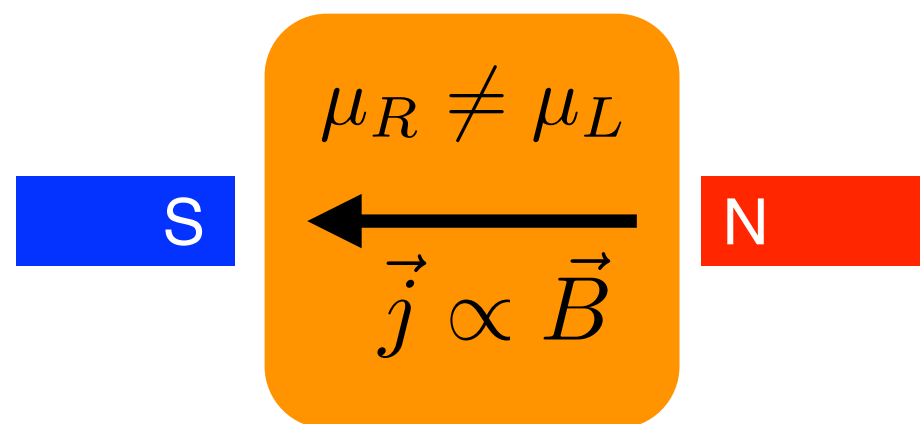
- 重イオン衝突における磁場

$\sim 10^{15}$ T

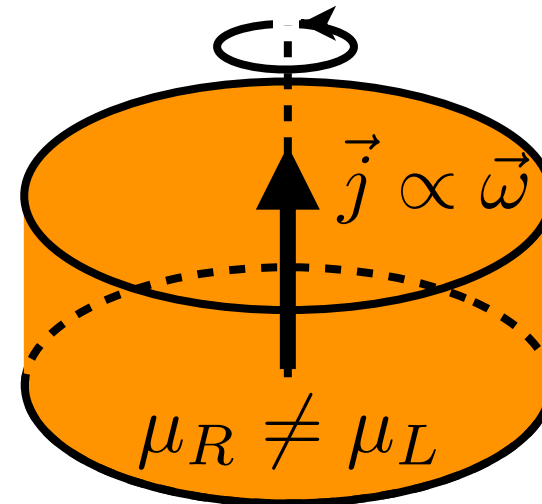
宇宙で最も強い磁場！

カイラル輸送現象と重要な物理

カイラル磁気効果(CME)



カイラル渦効果(CVE)



重イオン衝突での目標：

①カイラル輸送現象の検証、並びに②これを用いた**QCDの性質**の検証

① CME/CVE自身の
実験的検証

② QCD真空の性質
(スファレロン遷移)

☒ 物性物理での検証可能！

[Q. Li, Nature Phys. (2016), ...]

物性物理ではむずかしい!
が、重イオンでも非常に厳しい

QM2017での進展(の一部)

1. 重イオン衝突におけるカイラル輸送現象の検証に向けて

- カイラル磁気効果を含んだ流体力学の数値計算と粒子相関 [Talk by Hirono]
- 粘性+カイラル輸送流体のシミュレーションと粒子相関の計算 [Talk by Shi]
- 小さい系におけるカイラル磁気効果の実験的検証 [Talk by Sorensen, Tu, Park]
- RHICの同重体(isobar, ZrZr/RuRu)衝突実験に向けた計算 [Talk by Huang, Shi]
- 初期過程における古典統計近似に基づいたカイラル磁気効果の計算 [Talk by Mueller]
- カイラル渦/磁気効果を含んだ流体力学の数値計算と粒子相関 [Talk by Guo]
- 流速場の渦度分布の時間発展とラムダ粒子の偏極 [Talk by Pang, Karpenko, Wang]
- 原子核内の荷電粒子を波束として扱ったときの電磁場の時間発展 [Talk by Peroutka]

2. カイラル輸送現象に関する新しい現象の提案

- 磁力線のつなぎかえにより誘発されるカイラル磁気効果 [Talk by Hirono, Kharzeev]
- カイラル磁気流体におけるモード解析と不安定モード [Talk by Hattori, Hirono]
- 強い磁場中におけるカイラルプラズマの輸送現象(電荷の再分配) [Talk by Hattori]

QM2017での進展(の一部)

3. 流体力学の理論的枠組みに関する進展

- Bjorken解を背景にした流体の非線形揺らぎとロングタイムテイル [Talk by Akamatsu]
- 臨界点近傍における流体方程式の現象論的理解 [Talk by Stephanov]
- 場の理論(久保公式)に基づいた粘性・緩和時間の摂動計算 [Talk by Czajka]

4. その他

- Lefschetz thimbleを用いた符号問題への取り組み(実時間と有限密度) [Talk by Basar]
- 曲がった時空中における新たなカイラル渦効果の提案 [Talk by Fukushima in satellite]
- 世界線形式に基づいたカイラル運動論の再定式化 [Talk by Venugopalan in satellite]

QM2017での進展(の一部)

3. 流体力学の理論的枠組みに関する進展

- Bjorken解を背景にした流体の非線形揺らぎとロングタイムテイル [Talk by Akamatsu]
- 臨界点近傍における流体方程式の現象論的理解 [Talk by Stephanov]
- 場の理論(久保公式)に基づいた粘性・緩和時間の摂動計算 [Talk by Czajka]

4. その他

- Lefschetz thimbleを用いた符号問題への取り組み(実時間と有限密度) [Talk by Basar]
- 曲がった時空中における新たなカイラル渦効果の提案 [Talk by Fukushima in satellite]
- 世界線形式に基づいたカイラル運動論の再定式化 [Talk by Venugopalan in satellite]

QM2017での進展(の一部)

1. 重イオン衝突におけるカイラル輸送現象の検証に向けて

- カイラル磁気効果を含んだ流体力学の数値計算と粒子相関 [Talk by Hirono]
- 粘性+カイラル輸送流体のシミュレーションと粒子相関の計算 [Talk by Shi]
- 小さい系におけるカイラル磁気効果の実験的検証 [Talk by Sorensen, Tu, Park]
- RHICの同重体(isobar, ZrZr/RuRu)衝突実験に向けた計算 [Talk by Huang, Shi]
- 初期過程における古典統計近似に基づいたカイラル磁気効果の計算 [Talk by Mueller]
- カイラル渦/磁気効果を含んだ流体力学の数値計算と粒子相関 [Talk by Guo]
- 流速場の渦度分布の時間発展とラムダ粒子の偏極 [Talk by Pang, Karpenko, Wang]
- 原子核内の荷電粒子を波束として扱ったときの電磁場の時間発展 [Talk by Peroutka]

2. カイラル輸送現象に関する新しい現象の提案

- 磁力線のつなぎかえにより誘発されるカイラル磁気効果 [Talk by Hirono, Kharzeev]
- カイラル磁気流体におけるモード解析と不安定モード [Talk by Hattori, Hirono]
- 強い磁場中におけるカイラルプラズマの輸送現象(電荷の再分配) [Talk by Hattori]

QM2017での進展(の一部)

1. 重イオン衝突におけるカイラル輸送現象の検証に向けて

- カイラル磁気効果を含んだ流体力学の数値計算と粒子相関 [Talk by Hirono]
- 粘性+カイラル輸送流体のシミュレーションと粒子相関の計算 [Talk by Shi]
- 小さい系におけるカイラル磁気効果の実験的検証 [Talk by Sorensen, Tu, Park]
- RHICの同重体(isobar, ZrZr/RuRu)衝突実験に向けた計算 [Talk by Huang, Shi]
- 初期過程における古典統計近似に基づいたカイラル磁気効果の計算 [Talk by Mueller]
- カイラル渦/磁気効果を含んだ流体力学の数値計算と粒子相関 [Talk by Guo]
- 流速場の渦度分布の時間発展とラムダ粒子の偏極 [Talk by Pang, Karpenko, Wang]
- 原子核内の荷電粒子を波束として扱ったときの電磁場の時間発展 [Talk by Peroutka]

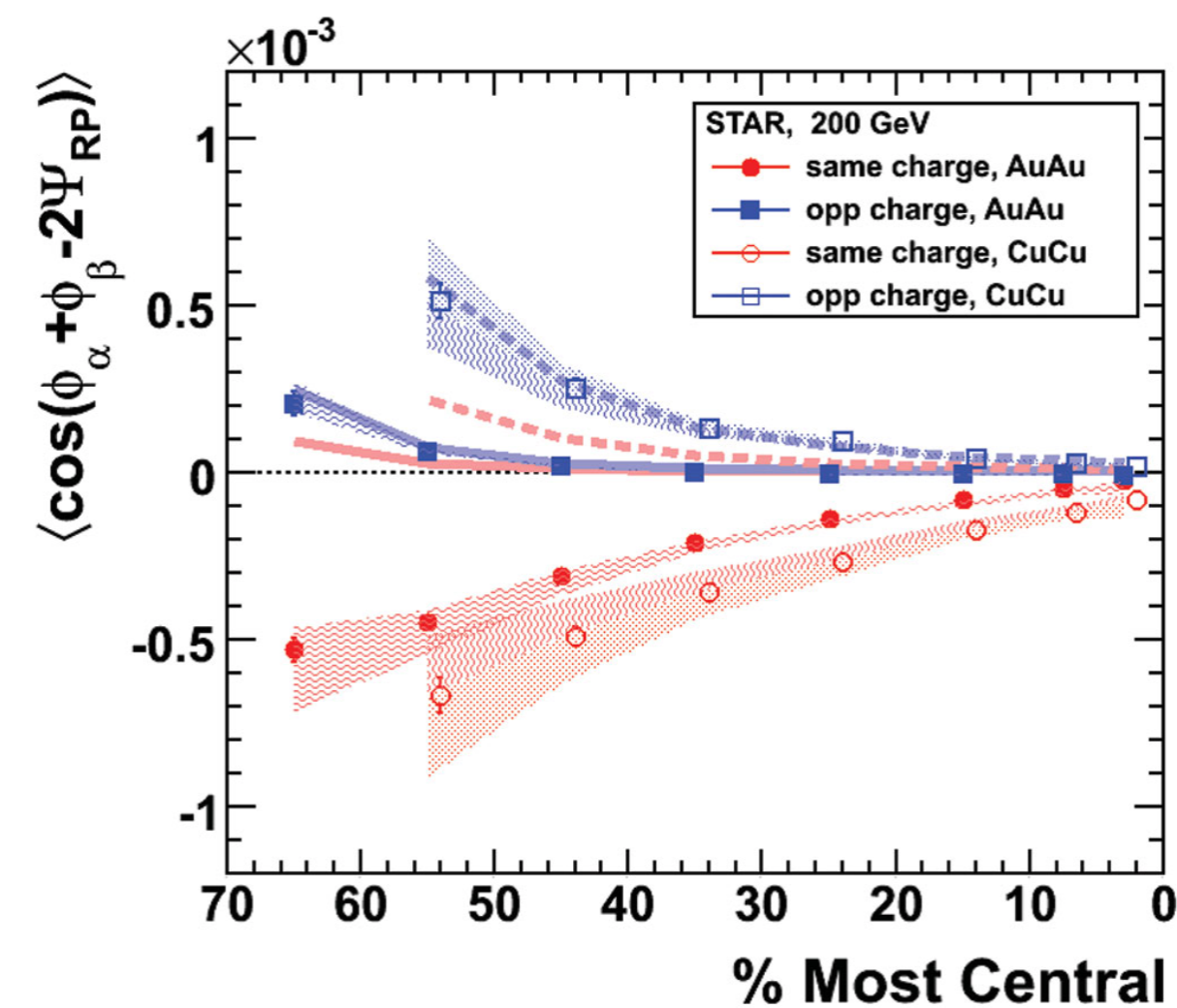
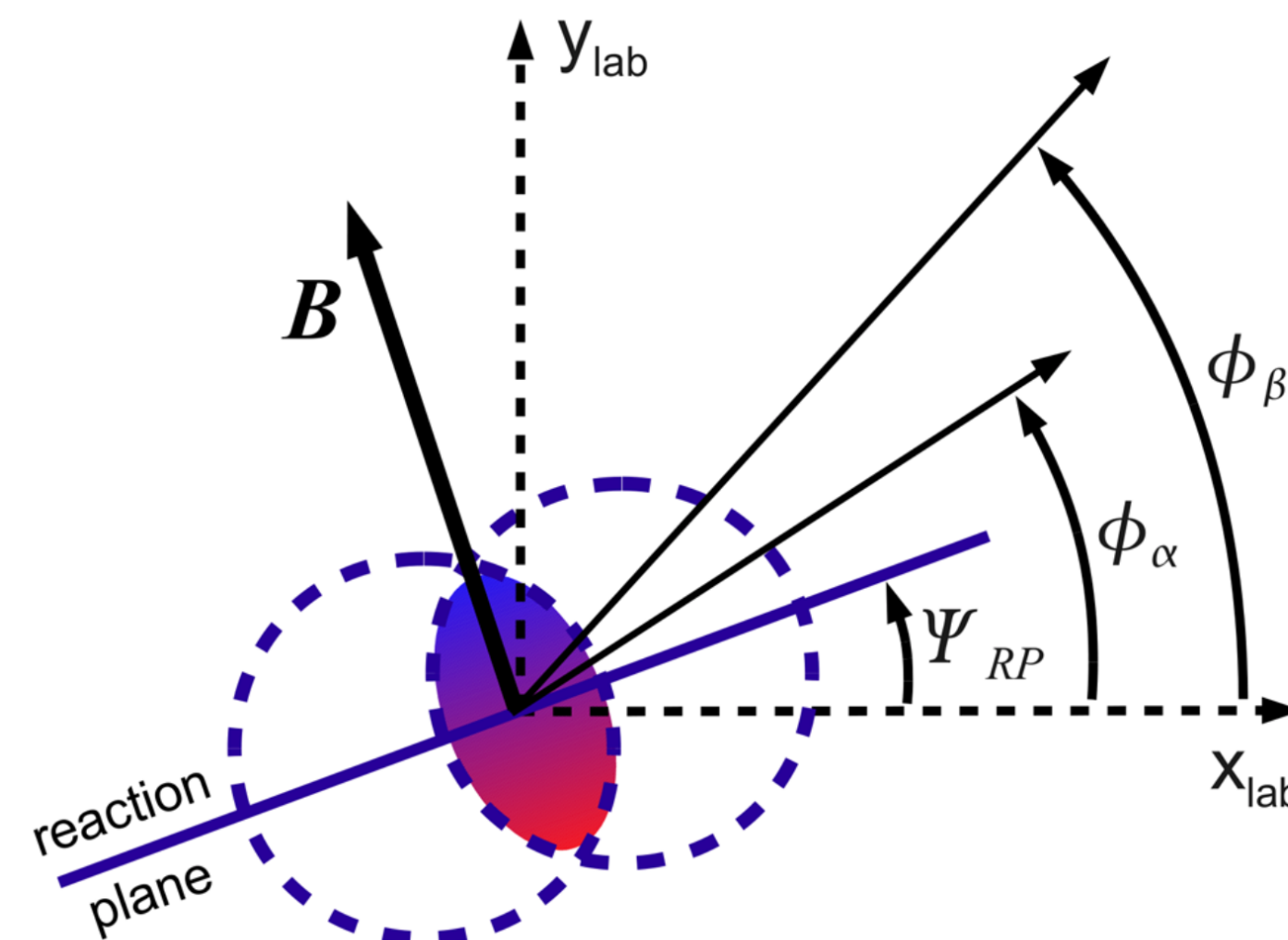
2. カイラル輸送現象に関する新しい現象の提案

- 磁力線のつなぎかえにより誘発されるカイラル磁気効果 [Talk by Hirono, Kharzeev]
- カイラル磁気流体におけるモード解析と不安定モード [Talk by Hattori, Hirono]
- 強い磁場中におけるカイラルプラズマの輸送現象(電荷の再分配) [Talk by Hattori]

CMEのシグナル候補1

Charge dependent correlations: $\langle \cos(\phi_1^\alpha + \phi_2^\beta - 2\Psi_{RP}) \rangle$

$\alpha, \beta \in \{+, -\}$



同じ電荷同士の2粒子相関・異なる電荷の2粒子相関の間の
非対称性がCMEのシグナルになっているはず！

Charge dependent correlations [STAR]

$$\langle \cos(\phi_1^\alpha + \phi_2^\beta - 2\Psi_{\text{RP}}) \rangle$$

$$\alpha, \beta \in \{+, -\}$$

Charge dependent correlations [STAR]

$$\langle \cos(\phi_1^\alpha + \phi_2^\beta - 2\Psi_{\text{RP}}) \rangle$$

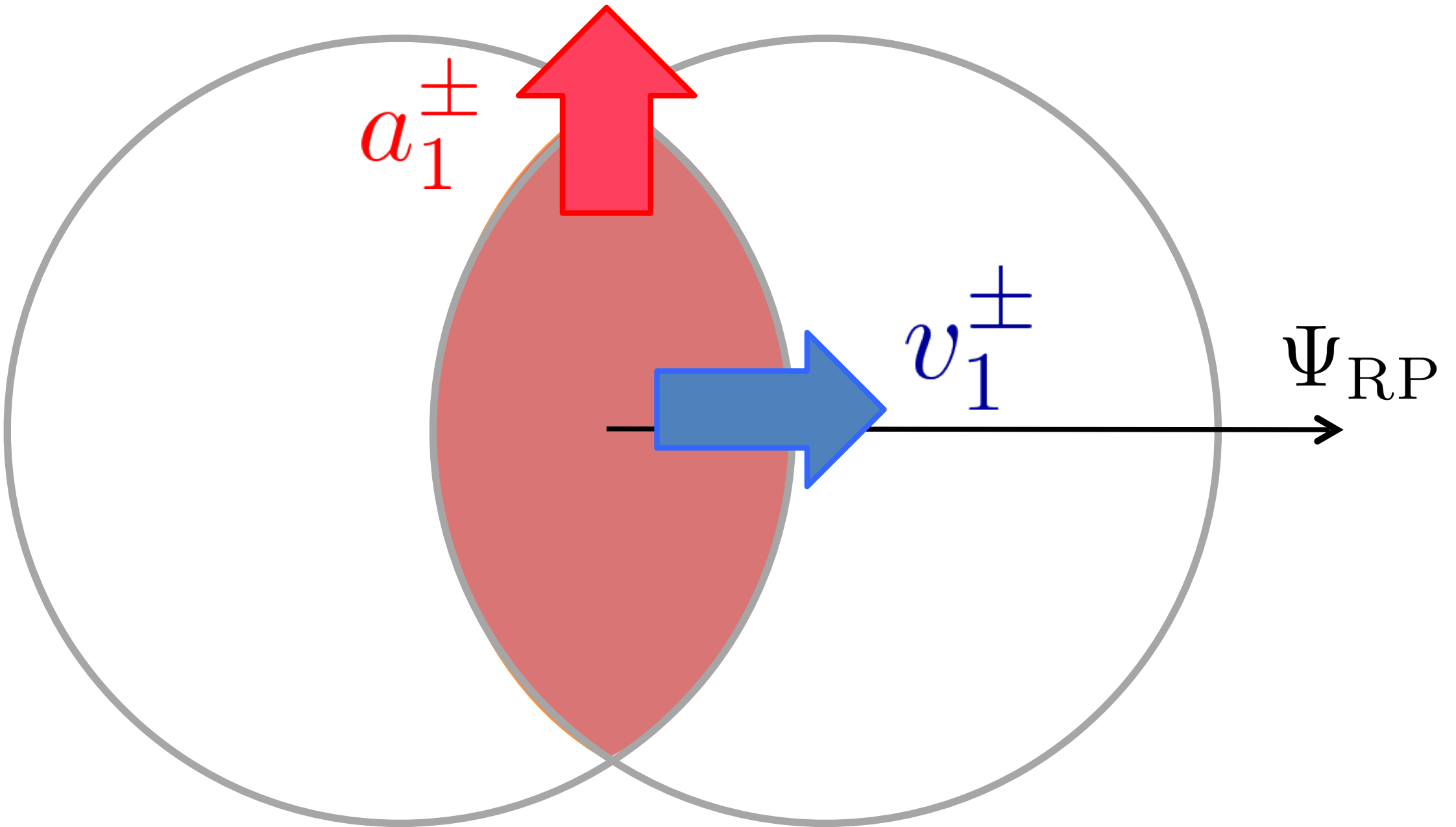
$$\alpha, \beta \in \{+, -\}$$

$$\langle \cos(\phi_1^+ + \phi_2^+ - 2\Psi_{\text{RP}}) \rangle$$

$$= \langle \cos(\phi_1^+ - \Psi_{\text{RP}}) \cos(\phi_2^+ - \Psi_{\text{RP}}) \rangle - \langle \sin(\phi_1^+ - \Psi_{\text{RP}}) \sin(\phi_2^+ - \Psi_{\text{RP}}) \rangle$$

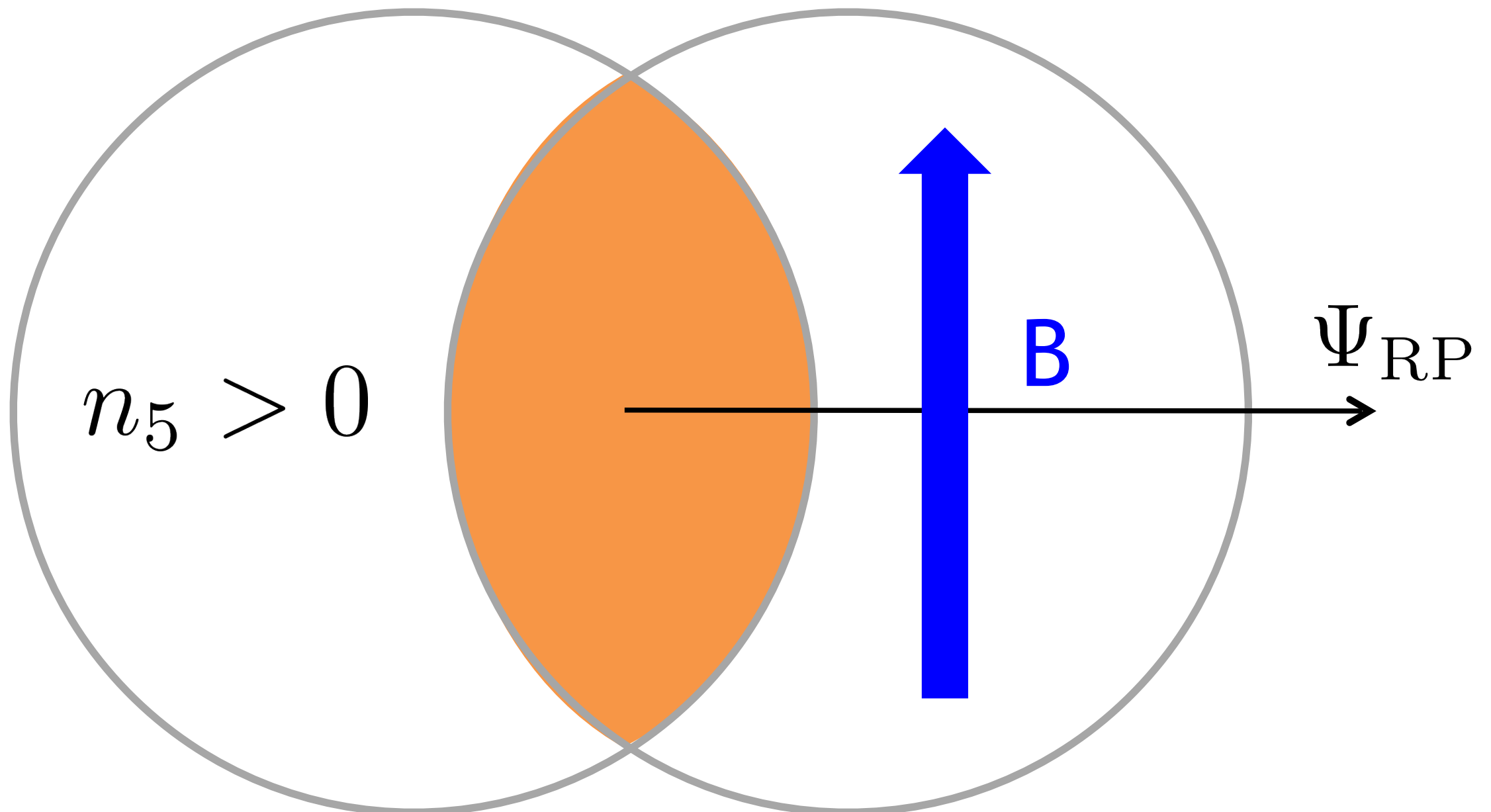
$$= \langle (v_1^+)^2 \rangle - \langle (a_1^+)^2 \rangle$$

Charge dependent correlations [STAR]

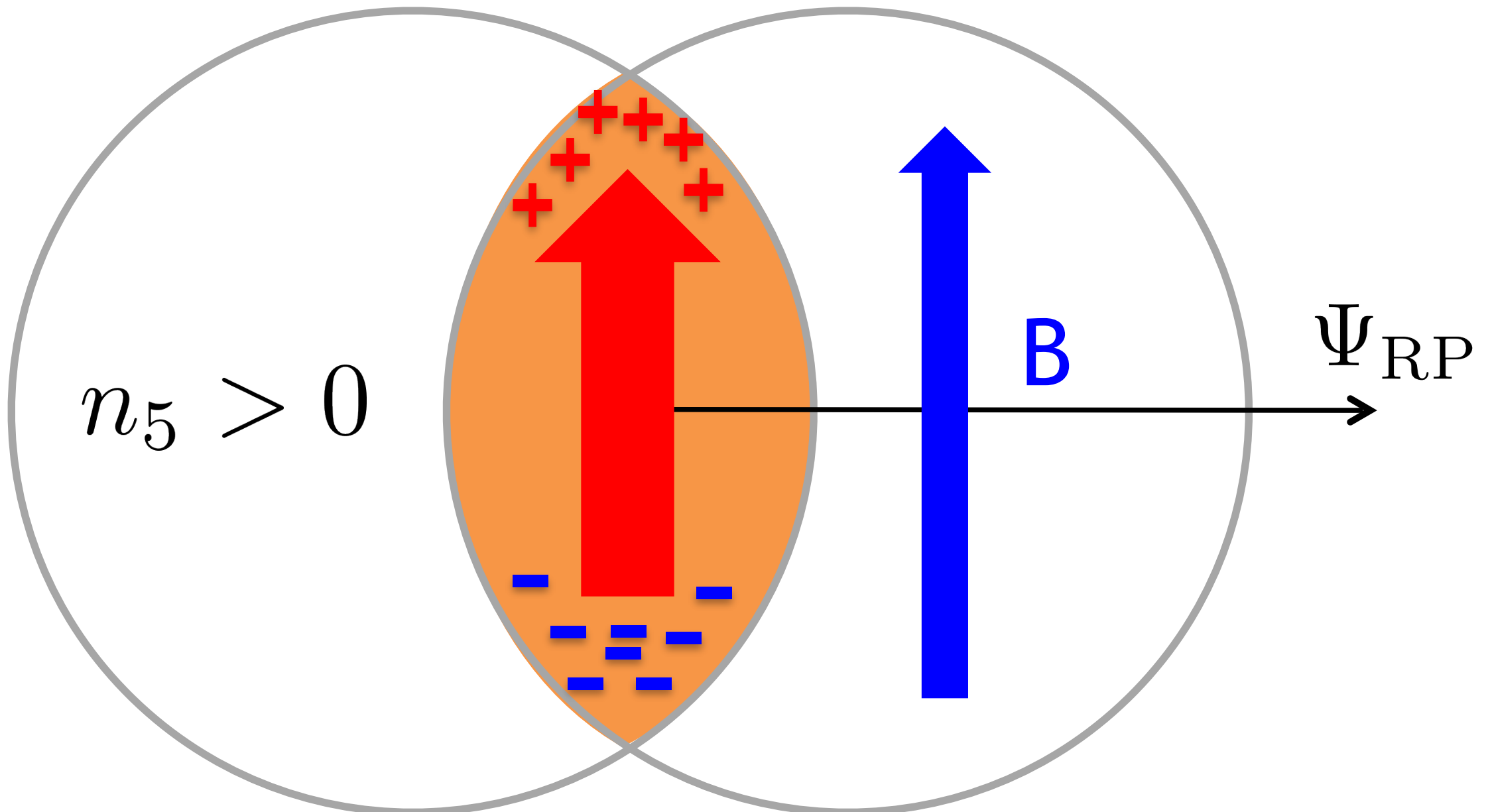


$$\langle \cos(\phi_1^+ + \phi_2^+ - 2\Psi_{RP}) \rangle = \langle (v_1^+)^2 \rangle - \langle (a_1^+)^2 \rangle$$

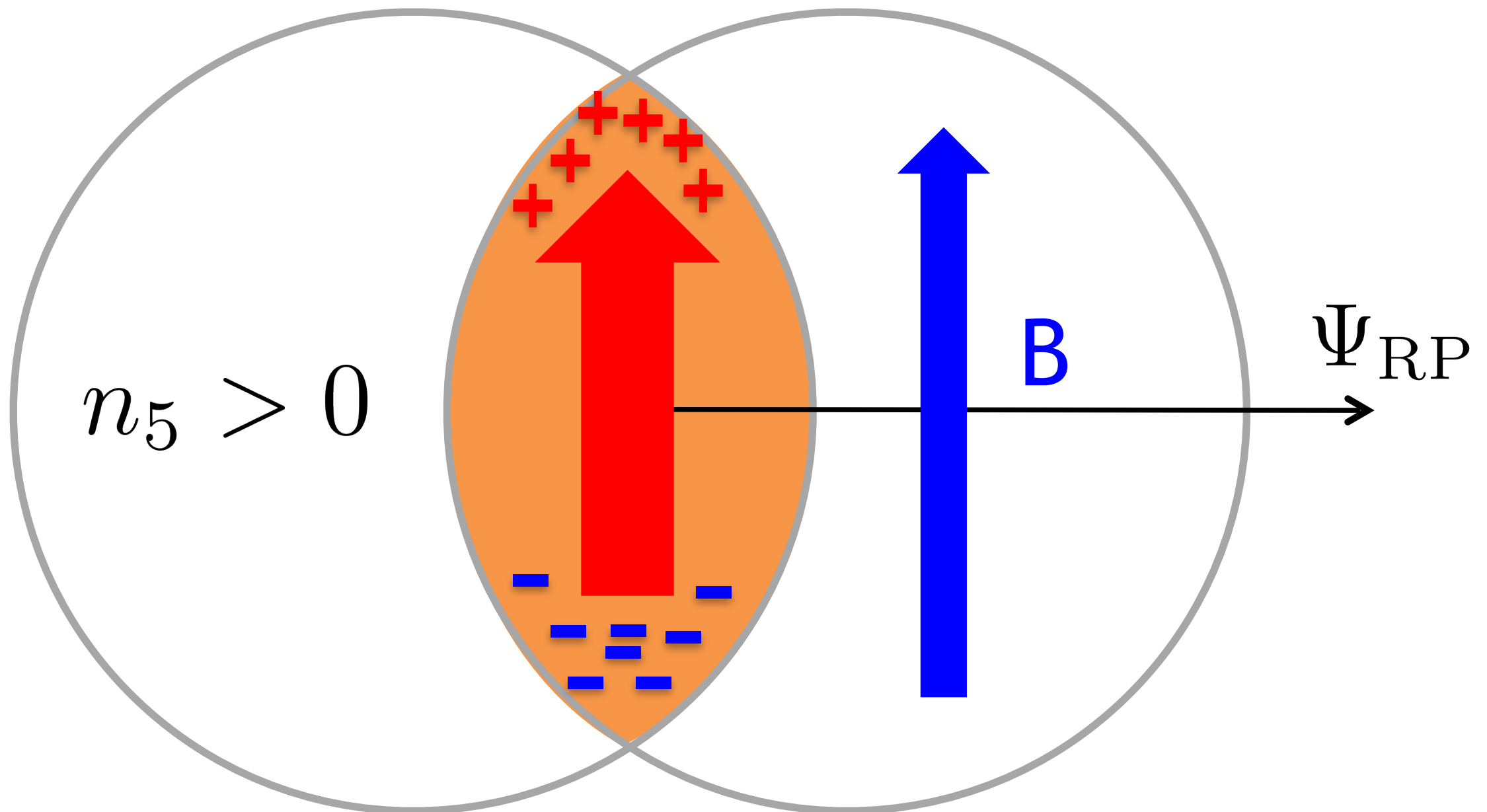
Charge dependent correlations [STAR]



Charge dependent correlations [STAR]

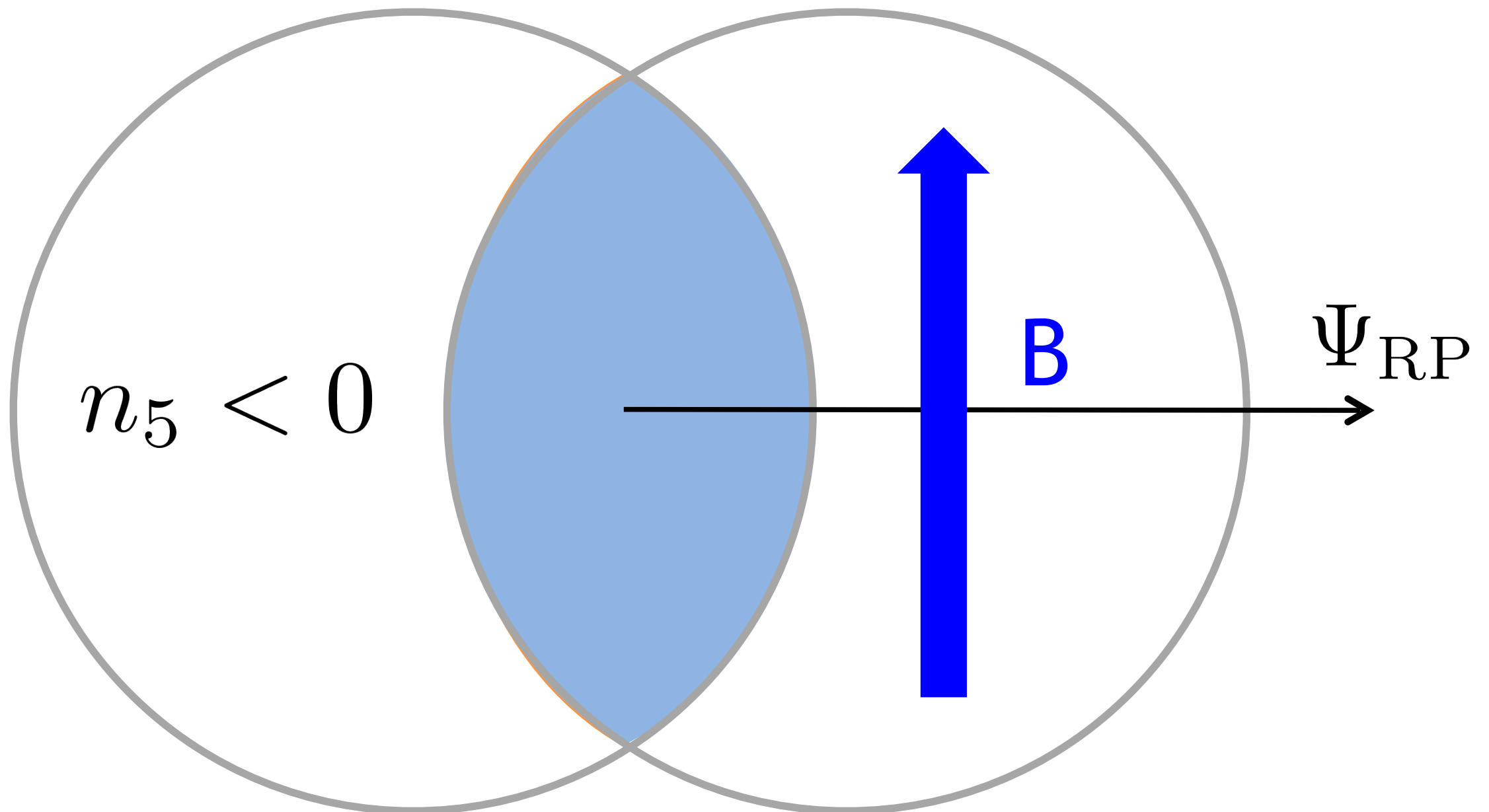


Charge dependent correlations [STAR]

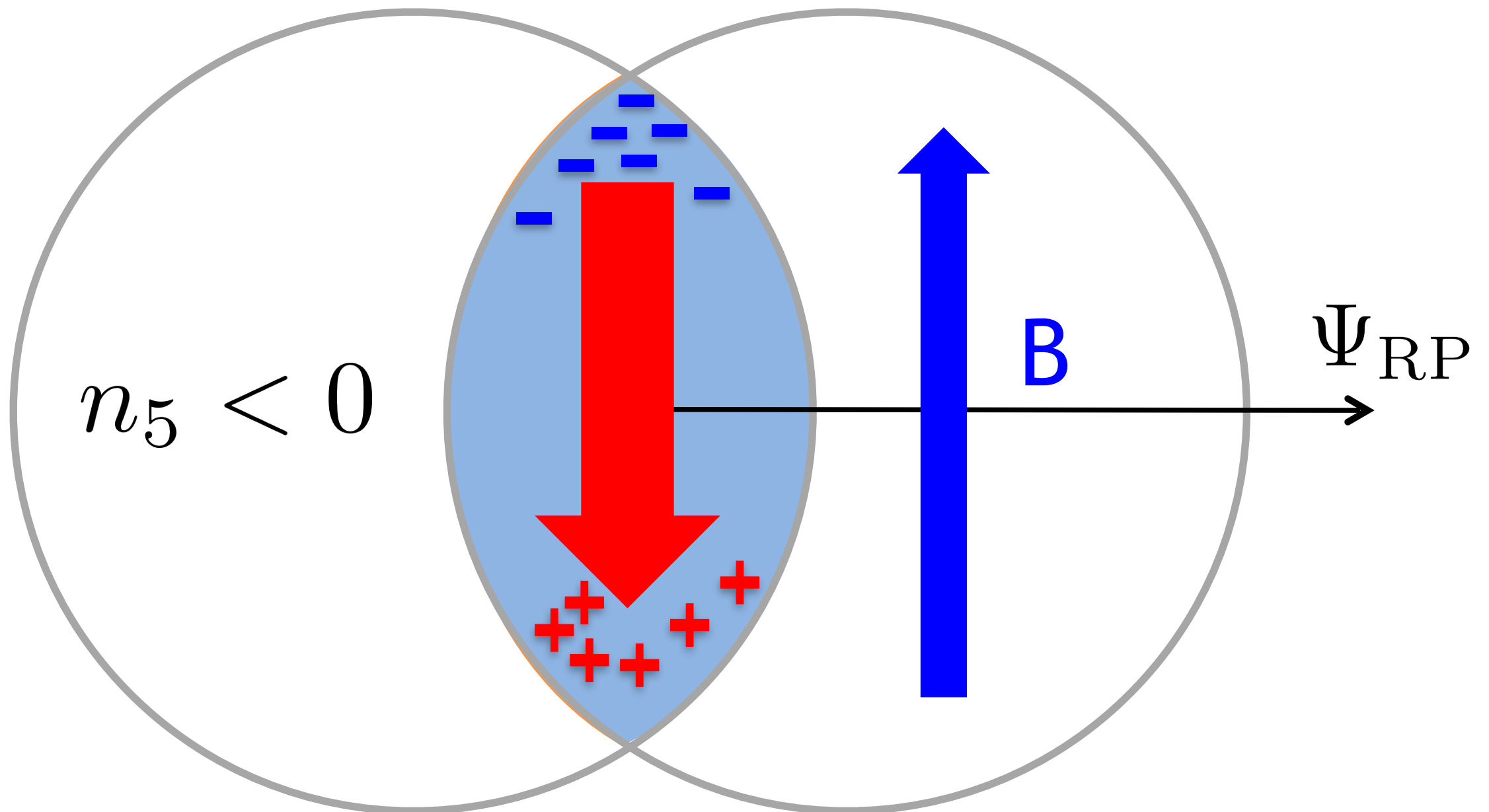


$$a_1^+ > 0 \quad a_1^- < 0$$

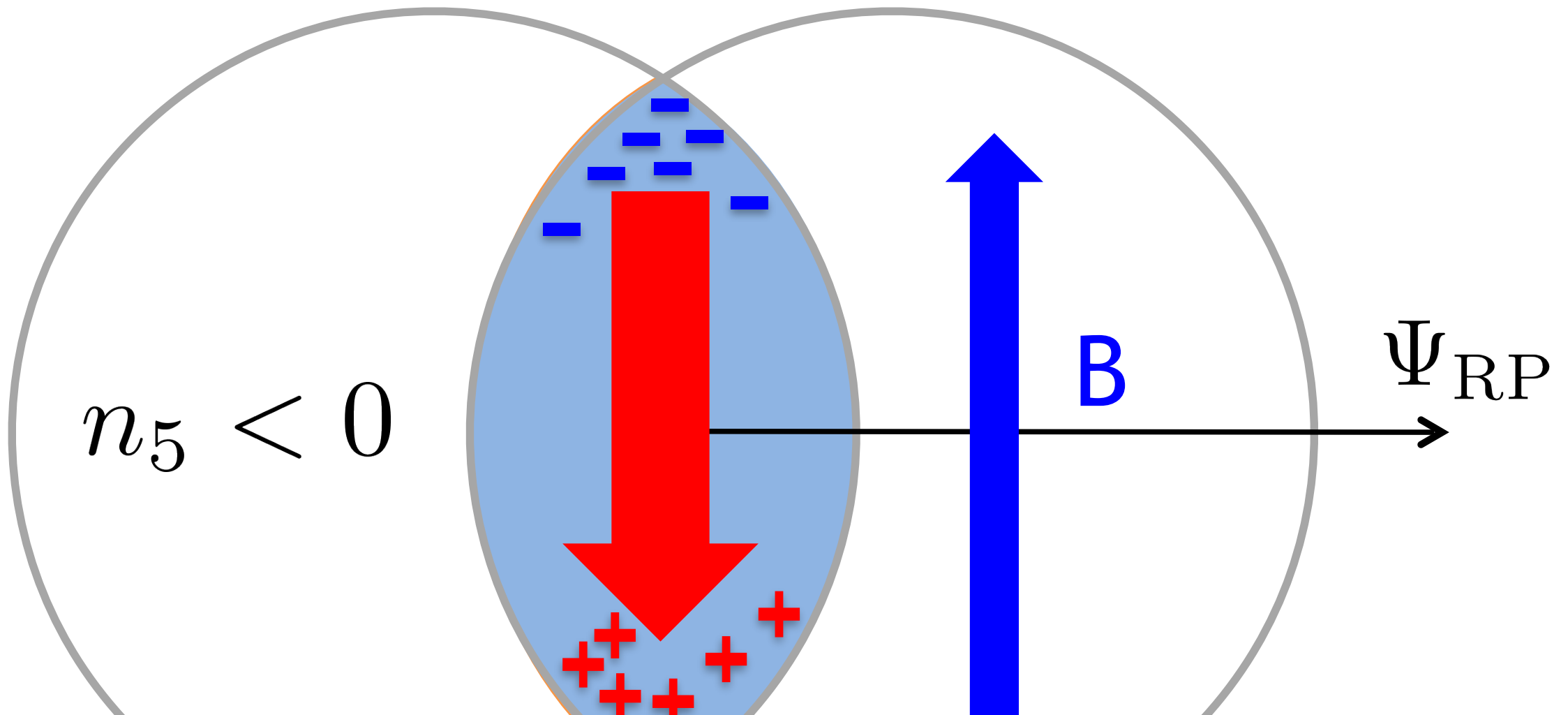
Charge dependent correlations [STAR]



Charge dependent correlations [STAR]



Charge dependent correlations [STAR]



$$n_5 < 0$$

$$a_1^+ < 0 \quad a_1^- > 0$$

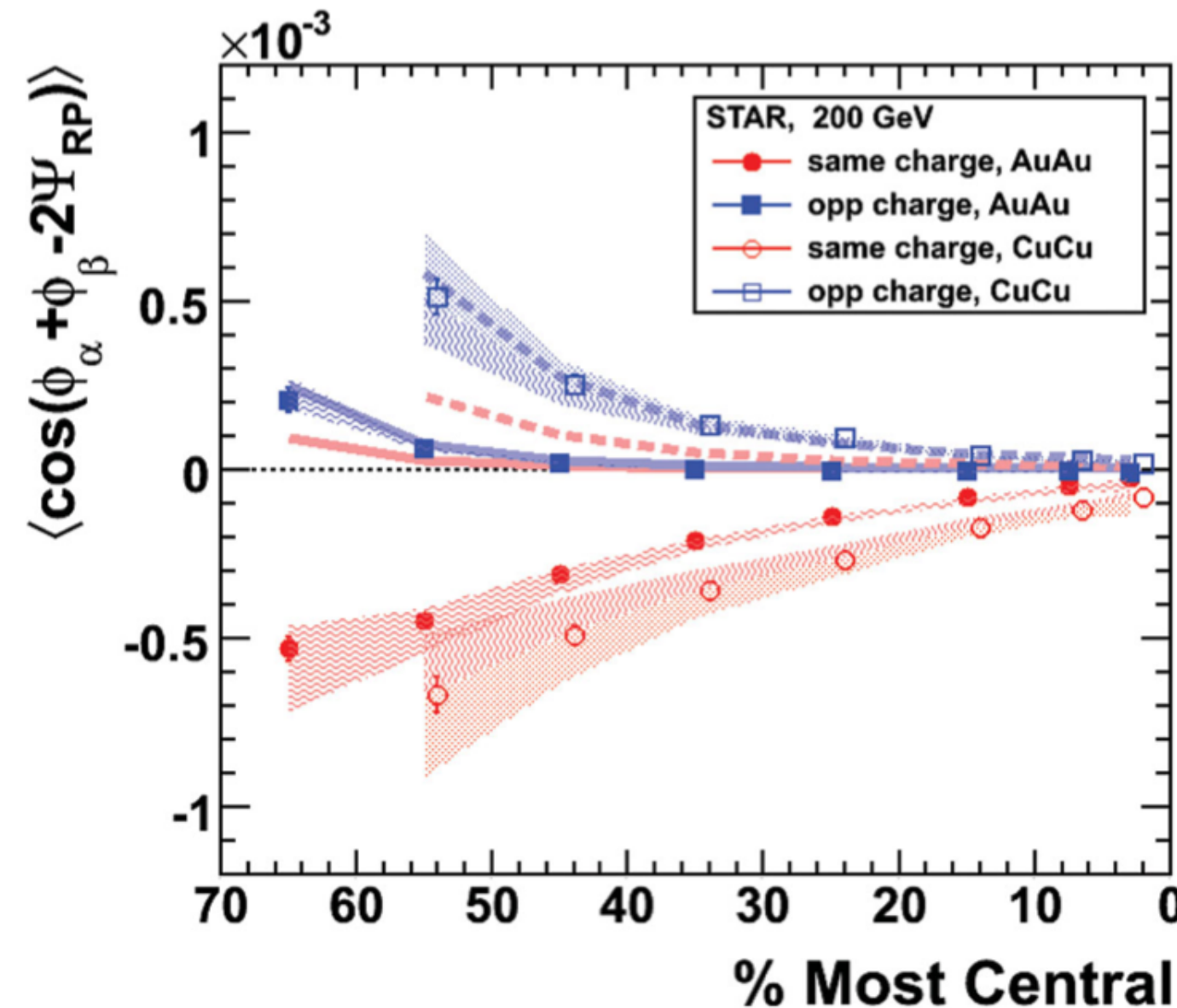
Charge dependent correlations [STAR]

$$\langle a_1^+ \rangle = \langle a_1^- \rangle = 0$$

$$\langle (a_1^+)^2 \rangle = \langle (a_1^-)^2 \rangle > 0$$

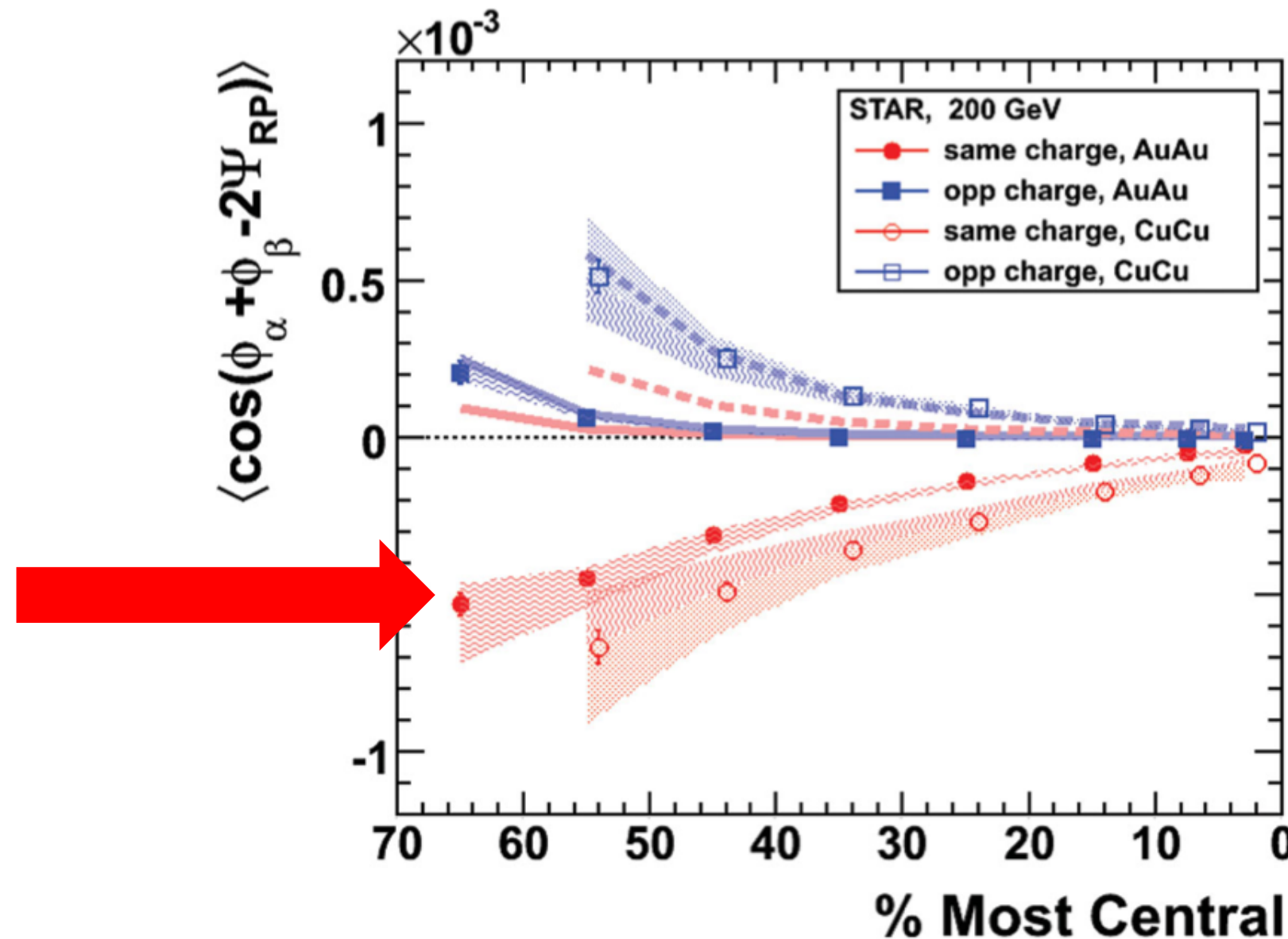
$$\langle a_1^+ a_1^- \rangle < 0$$

Charge dependent correlations [STAR]



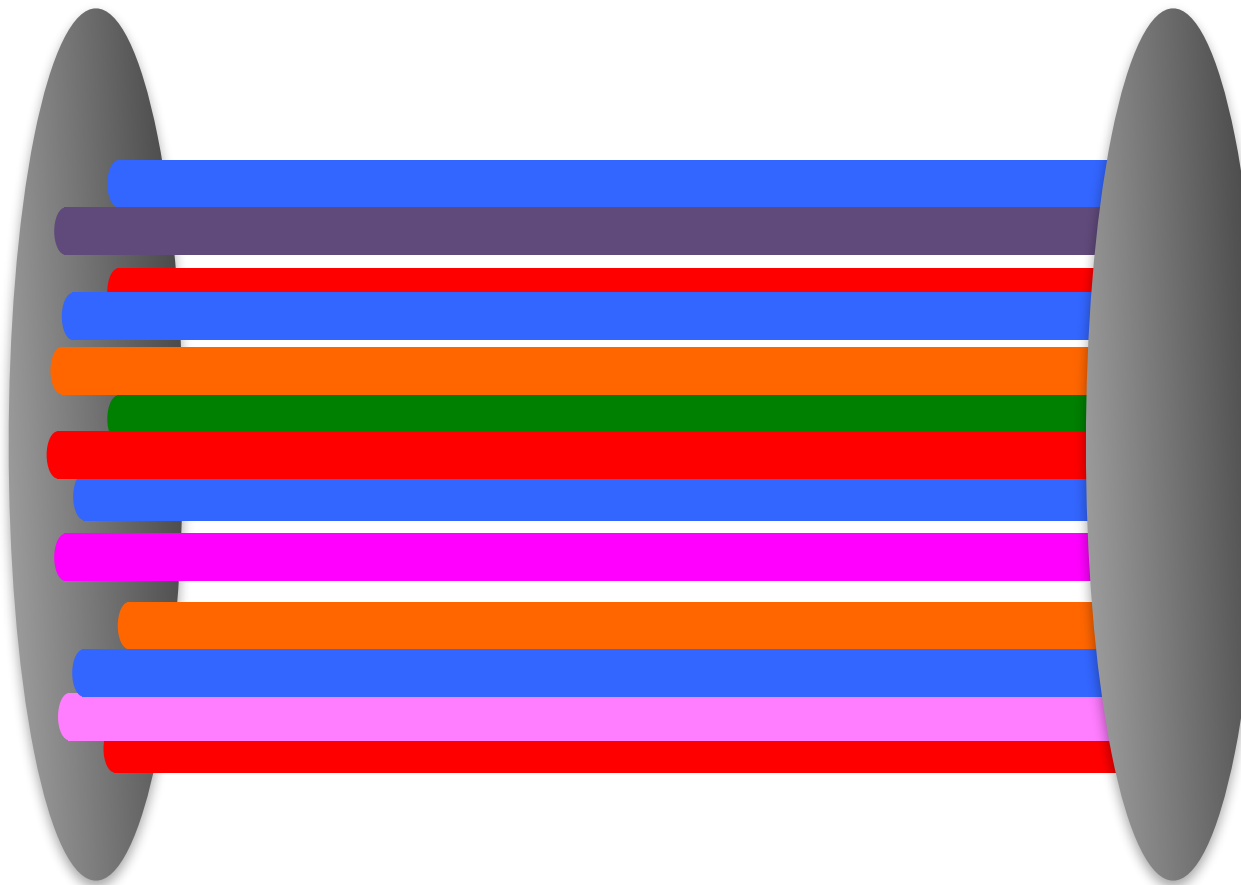
$$\langle \cos(\phi_1^+ + \phi_2^+ - 2\Psi_{RP}) \rangle = \langle (v_1^+)^2 \rangle - \langle (a_1^+)^2 \rangle$$

Charge dependent correlations [STAR]

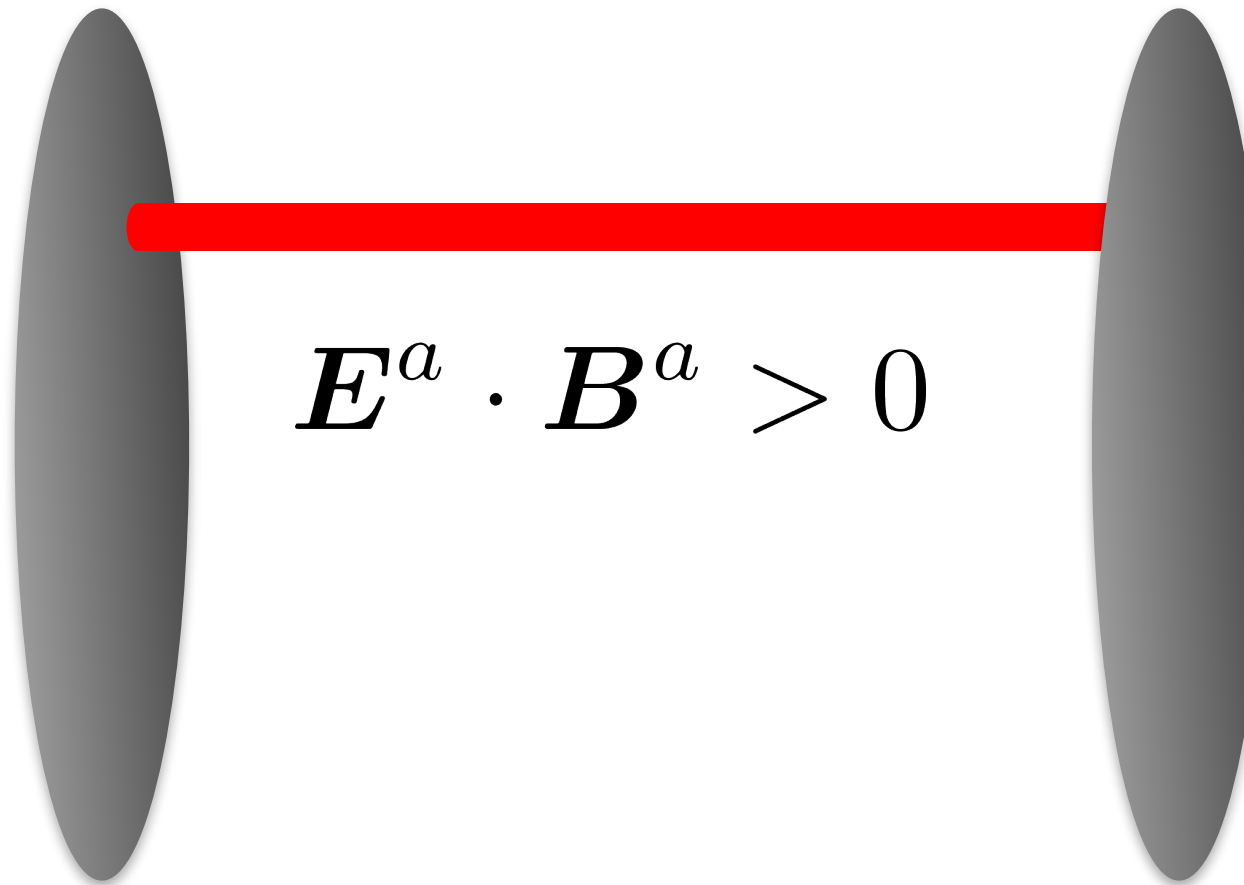


$$\langle \cos(\phi_1^+ + \phi_2^+ - 2\Psi_{RP}) \rangle = \langle (v_1^+)^2 \rangle - \langle (a_1^+)^2 \rangle$$

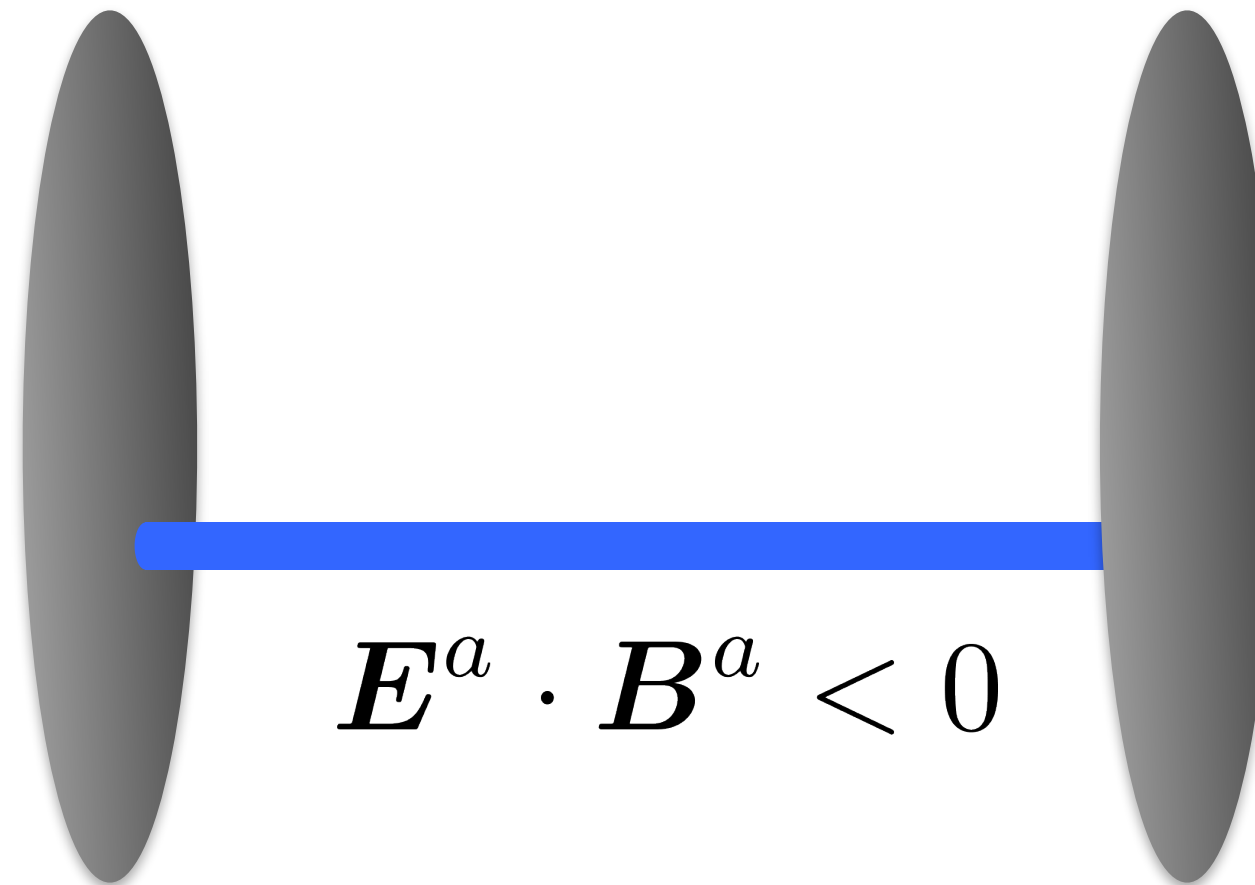
$$\partial_\mu j_5^\mu = \frac{g^2}{16\pi^2} \mathbf{E}^a \cdot \mathbf{B}^a$$



$$\partial_\mu j_5^\mu = \frac{g^2}{16\pi^2} \mathbf{E}^a \cdot \mathbf{B}^a$$



$$\partial_\mu j_5^\mu = \frac{g^2}{16\pi^2} \mathbf{E}^a \cdot \mathbf{B}^a$$



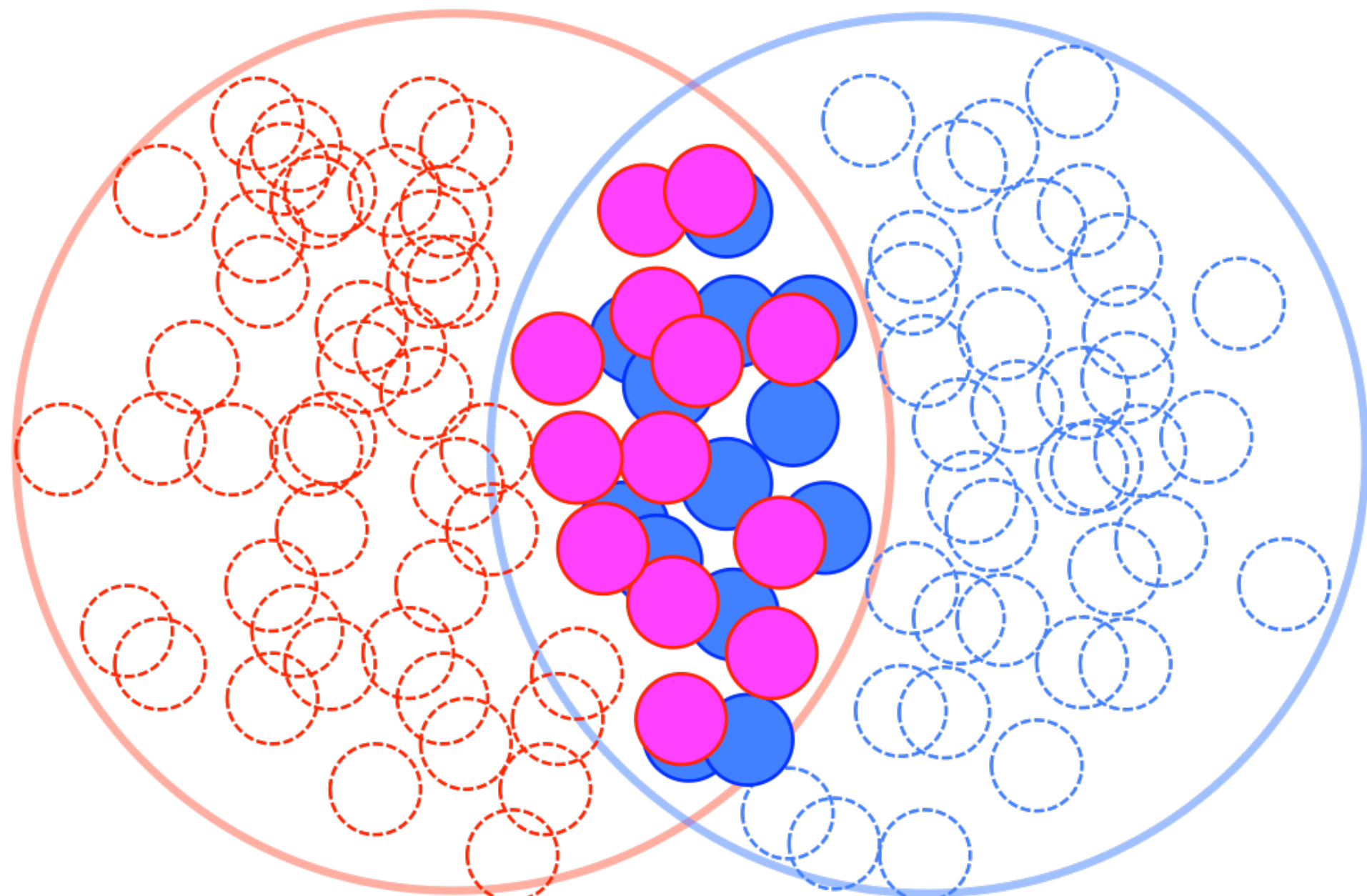
$$\mathbf{E}^a \cdot \mathbf{B}^a < 0$$

Axial charges from color flux tubes

$$X_j \in \{+1, -1\}$$

Sign of $E^a \cdot B^a$

$$\mu_5(\boldsymbol{x}_T) = C_{\mu_5} \sum_{j=1}^{N_{\text{coll}}(\boldsymbol{x}_T)} X_j$$

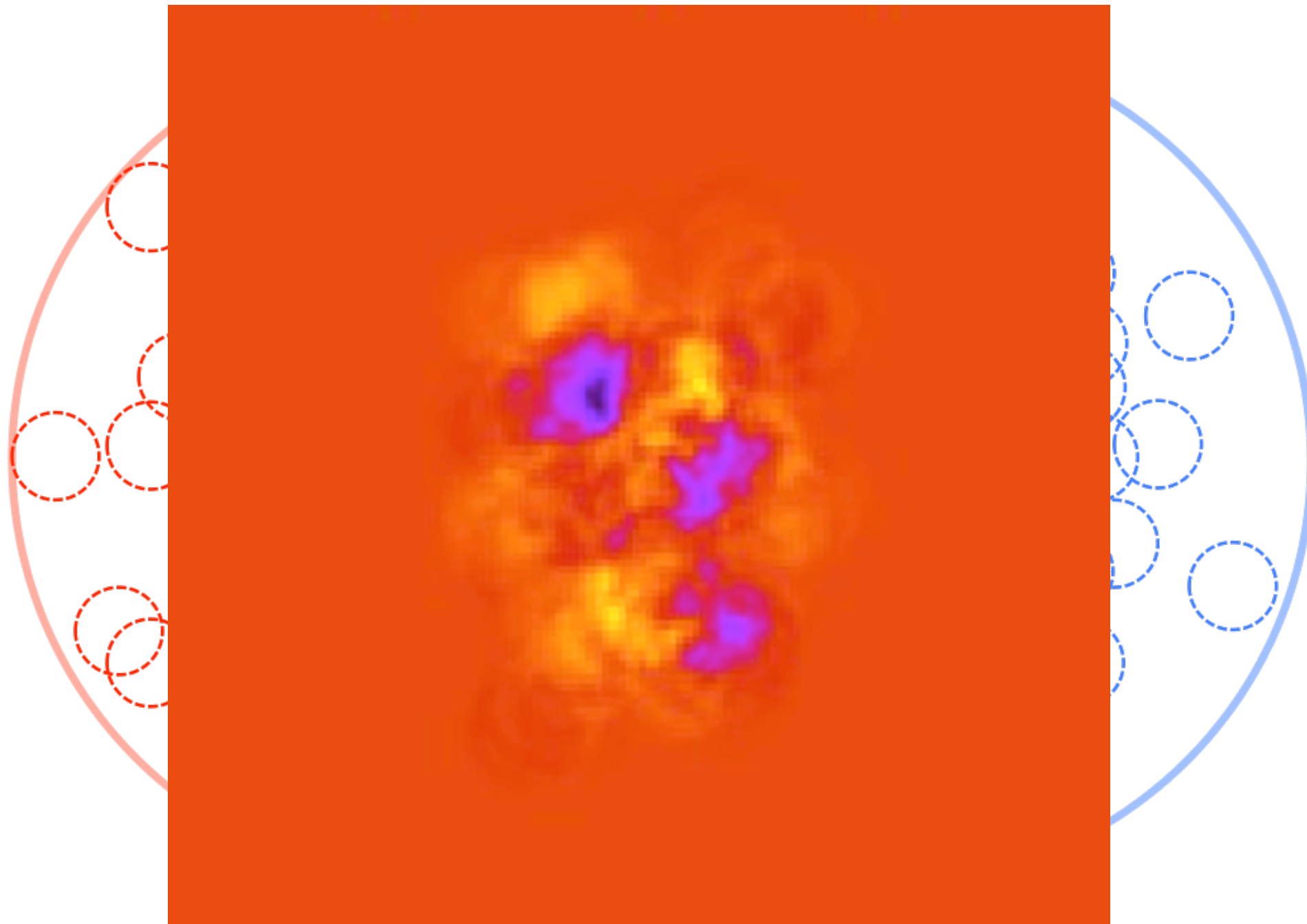


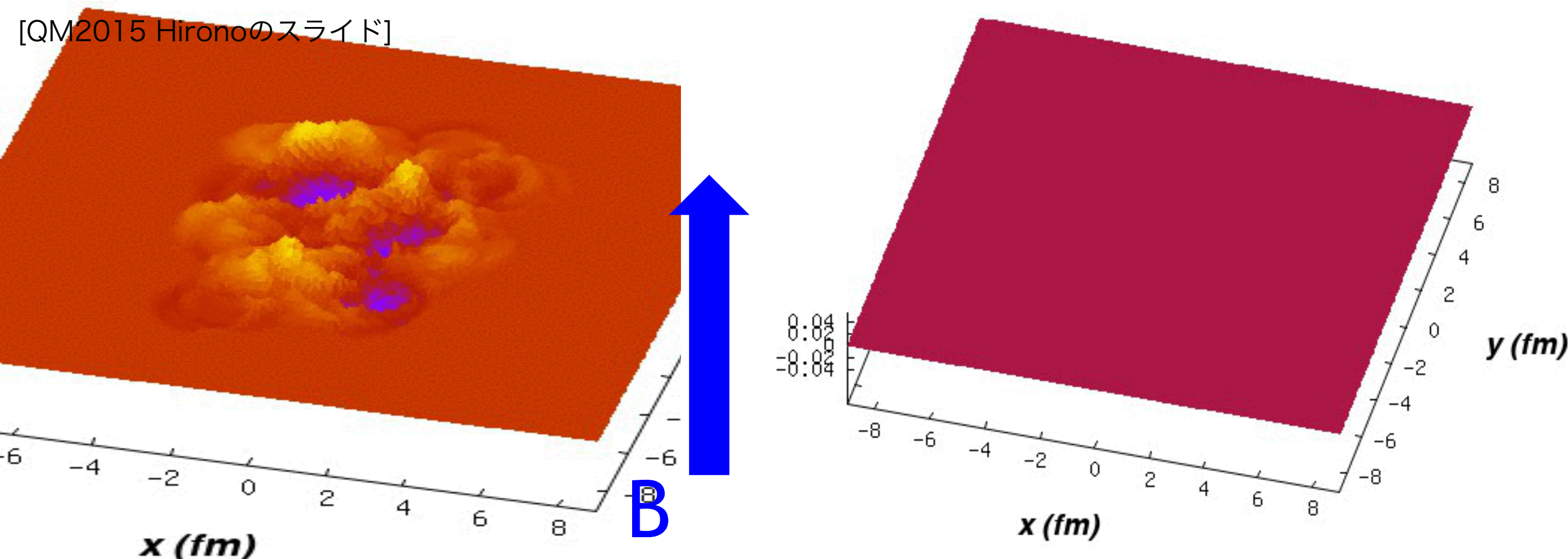
Axial charges from color flux tubes

$$X_j \in \{+1, -1\}$$

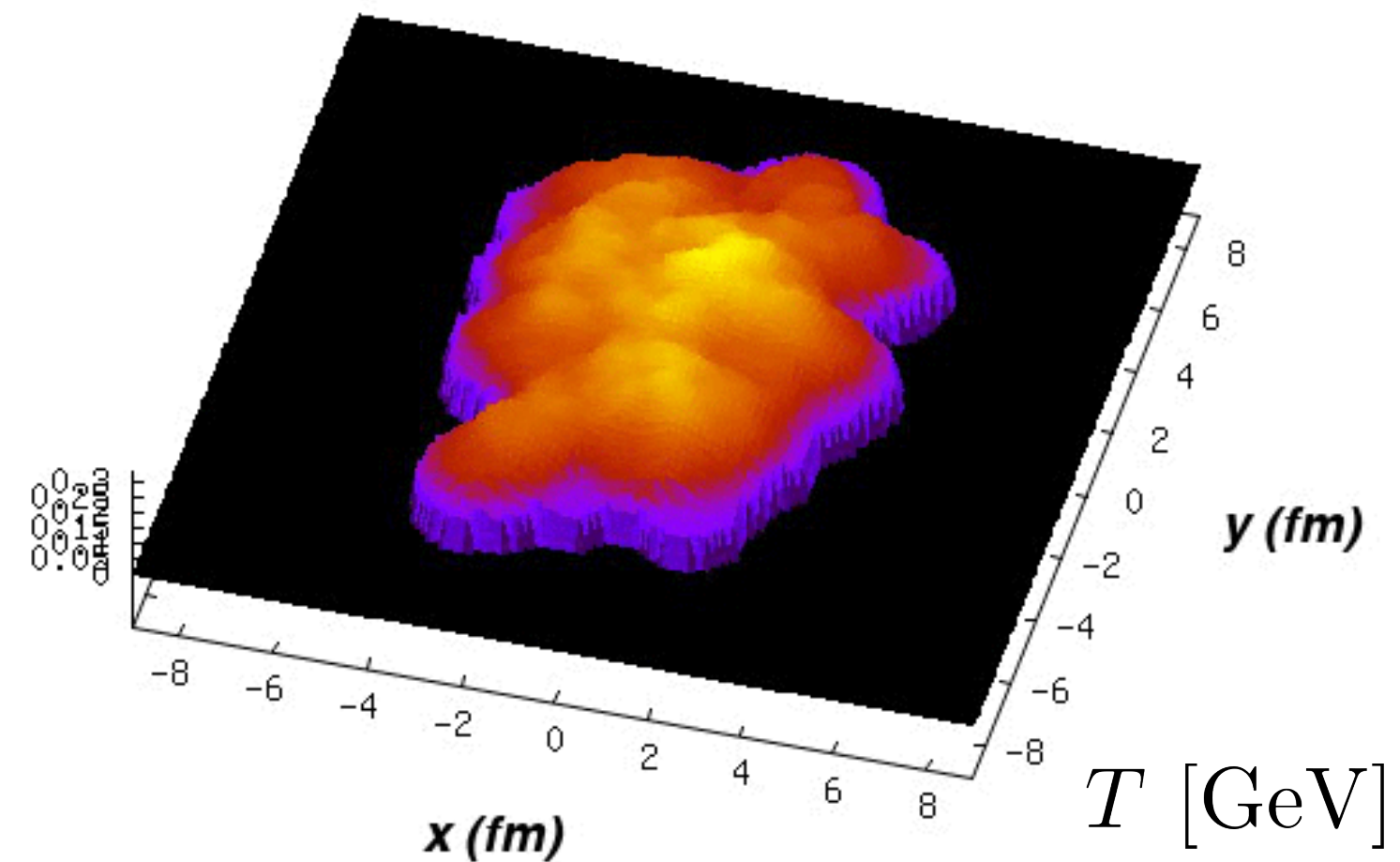
Sign of $E^a \cdot B^a$

$$\mu_5(\mathbf{x}_T) = C_{\mu_5} \sum_{j=1}^{N_{\text{coll}}(\mathbf{x}_T)} X_j$$




 $\mu_5 \text{ [GeV]}$
 $\mu \text{ [GeV]}$

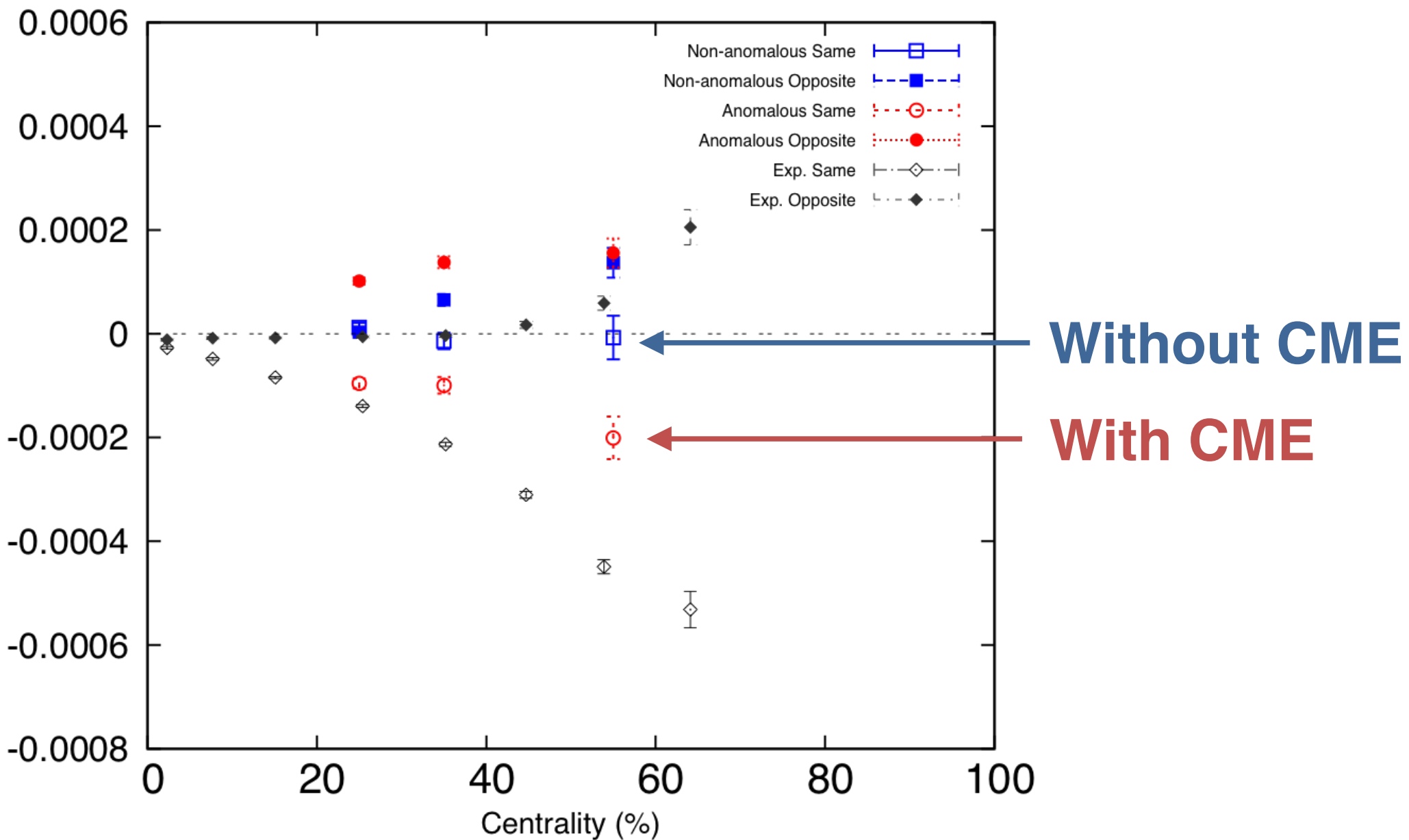
- RHIC energy
- $=7.2 \text{ fm}$ (20-30%)
- $eB_{\max} \simeq (2m_{\pi})^2$
- $\tau_B = 3 \text{ [fm]}$
- $C_{\mu_5} = 0.1 \text{ [GeV]}$



Event-by-event anomalous hydro under decaying B

$$\gamma_{\alpha\beta} = \langle \cos(\phi_i + \phi_j - 2\psi_{\text{RP}}) \rangle_{\alpha\beta}$$

[Hirono-Hirano-Kharzeev 1412.0311]



Gamma is indeed sensitive to CME

QM2017での進展(の一部)

1. 重イオン衝突におけるカイラル輸送現象の検証に向けて

✓ カイラル磁気効果を含んだ流体力学の数値計算と粒子相関 [Talk by Hirono]

- 粘性+カイラル輸送流体のシミュレーションと粒子相関の計算 [Talk by Shi]
- 小さい系におけるカイラル磁気効果の実験的検証 [Talk by Sorensen, Tu, Park]
- RHICの同重体(isobar, ZrZr/RuRu)衝突実験に向けた計算 [Talk by Huang, Shi]
- 初期過程における古典統計近似に基づいたカイラル磁気効果の計算 [Talk by Mueller]
- カイラル渦/磁気効果を含んだ流体力学の数値計算と粒子相関 [Talk by Guo]
- 流速場の渦度分布の時間発展とラムダ粒子の偏極 [Talk by Pang, Karpenko, Wang]
- 原子核内の荷電粒子を波束として扱ったときの電磁場の時間発展 [Talk by Peroutka]

2. カイラル輸送現象に関する新しい現象の提案

- 磁力線のつなぎかえにより誘発されるカイラル磁気効果 [Talk by Hirono, Kharzeev]
- カイラル磁気流体におけるモード解析と不安定モード [Talk by Hattori, Hirono]
- 強い磁場中におけるカイラルプラズマの輸送現象(電荷の再分配) [Talk by Hattori]

How Can We Calculate CME Quantitatively?

axial (& vector)
charge density

Anomalous
-Viscous
Fluid
Dynamics

initial condition

+

driving force

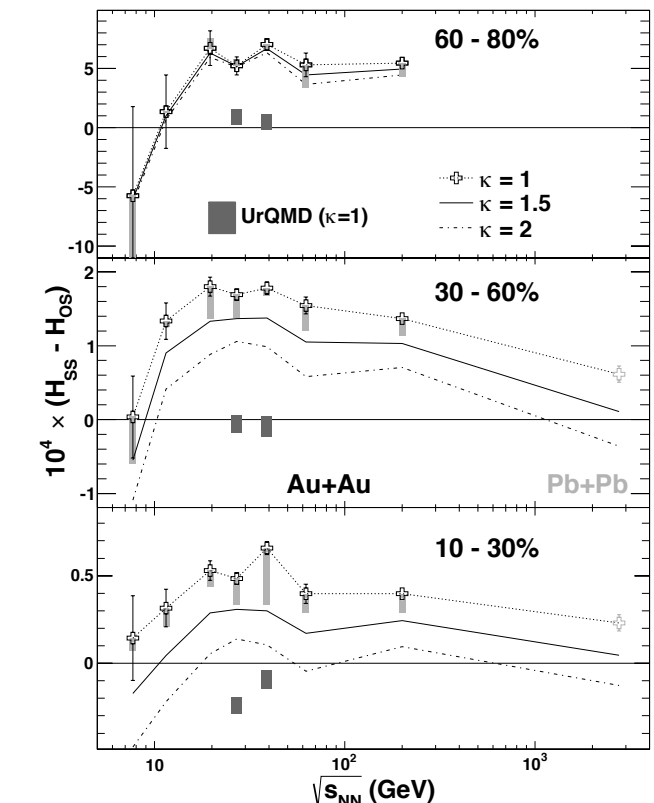
B field



dynamical
evolution



final particle
distribution



M.Hongo, Y.Hirono, T.Hirano, 2013;
H.-U.Yee, Y.Yin, 2014;
Y.Hirono, T.Hirano, D.Kharzeev, 2014;
Y.Yin, J.Liao, 2016;

Anomalous-Viscous Fluid Dynamics

$$D_\mu J_R^\mu = + \frac{N_c q^2}{4\pi^2} E_\mu B^\mu \quad D_\mu J_L^\mu = - \frac{N_c q^2}{4\pi^2} E_\mu B^\mu$$

$$J_R^\mu = n_R u^\mu + \nu_R^\mu + \frac{N_c q}{4\pi^2} \mu_R B^\mu$$

$$J_L^\mu = n_L u^\mu + \nu_L^\mu - \frac{N_c q}{4\pi^2} \mu_L B^\mu$$

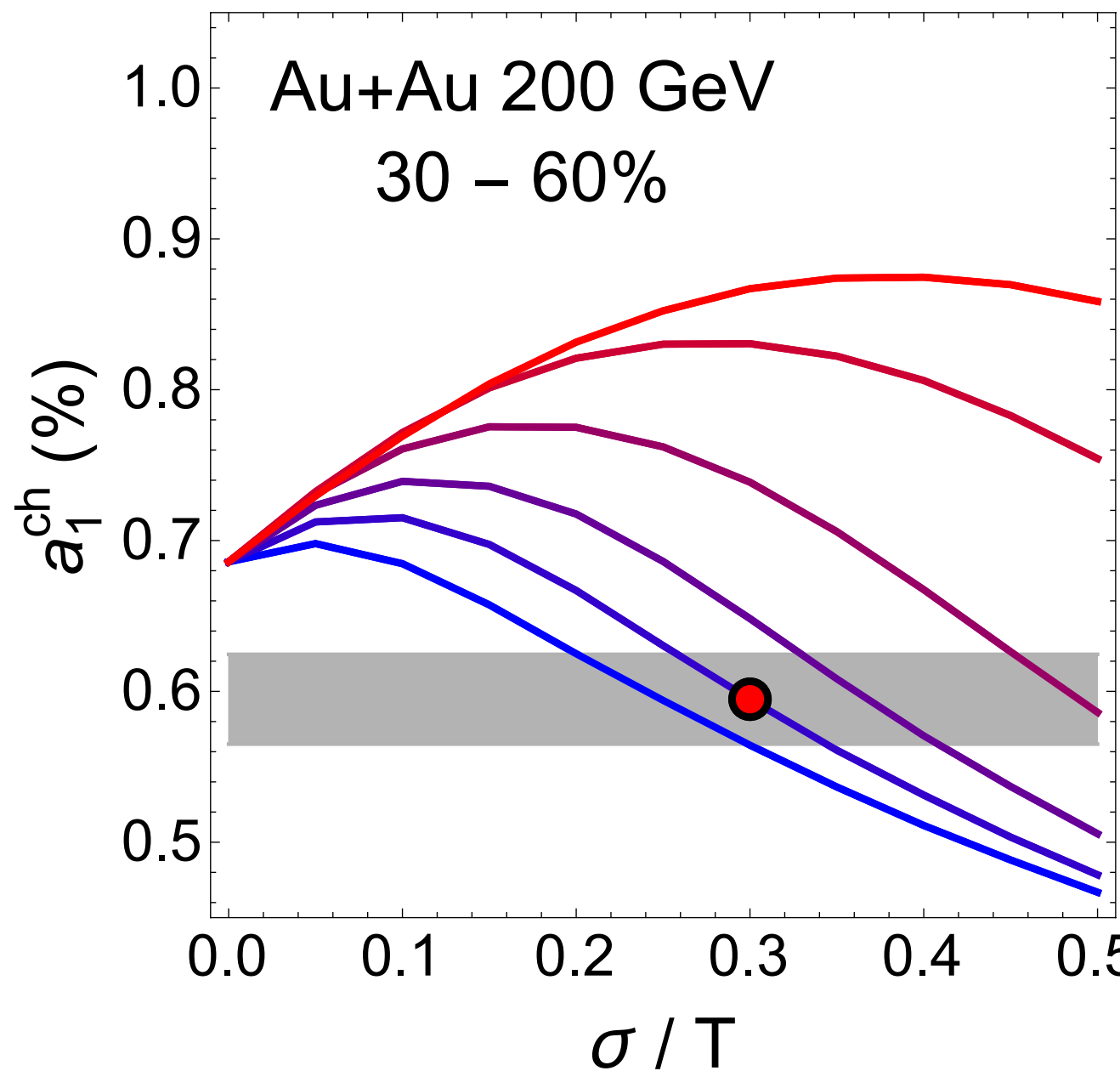
CME

$$\Delta^\mu_\nu d \nu_{R,L}^\nu = - \frac{1}{\tau_{rlx}} (\nu_{R,L}^\mu - \nu_{NS}^\mu)$$

on top of 2+1D VISHNew -- OSU Group

$$D_\mu T^{\mu\nu} = 0$$

Effect of Viscous Transportation

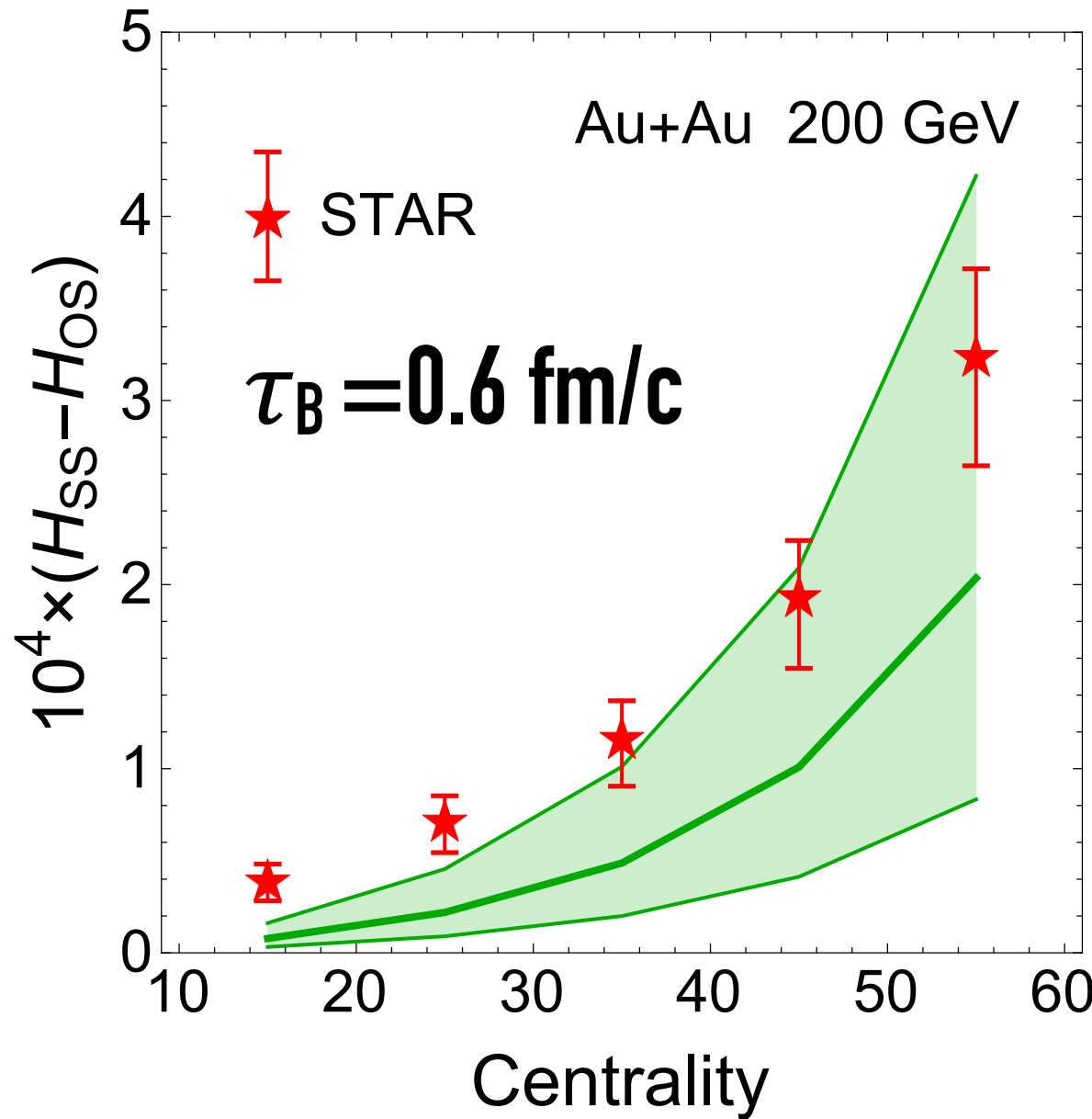


$$\Delta^{\mu}_{\nu} \partial_{\nu} \nu_{R,L}^{\mu} = - \frac{1}{\tau_{\text{rlx}}} (\nu_{R,L}^{\mu} - \nu_{NS}^{\mu})$$

$$\nu_{NS}^{\mu} = \frac{\sigma}{2} T \Delta^{\mu\nu} \partial_{\nu} \frac{\mu}{T} + \frac{\sigma}{2} q E^{\mu}$$

- Viscous transportation has sizable ($\sim 30\%$) effect on charge separation.
- “Canonic” parameters are employed.

Comparison with Experimental Data



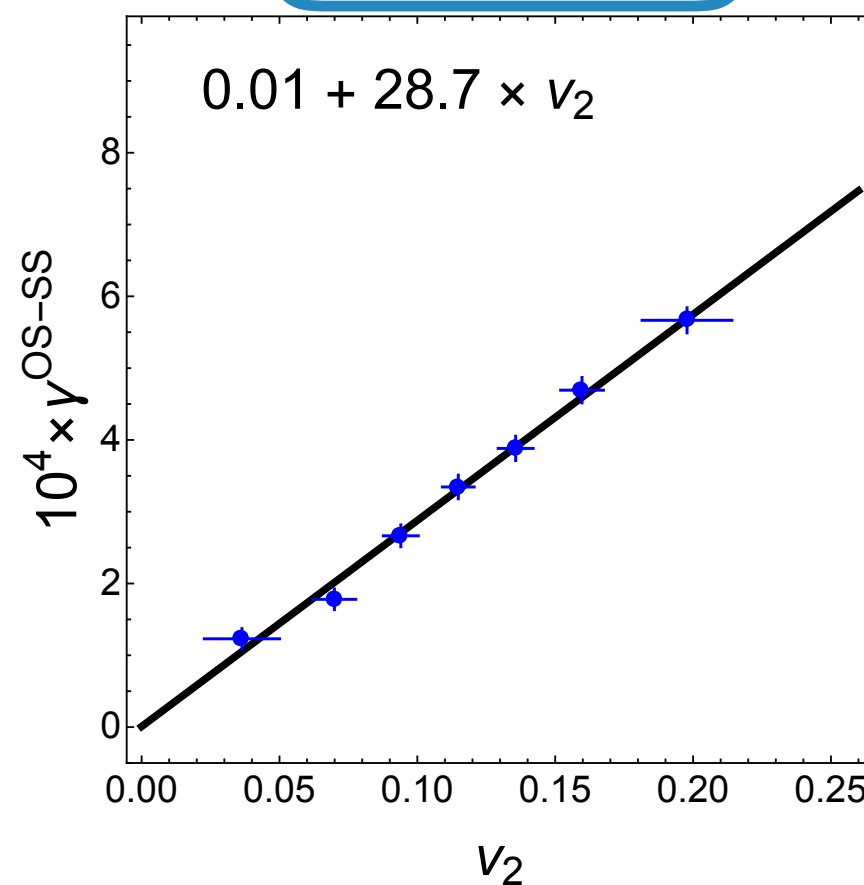
Implementing with best
estimated n_A & τ_B

Good agreement for
magnitude & centrality trend

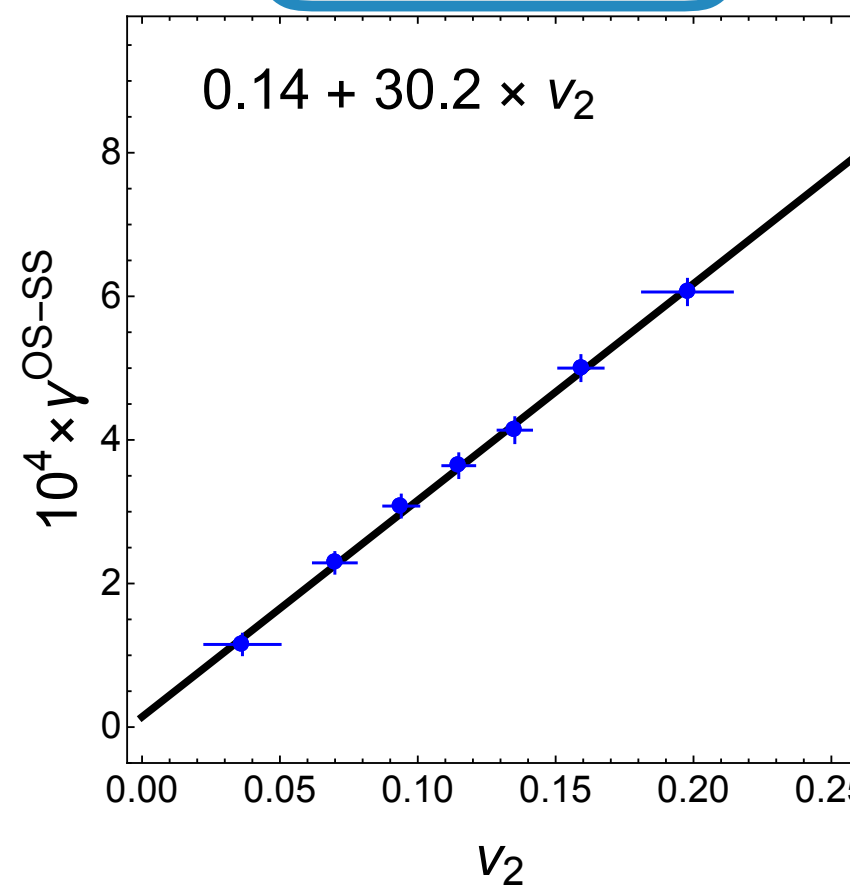
Y.Jiang, SS, Y.Yin & J.Liao,
arXiv:1611.04586

CME from event-by-event simulation

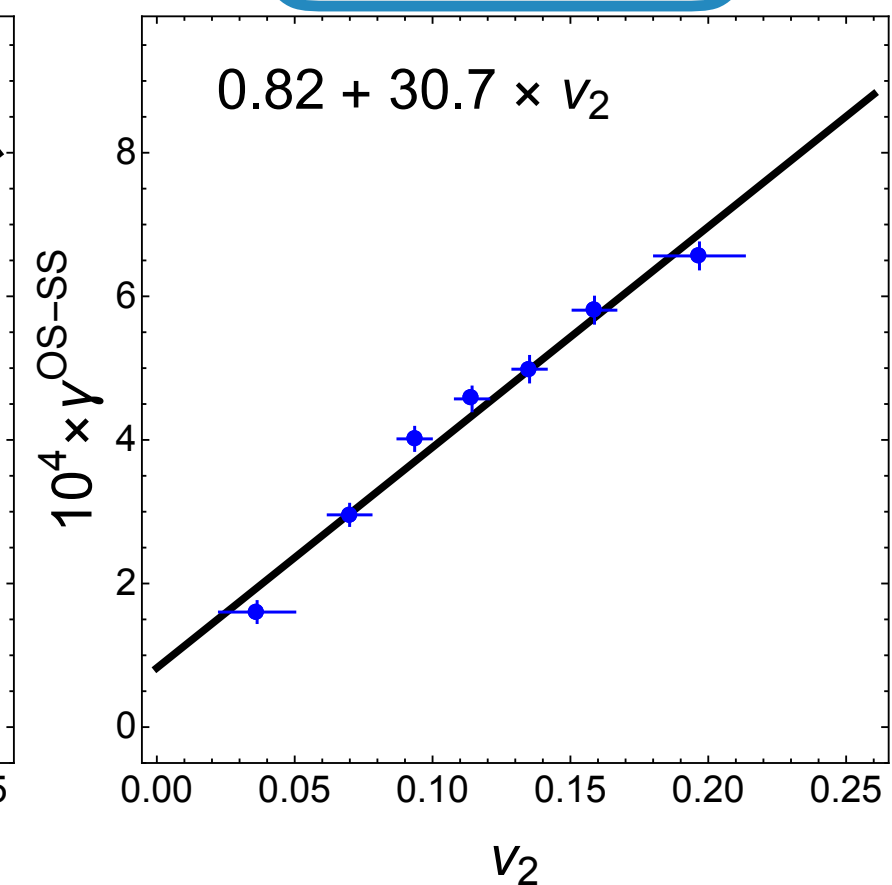
$n_A/s=0.0$



$n_A/s=0.1$



$n_A/s=0.2$



$$\gamma = \kappa v_2 F - H$$

⚠ 注意：以上のシナリオは危ない

$U(1)_V \times U(1)_A$ に関するカイラル輸送は流体力学としては危険！

$$U(1)_V : \partial_\mu j_V^\mu = 0 \longrightarrow \mu_V$$

$$U(1)_A : \partial_\mu j_5^\mu = Cg^2 E^a \cdot B^a + C'e^2 E \cdot B \xrightarrow{!} \mu_A$$

 $U(1)_V \times SU(2)_A$ に関するカイラル輸送は流体としてまだ安全

$$SU(2)_A \ni \partial_\mu A_3^\mu = C'e^2 E \cdot B \longrightarrow \mu_{A_3}$$

μ_{A_3} に関するCME/CVE自体を流体力学で調べることはできるが、

重イオン衝突におけるスファレロン遷移を

→ μ_A を含めたカイラル流体力学で調べるのは **理論的に危険**

CMEのシグナル候補1

Charge dependent correlations: $\langle \cos(\phi_1^\alpha + \phi_2^\beta - 2\Psi_{RP}) \rangle$

$\alpha, \beta \in \{+, -\}$

これらは本当にCMEのシグナルと言えるか？



参照実験で本当にシグナルか確かめよう！



同じ電荷同士の2粒子相関・異なる電荷の2粒子相関の間の
非対称性がCMEのシグナルになっているはず！

QM2017での進展(の一部)

1. 重イオン衝突におけるカイラル輸送現象の検証に向けて

- ✓ カイラル磁気効果を含んだ流体力学の数値計算と粒子相関 [Talk by Hirono]
- ✓ 粘性+カイラル輸送流体のシミュレーションと粒子相関の計算 [Talk by Shi]
 - 小さい系におけるカイラル磁気効果の実験的検証 [Talk by Sorensen, Tu, Park]
 - RHICの同重体(isobar, ZrZr/RuRu)衝突実験に向けた計算 [Talk by Huang, Shi]
 - 初期過程における古典統計近似に基づいたカイラル磁気効果の計算 [Talk by Mueller]
 - カイラル渦/磁気効果を含んだ流体力学の数値計算と粒子相関 [Talk by Guo]
 - 流速場の渦度分布の時間発展とラムダ粒子の偏極 [Talk by Pang, Karpenko, Wang]
 - 原子核内の荷電粒子を波束として扱ったときの電磁場の時間発展 [Talk by Peroutka]

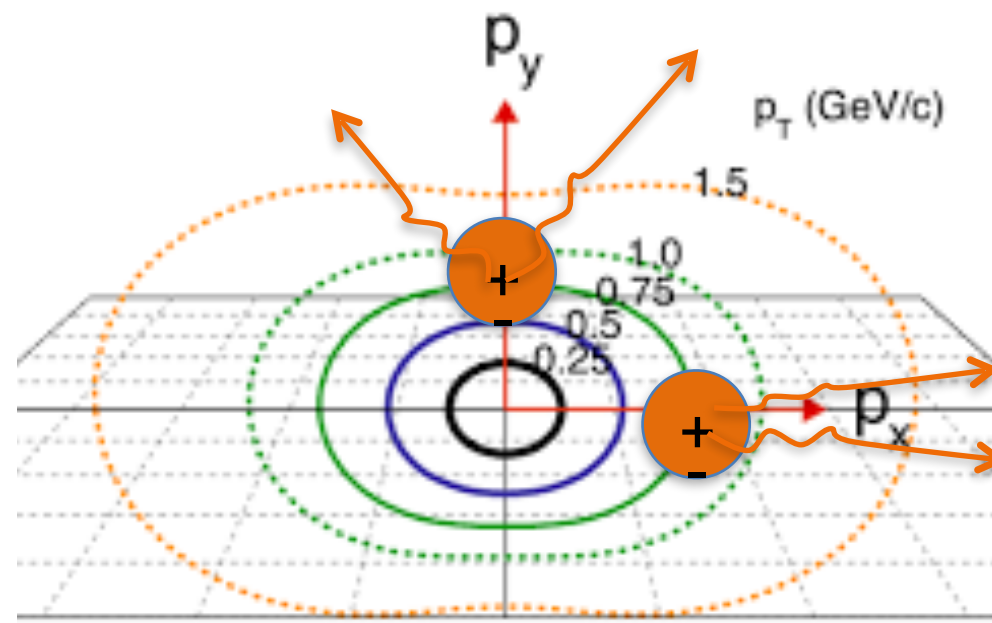
2. カイラル輸送現象に関する新しい現象の提案

- 磁力線のつなぎかえにより誘発されるカイラル磁気効果 [Talk by Hirono, Kharzeev]
- カイラル磁気流体におけるモード解析と不安定モード [Talk by Hattori, Hirono]
- 強い磁場中におけるカイラルプラズマの輸送現象(電荷の再分配) [Talk by Hattori]

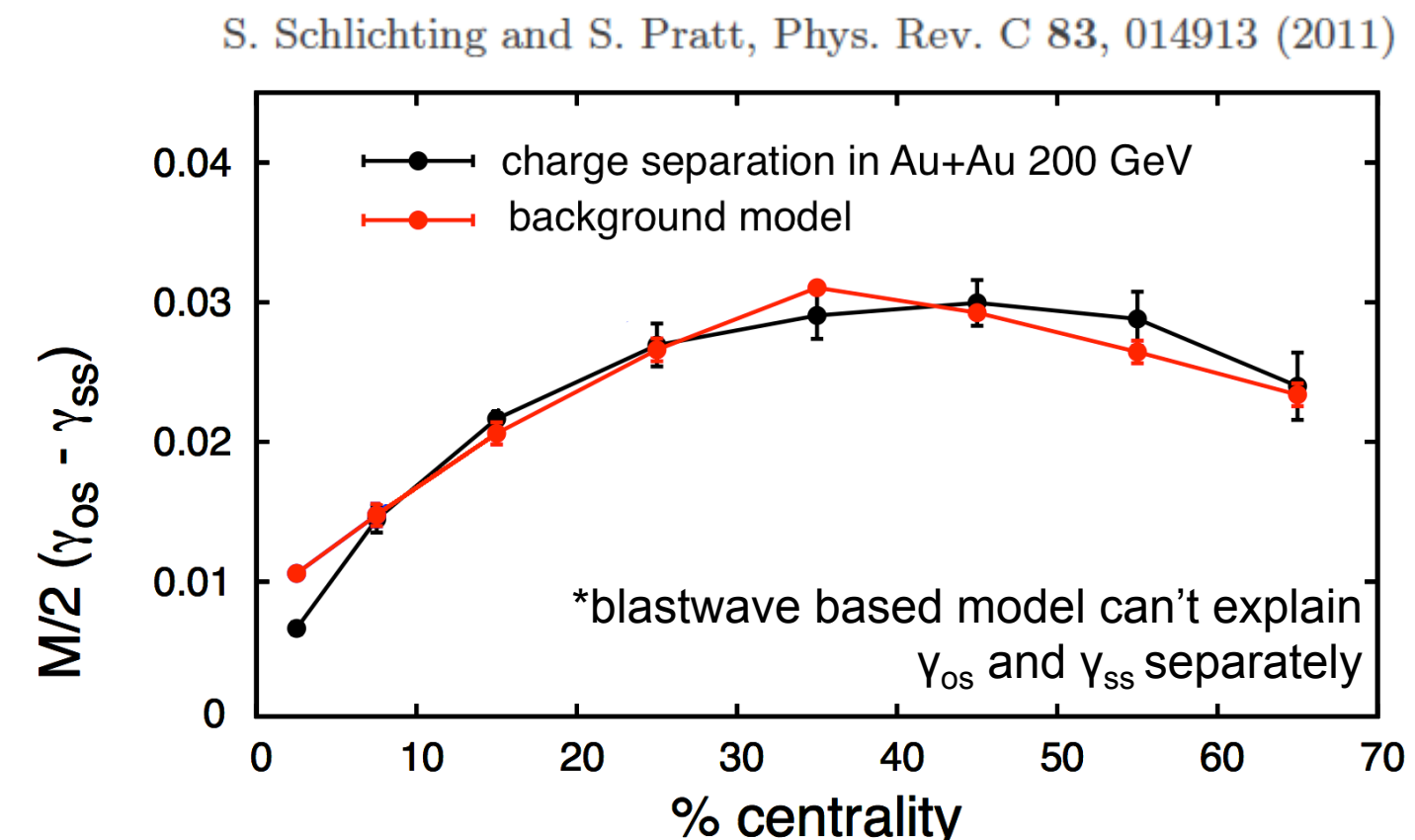
Small systemでの実験結果

Potential Backgrounds

Backgrounds unrelated to the chiral magnetic effect may be able to explain the observed charge separation*



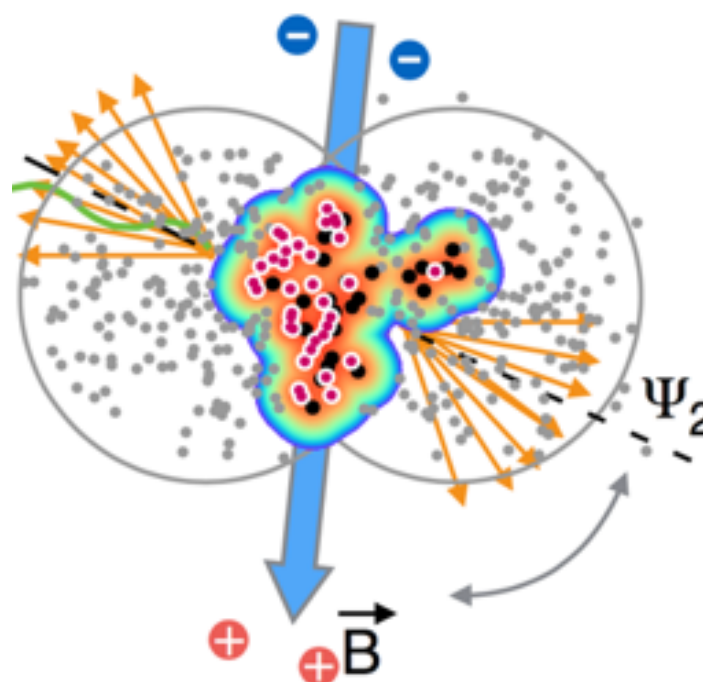
Flow boost collimates pairs more strongly in-plane than out of plane
 known backgrounds are expected to go as v_2



Difficult to draw definitive conclusions without better models, and an independent lever arm for magnetic field and v_2

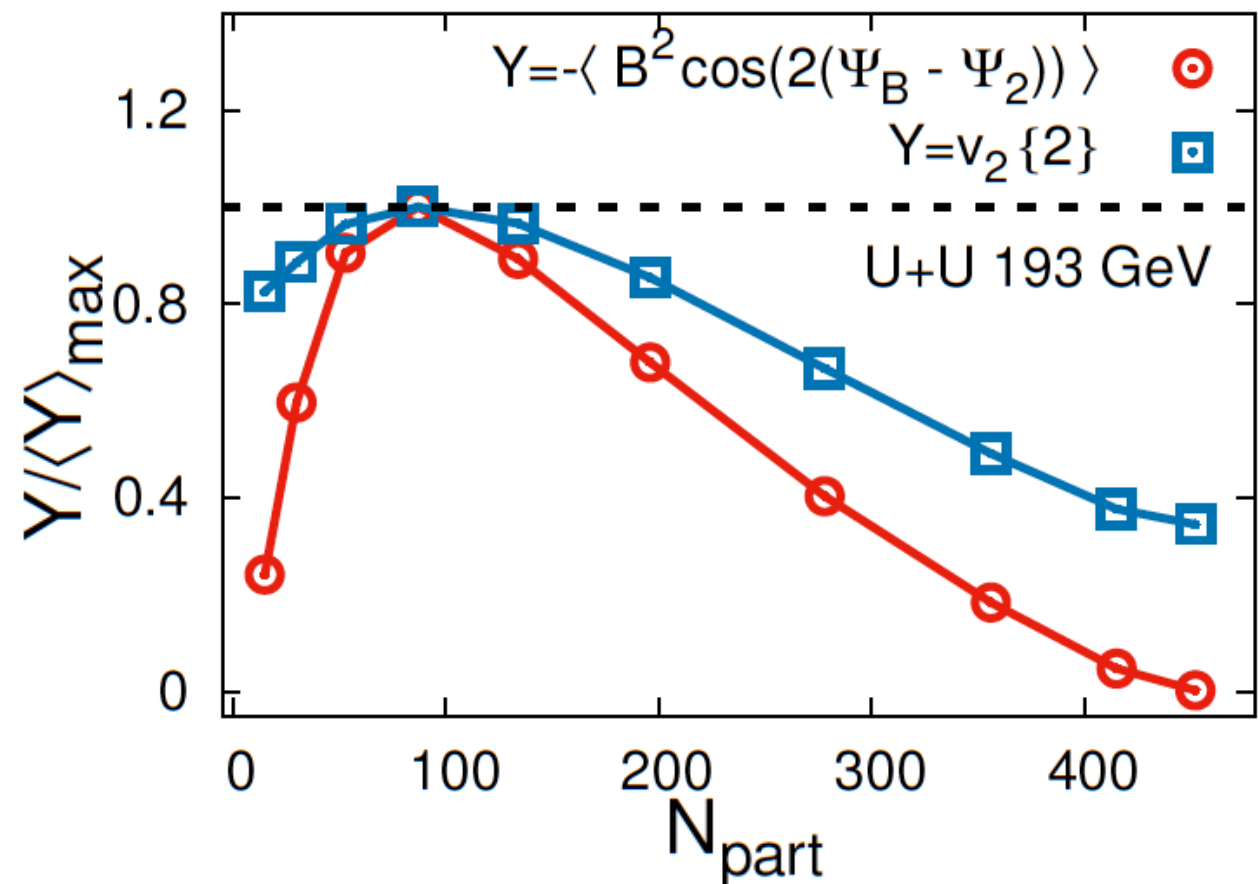
Disentangling the Entangled

CME should follow projected magnetic field $\langle B^2 \cos(2(\Psi_B - \Psi_2)) \rangle$



Signal and background have similar centrality dependence

Prithwish Triedy: Parallel Session 4.2



Background mimics the signal. We need ways to break the degeneracy.
Several attempts were shown at this Quark Matter

- Ultra central U+U and Au+Au ([P. Tribedy](#))
- Event-shape engineering ([A. Dobrin](#))
- p+A, d+A ([X.-G.Huang, S. Park, P. Tribedy, Z. Tu, L. Wen](#))

In the future, isobar collisions $^{96}\text{Ru}_{40}$ and $^{96}\text{Zr}_{44}$ appear very promising

How can we turn it off?

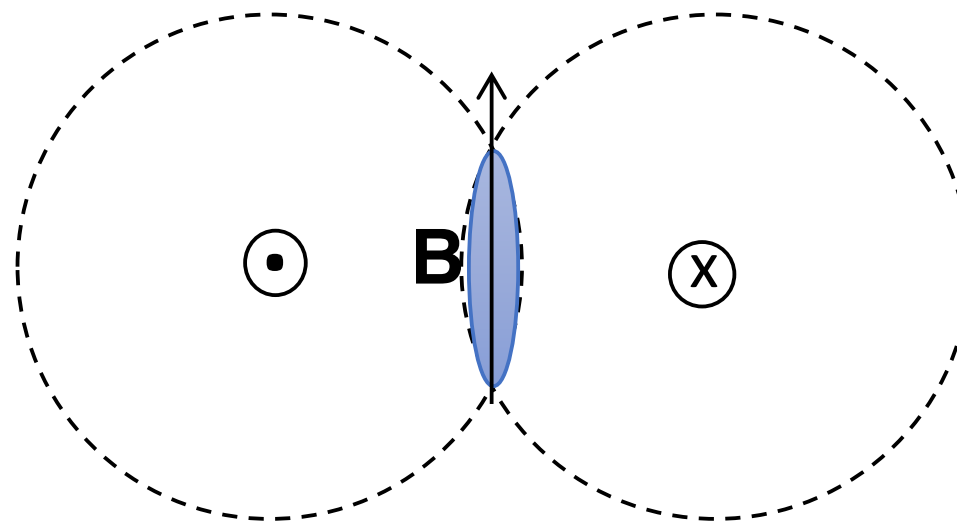
arXiv:1607.04697

- **Charge separation signal:** $\Delta\gamma \sim B^2 \langle \cos(2\Psi_B - 2\Psi_{EP}) \rangle$

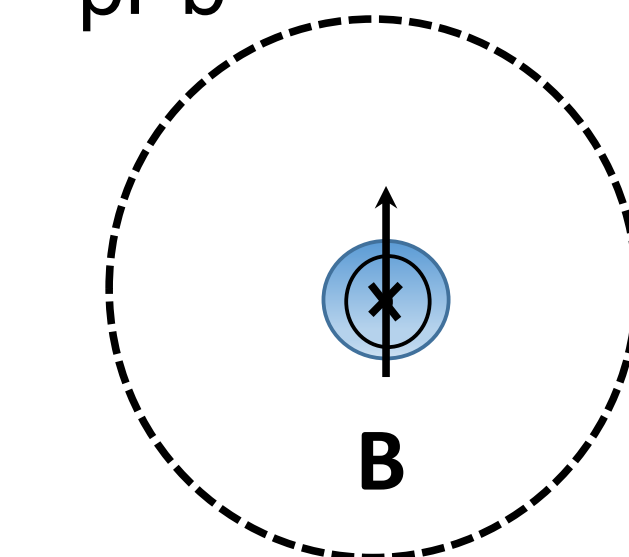
How does the B-field in pPb compare to PbPb?

➤ $B(\text{PbPb}) > B(\text{pPb})$ for the magnitude

PbPb



pPb



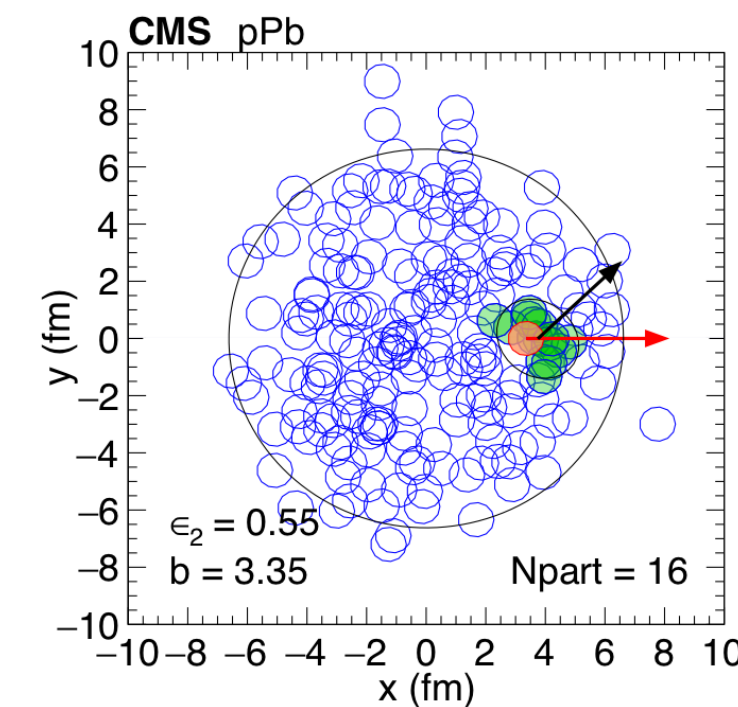
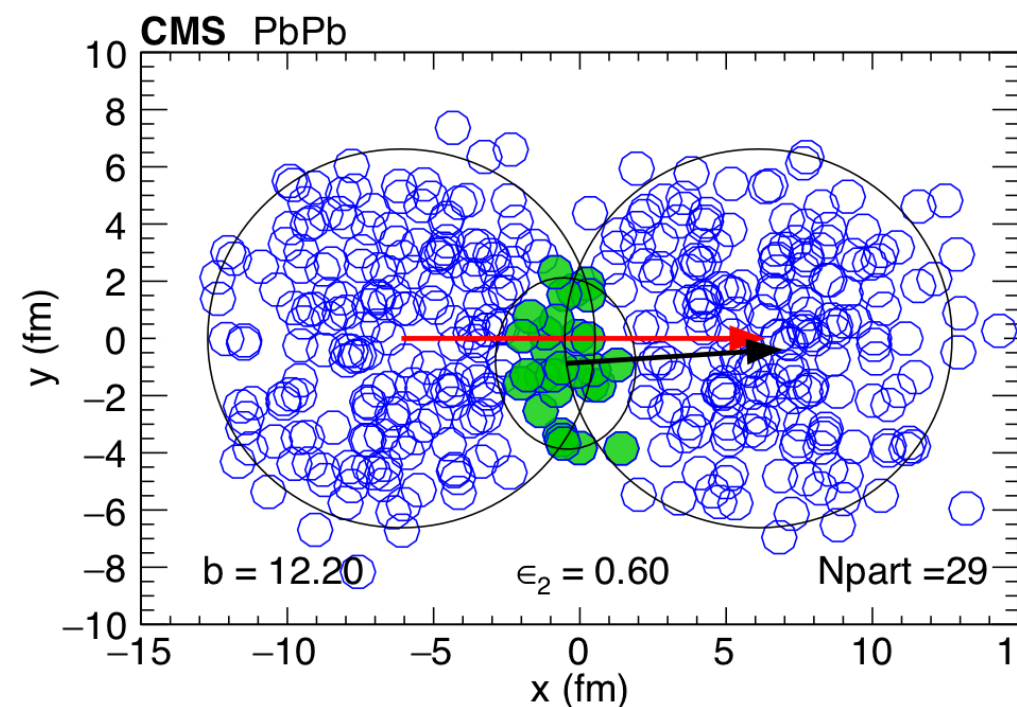
How can we turn it off?

arXiv:1607.04697

- **Charge separation signal:** $\Delta\gamma \sim B^2 \left\langle \cos(2\Psi_B - 2\Psi_{EP}) \right\rangle$

How does the B-field in pPb compare to PbPb?

- $B(\text{PbPb}) > B(\text{pPb})$ for the magnitude
- De-correlation between Ψ_B and Ψ_{EP}



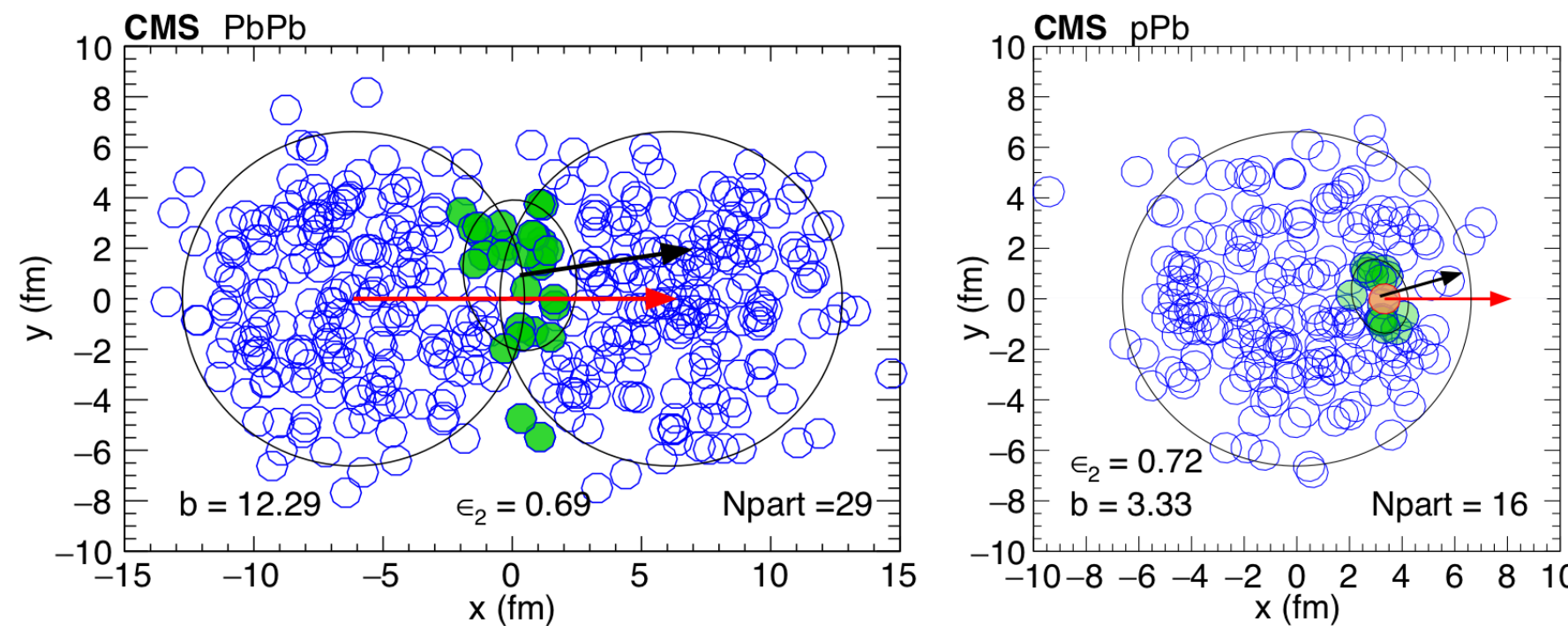
How can we turn it off?

arXiv:1607.04697

- **Charge separation signal:** $\Delta\gamma \sim B^2 \langle \cos(2\Psi_B - 2\Psi_{EP}) \rangle$

How does the B-field in pPb compare to PbPb?

- $B(\text{PbPb}) > B(\text{pPb})$ for the magnitude
- De-correlation between Ψ_B and Ψ_{EP}



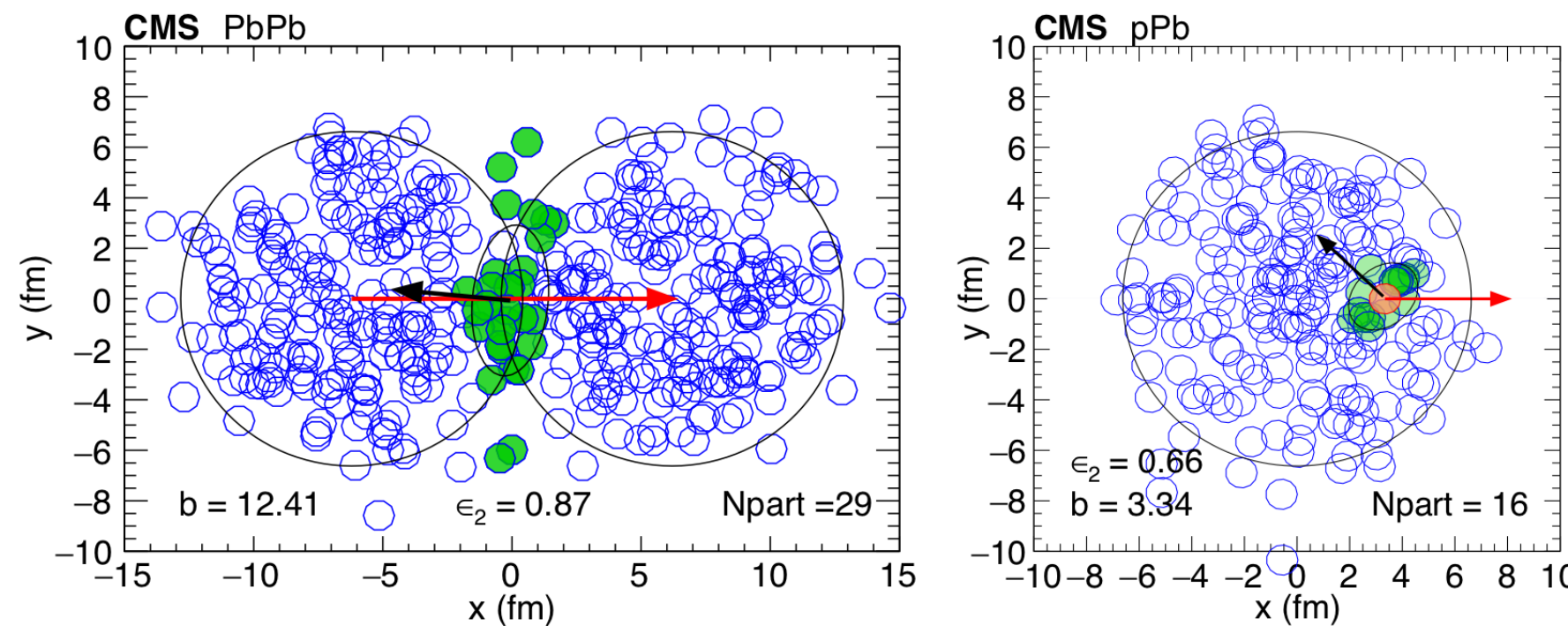
How can we turn it off?

arXiv:1607.04697

- **Charge separation signal:** $\Delta\gamma \sim B^2 \langle \cos(2\Psi_B - 2\Psi_{EP}) \rangle$

How does the B-field in pPb compare to PbPb?

- $B(\text{PbPb}) > B(\text{pPb})$ for the magnitude
- De-correlation between Ψ_B and Ψ_{EP}

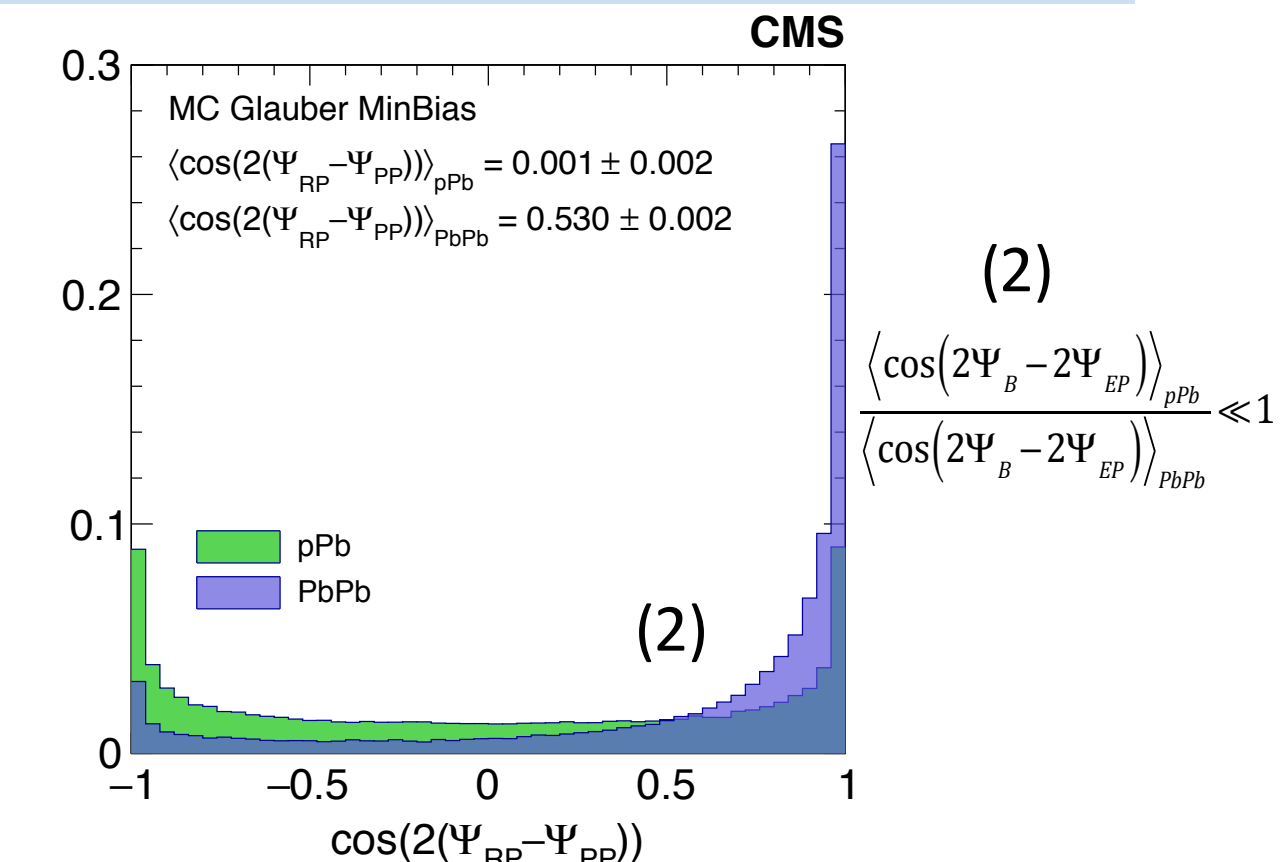
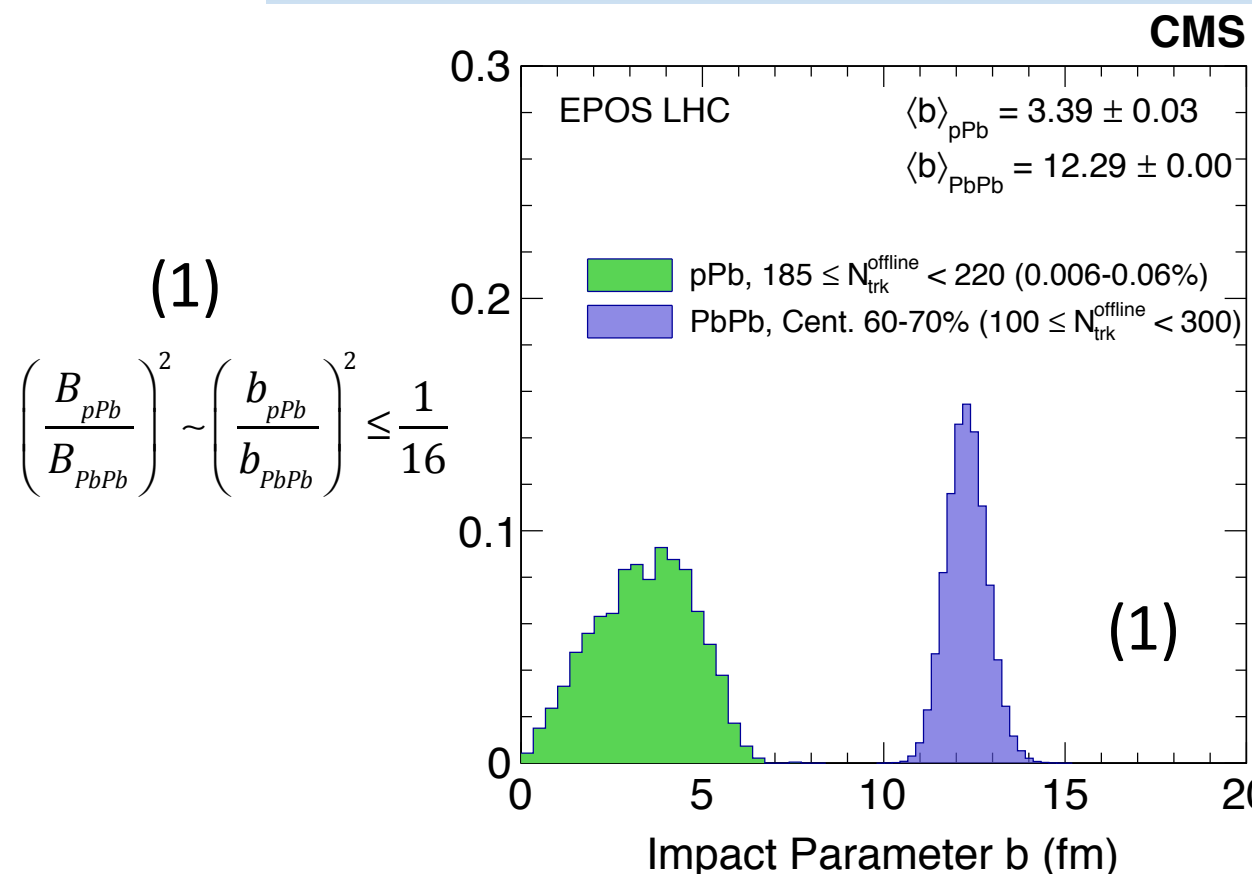


How can we turn it off?

arXiv:1607.04697

- Charge separation signal: $\Delta\gamma \sim B^2 \left\langle \cos(2\Psi_B - 2\Psi_{EP}) \right\rangle$

- $B(\text{PbPb}) > B(\text{pPb})$ for the magnitude
- De-correlation between Ψ_B ($\sim \Psi_{RP}$) and Ψ_{EP} ($\sim \Psi_{PP}$)

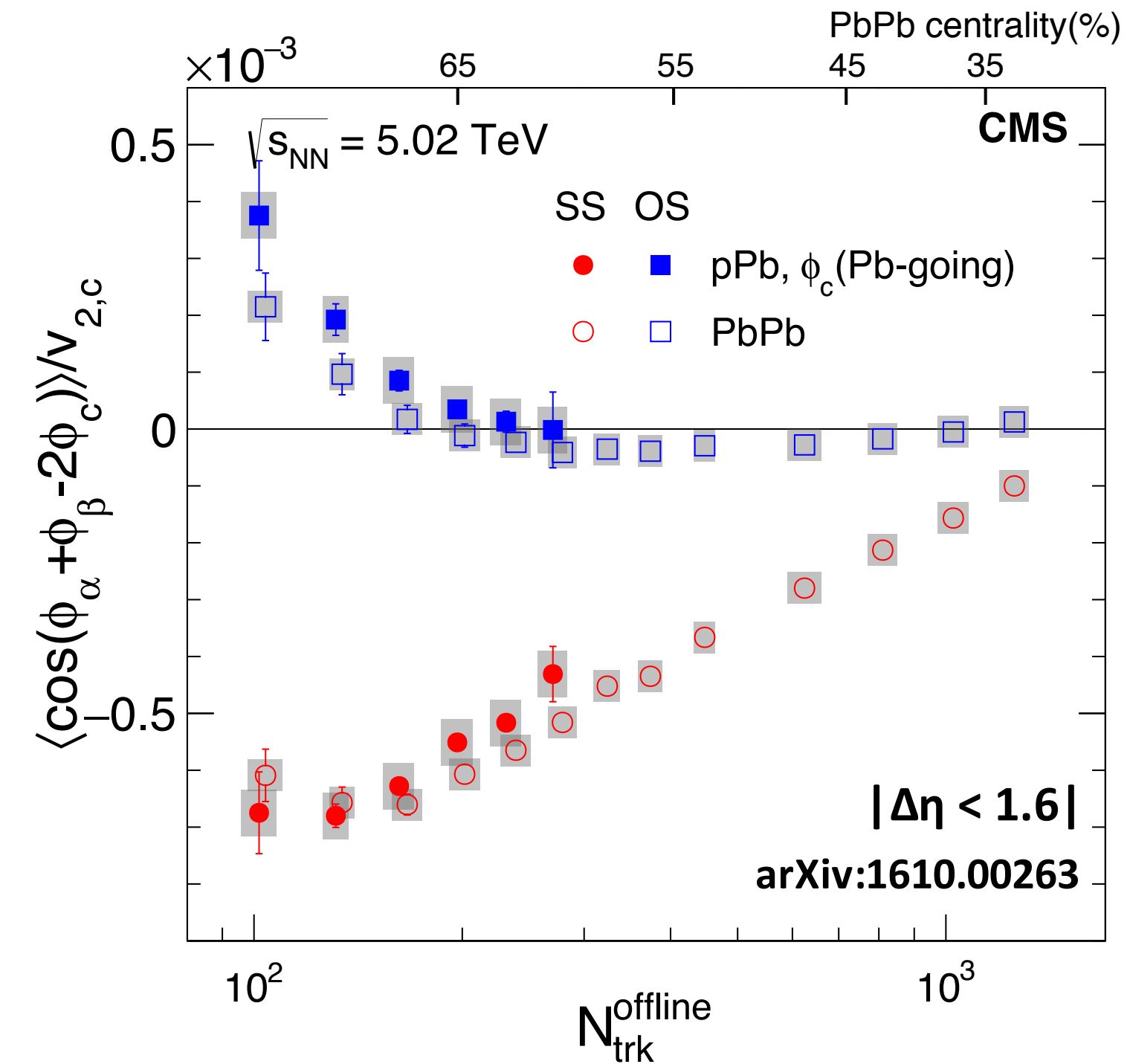


- $\Delta\gamma(\text{PbPb}) \gg \Delta\gamma(\text{pPb}) \rightarrow$ support CME in AA
- $\Delta\gamma(\text{PbPb}) \approx \Delta\gamma(\text{pPb}) \rightarrow$ challenge to CME



γ as function of multiplicity

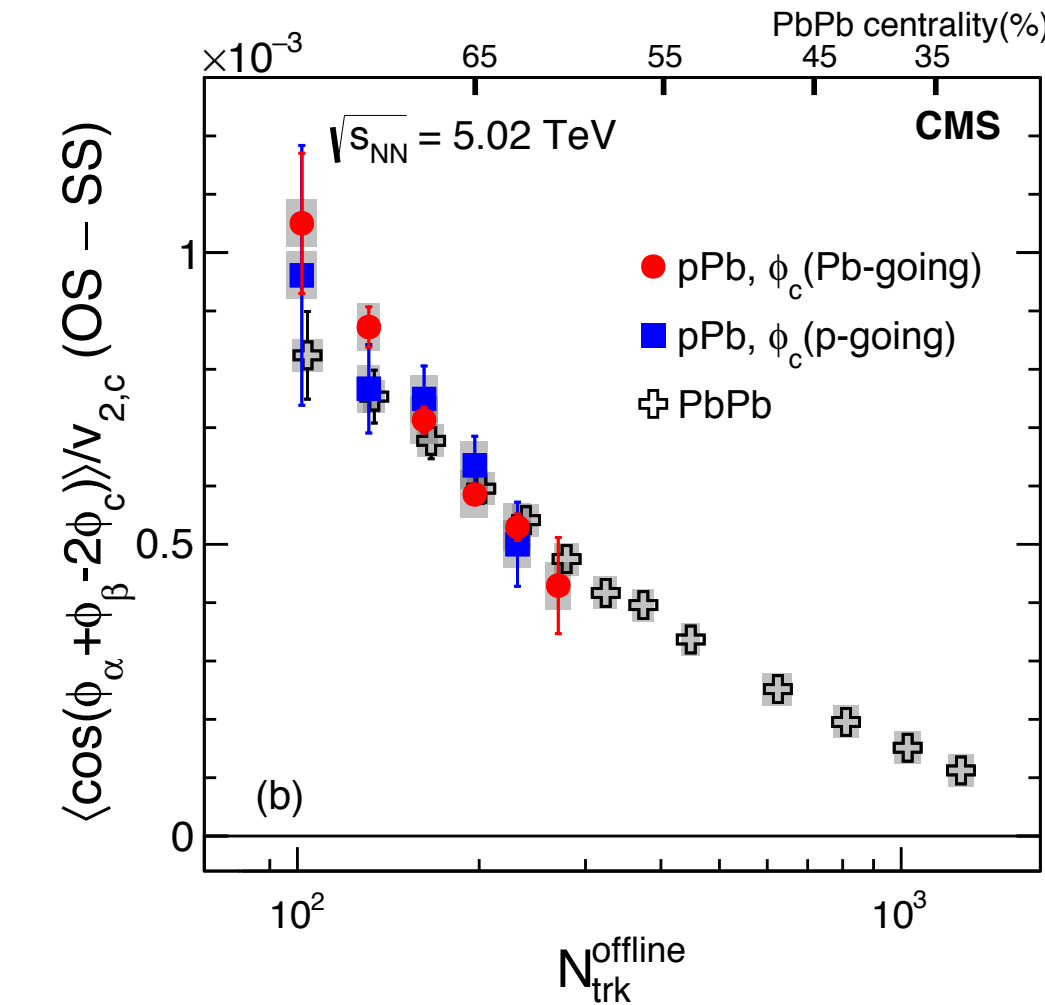
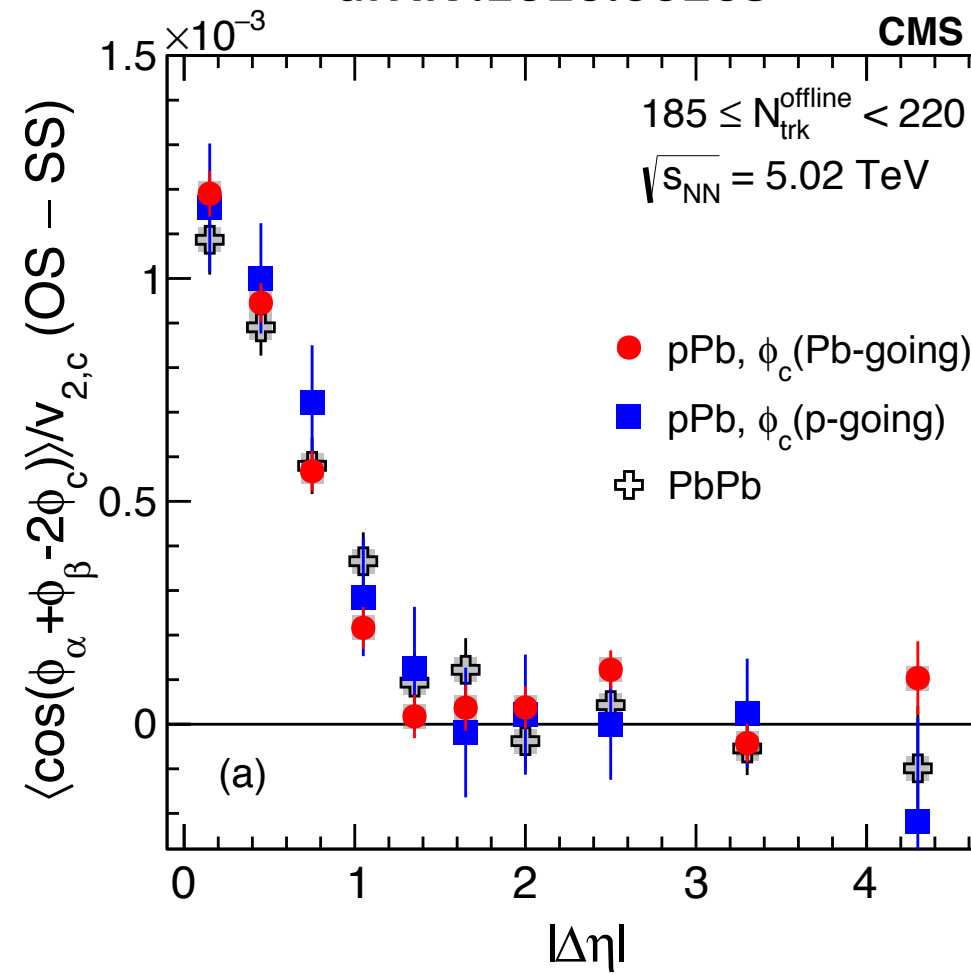
- Integrated results as function of multiplicity in pPb and PbPb collisions.
- Almost identical for both SS and OS from 90 to 300 (N_{trk}) btw two systems.
- **It doesn't seem like a coincidence → challenge to CME**





$\Delta\gamma (\gamma^{\text{OS}} - \gamma^{\text{SS}})$

arXiv:1610.00263



- All $\Delta\gamma$ (OS-SS) agree with each other in both $\Delta\eta$ and multiplicity.
- The charge separation signal seems not related to B-field.

捜査のプロが分析

元警視庁捜査一課長
田宮栄一氏

CMEのシグナル、
あるいはバックグラウンド

CMEのシグナル候補1

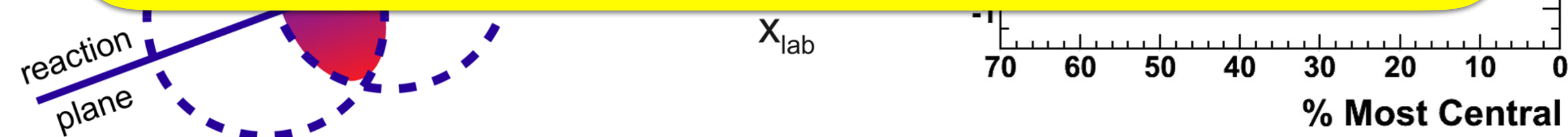
Charge dependent correlations: $\langle \cos(\phi_1^\alpha + \phi_2^\beta - 2\Psi_{RP}) \rangle$

$\alpha, \beta \in \{+, -\}$

シグナルという主張にはまだ議論が多い段階



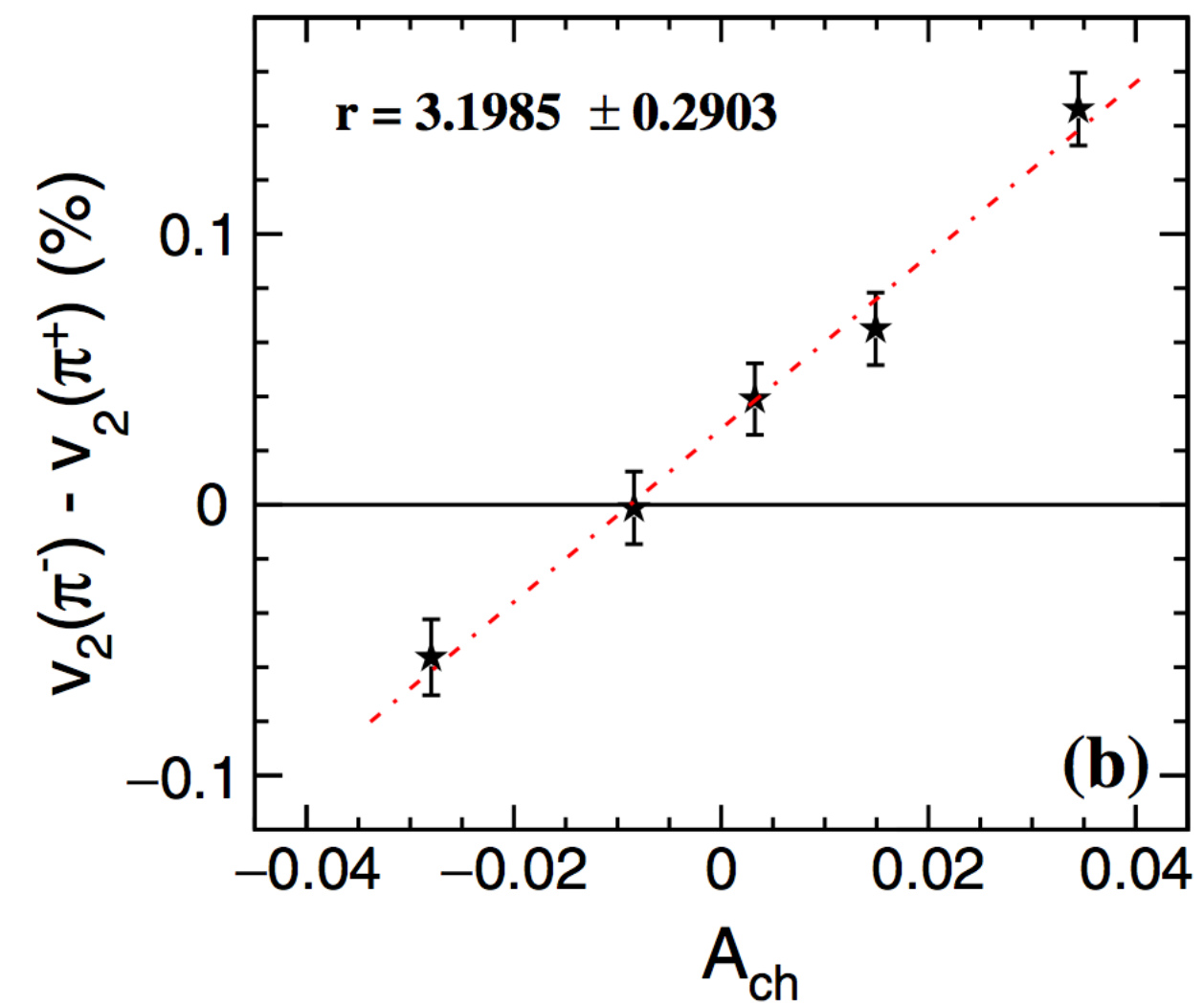
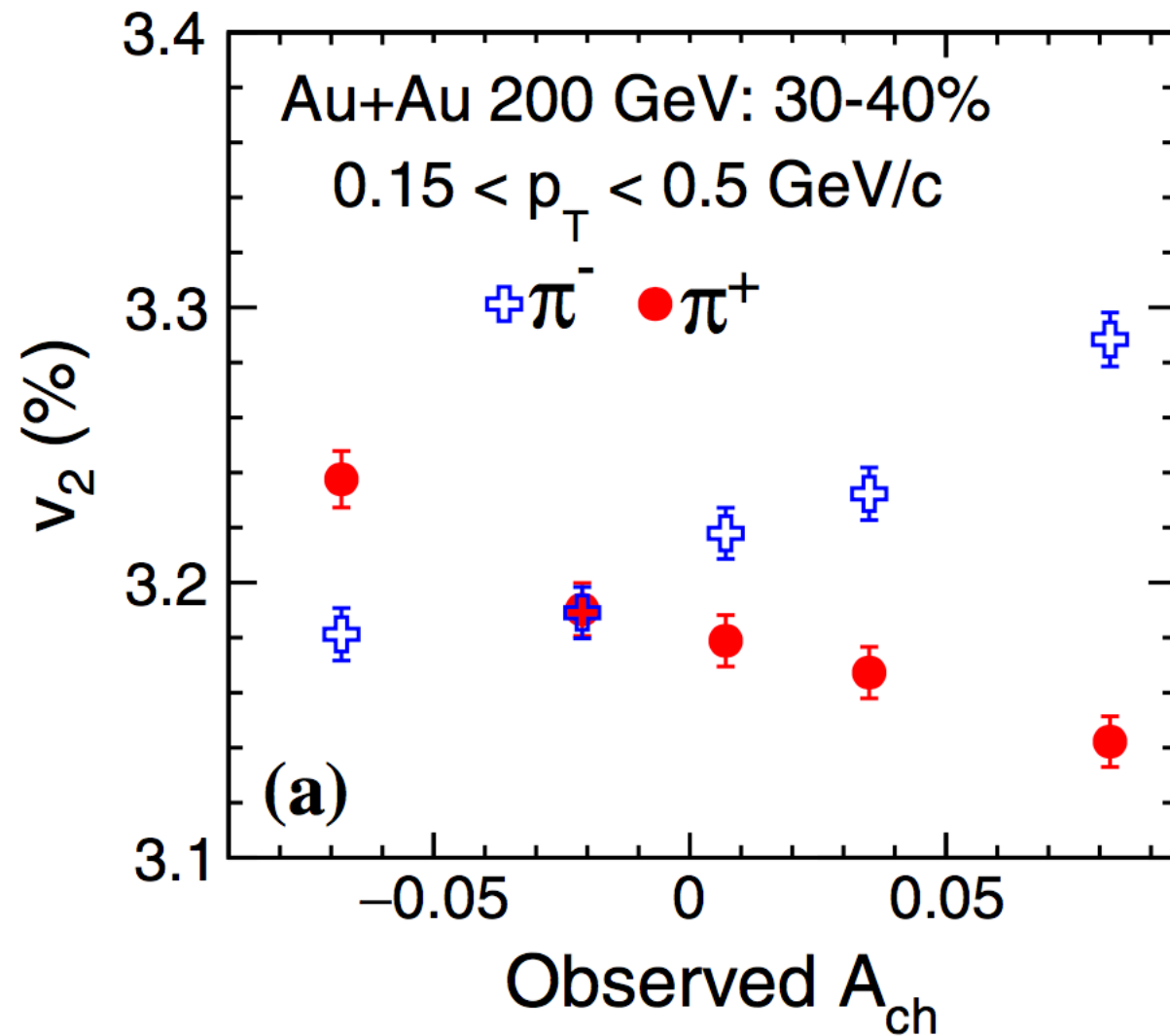
他にCMEのシグナルはないの？



同じ電荷同士の2粒子相関・異なる電荷の2粒子相関の間の
非対称性がCMEのシグナルになっているはず！

CMEのシグナル候補2

Charge dependent elliptic flow: $\Delta v_2 \equiv v_2(\pi^-) - v_2(\pi^+)$



荷電粒子(とくに π 中間子)の楕円フローに関する

電荷ごとの非対称性がCMEのシグナルになっているはず！

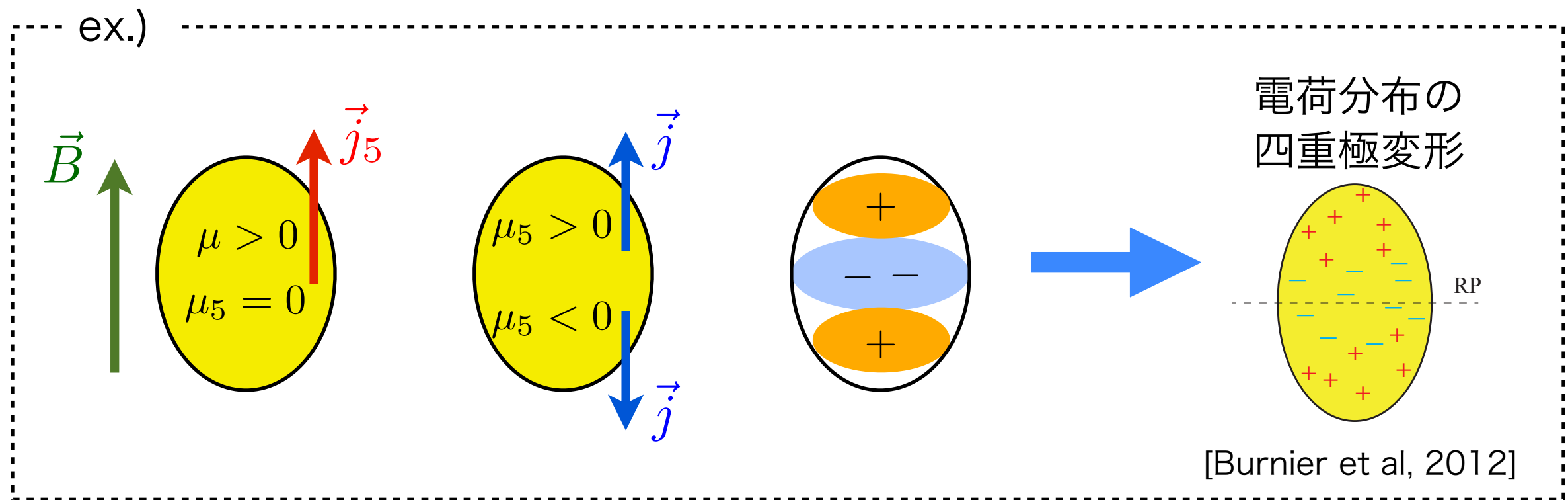
カイラル磁気波(CMW)

カイラル分離効果	$\vec{j}_5 = \frac{N_c e}{2\pi^2} \underline{\mu} \vec{B}$
+ + + + +	
カイラル磁気効果	$\vec{j} = \frac{N_c e}{2\pi^2} \underline{\mu}_5 \vec{B}$



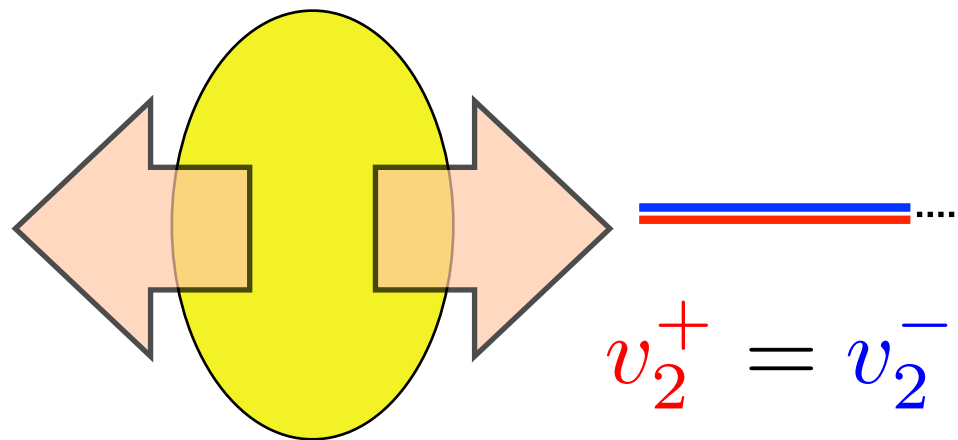
Chiral Magnetic Wave

[Kharzeev, Yee, 2011]

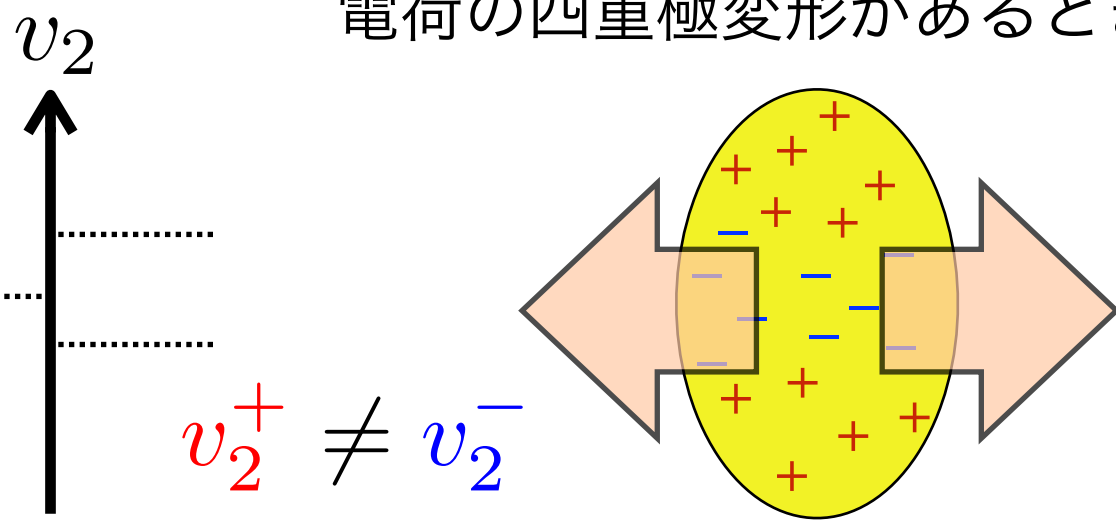


Charge dependent v_2

電荷分布の変形がないとき

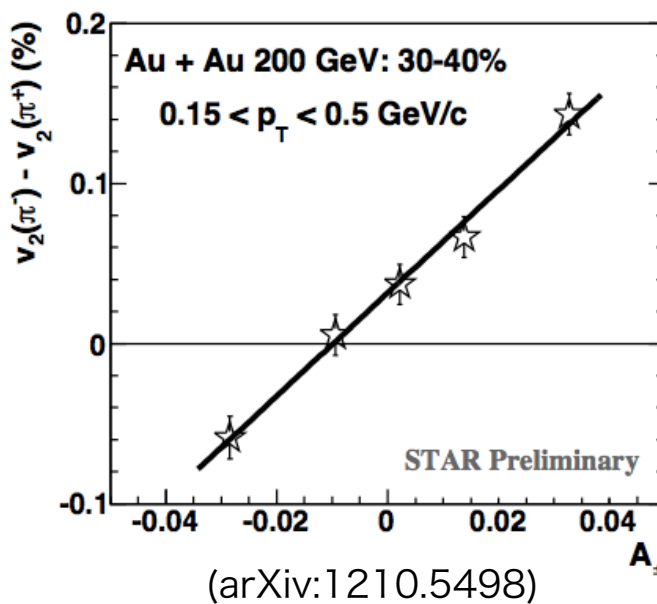
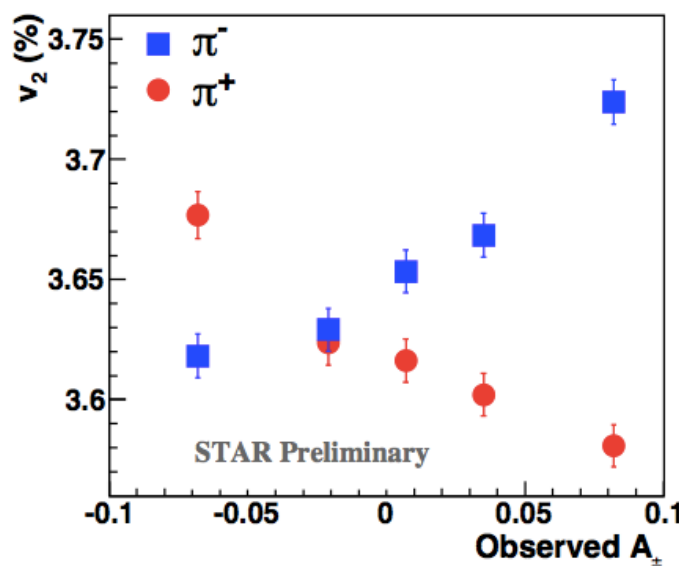


電荷の四重極変形があるとき



Charge dependent v_2 : $v_2^\pm = v_2 \mp r_e A$, $A \equiv \frac{\bar{N}_+ - \bar{N}_-}{\bar{N}_+ + \bar{N}_-}$

実験結果 from STAR



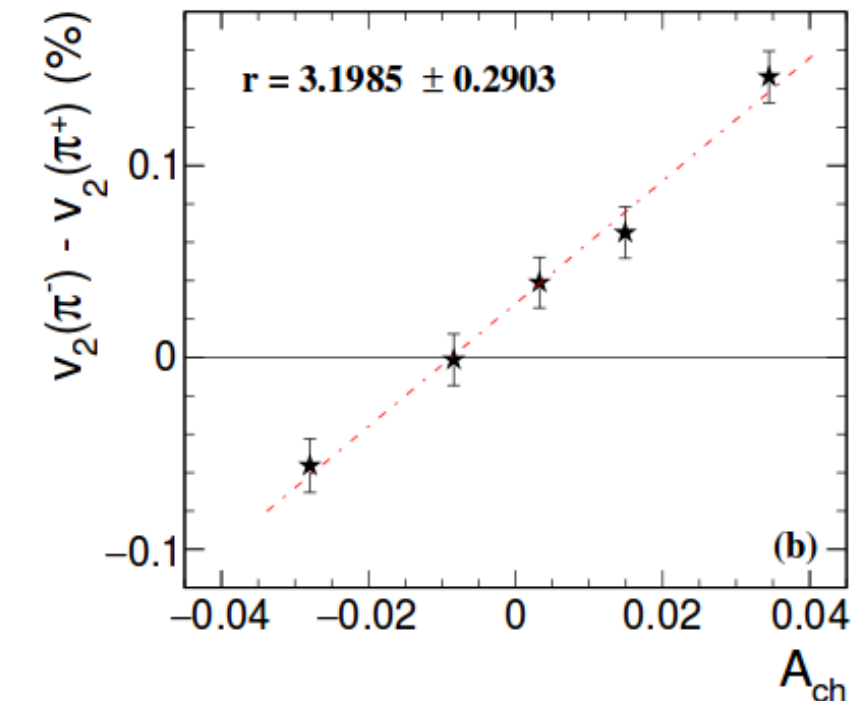
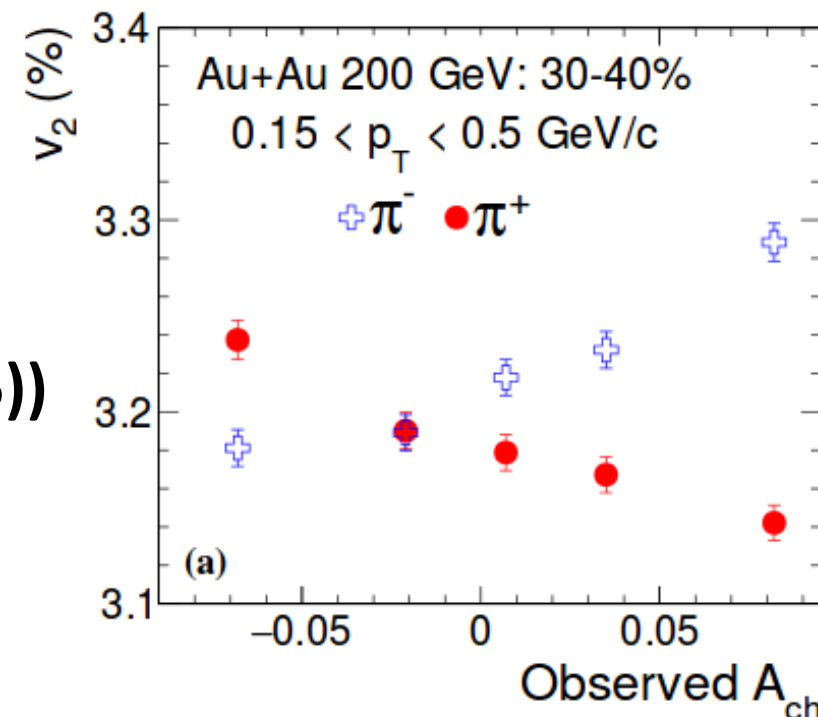
$$r_e \sim 10^{-2} > 0$$

カイラル磁気波のシグナル?
[Burnier et al, 2012]

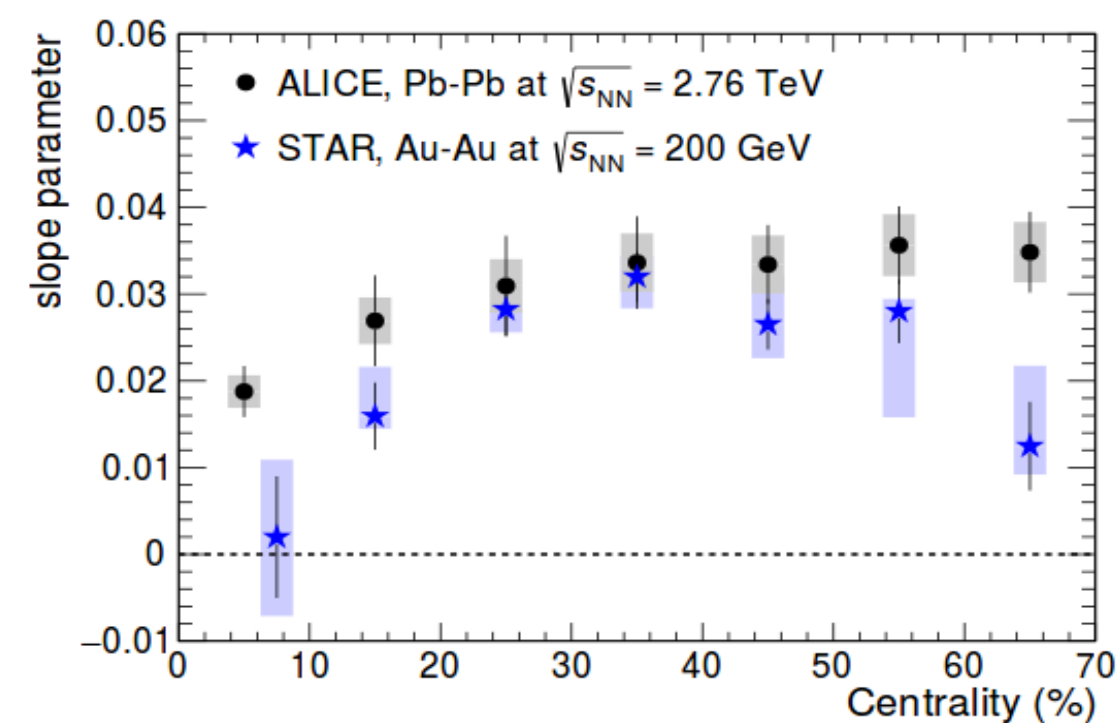


Previous Measurements

STAR
(Phys.Rev.Lett. 114 (2015))



ALICE
(Phys.Rev. C93 (2016))



$$v_2^\pm \simeq v_{2,\pm}^{base} \mp r_e A_{ch}/2$$

$$v_2^- - v_2^+ = r_e A$$

Small systemでの実験結果

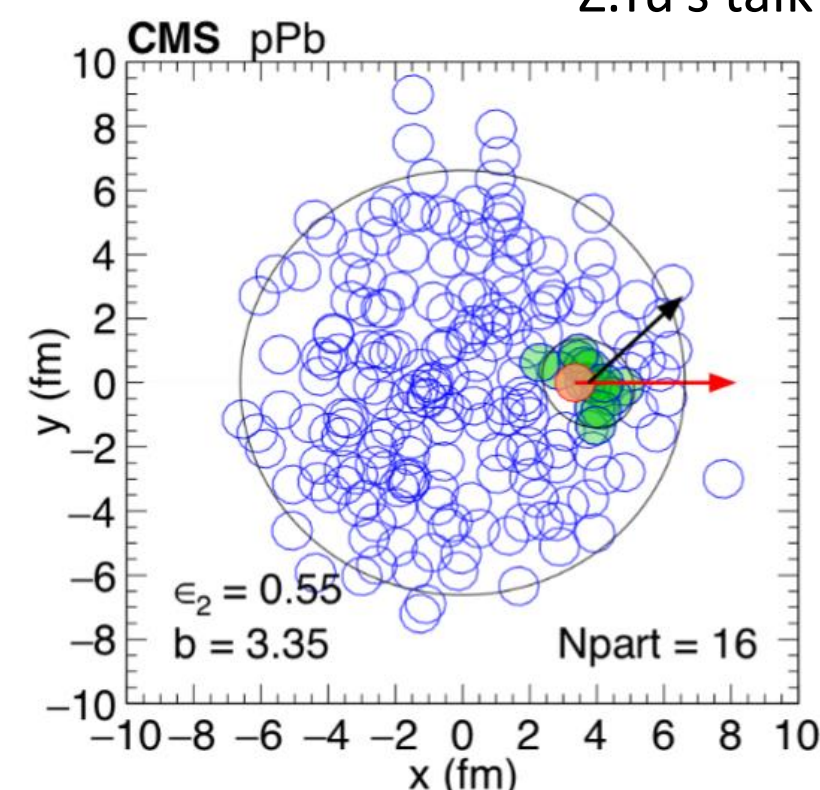
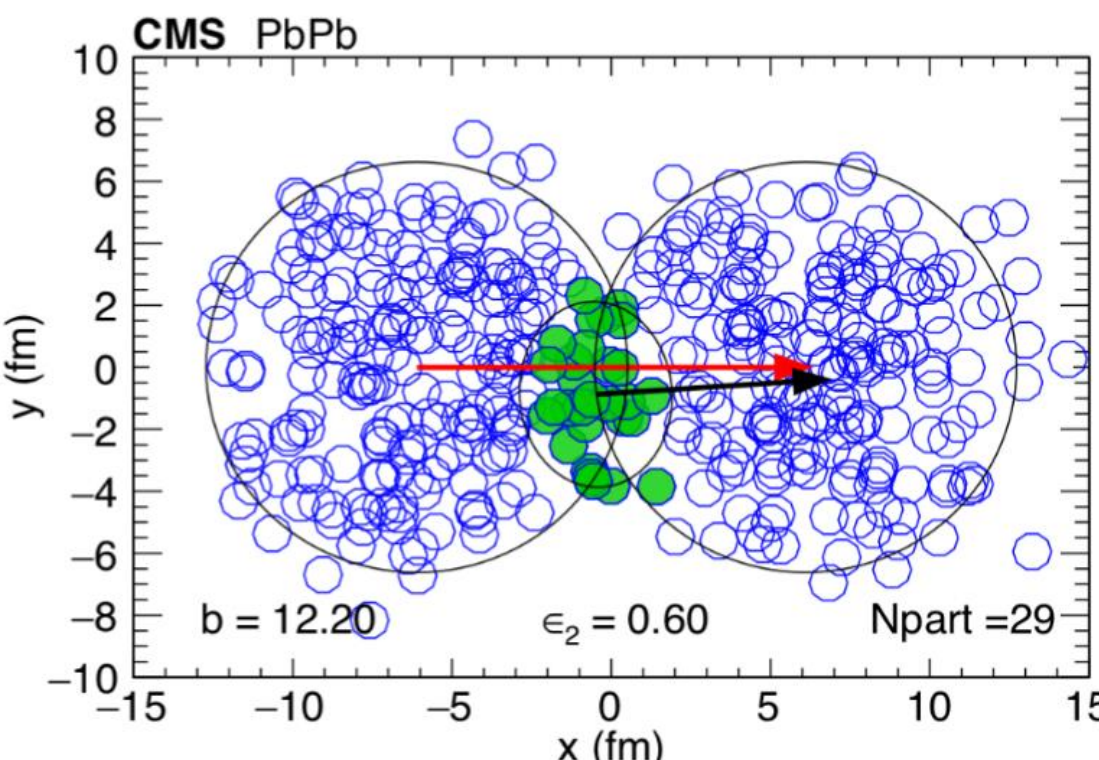


What's new about CMS measurement?



❖ 1. CMW in a smaller system (pPb)

arXiv:1610.00263
Z.Tu's talk at 3pm !



$$\langle (eB)^2 \cos[2(\psi_B - \Psi_{RP})] \rangle$$

Smaller B field

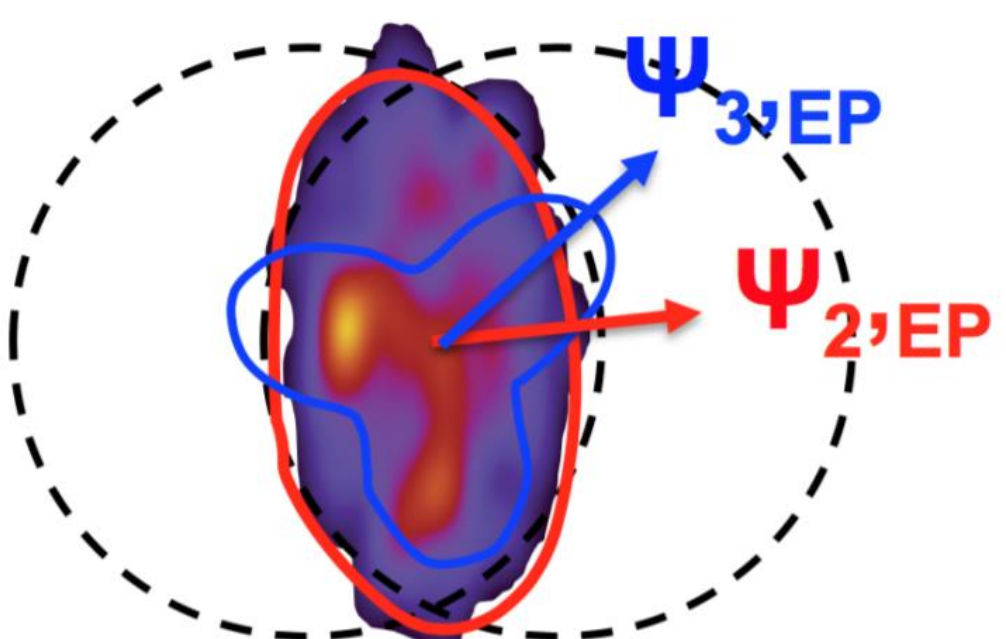
B field direction \neq Reaction Plane

What's new about CMS measurement?



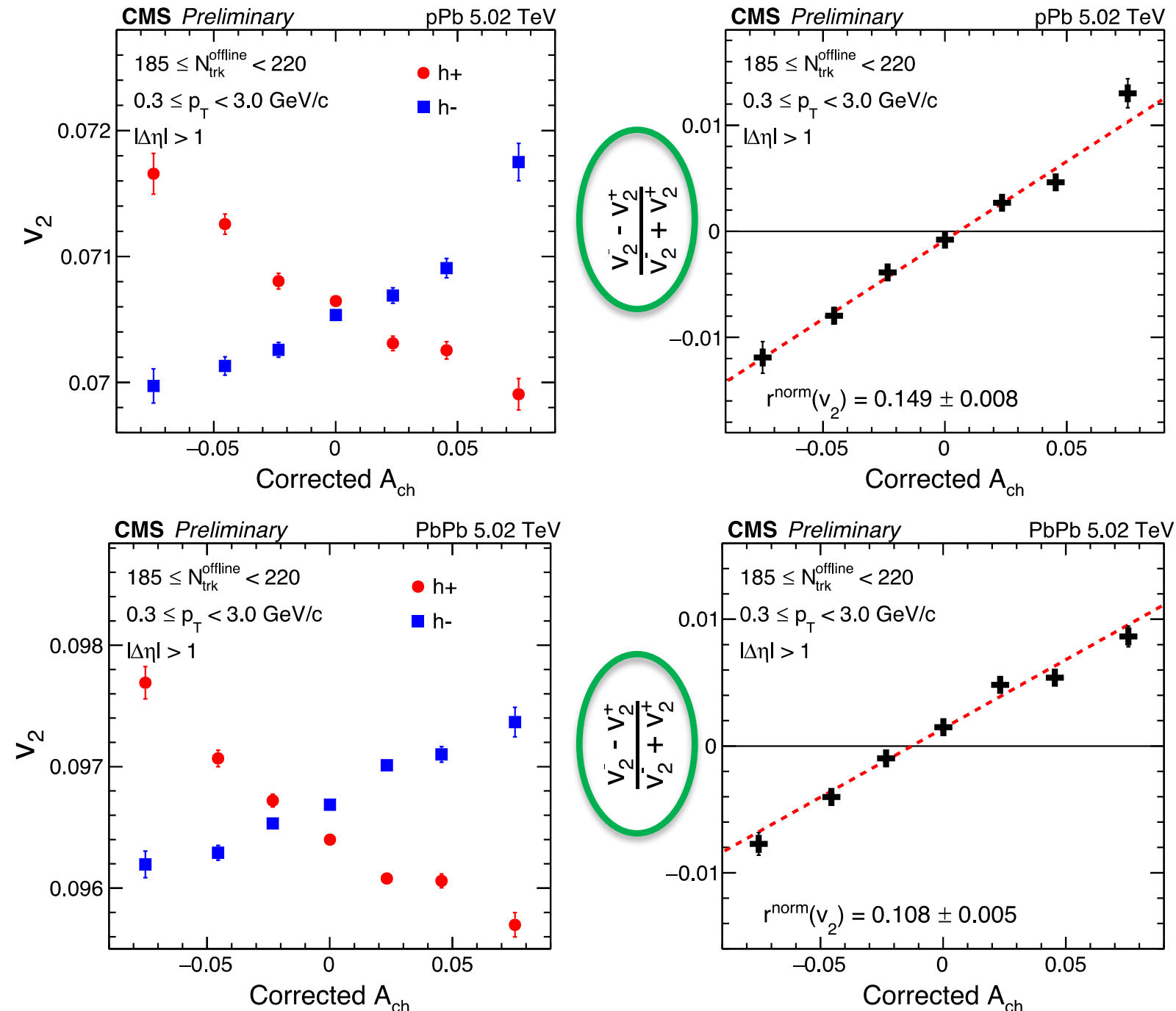
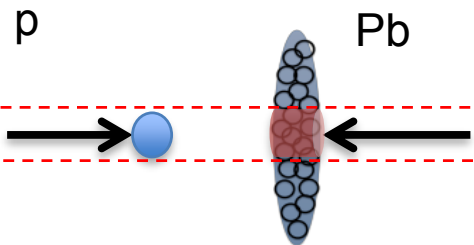
❖ 2. Third Order Harmonics

- CMW mechanism predicts the slope of the third harmonic to be zero
- Orientation of the triangular flow has no correlation with RP
- Measurement of v3 slope in PbPb - crucial in testing CMW





1. CMW in pPb and PbPb



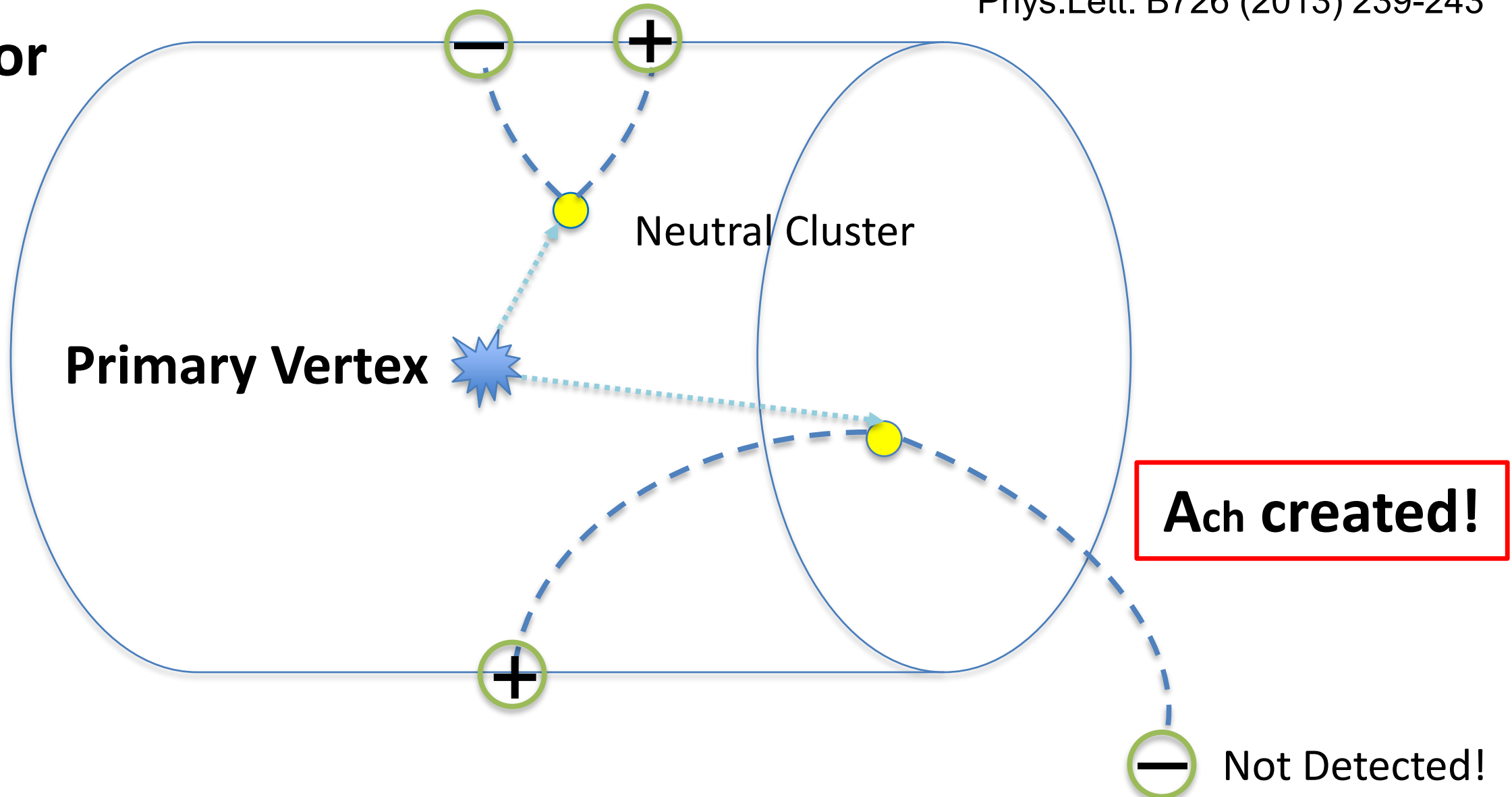
Significant nonzero slope observed in pPb : Challenges CMW!



Local Charge Conservation Mechanism



Detector



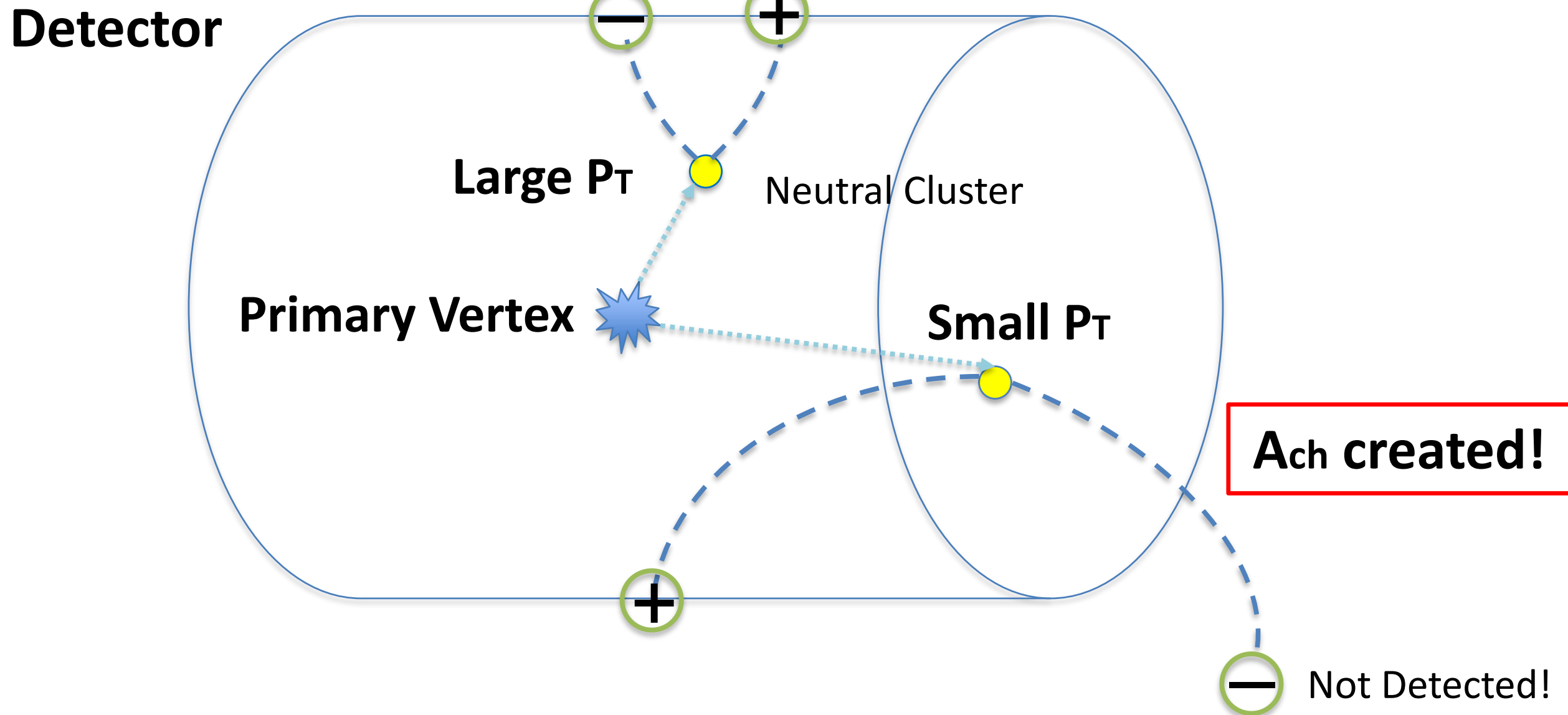
- ❖ Neutral cluster decays locally into charged pairs with a certain η separation



Local Charge Conservation Mechanism



A. Bzdak, P. Bozek
Phys.Lett. B726 (2013) 239-243



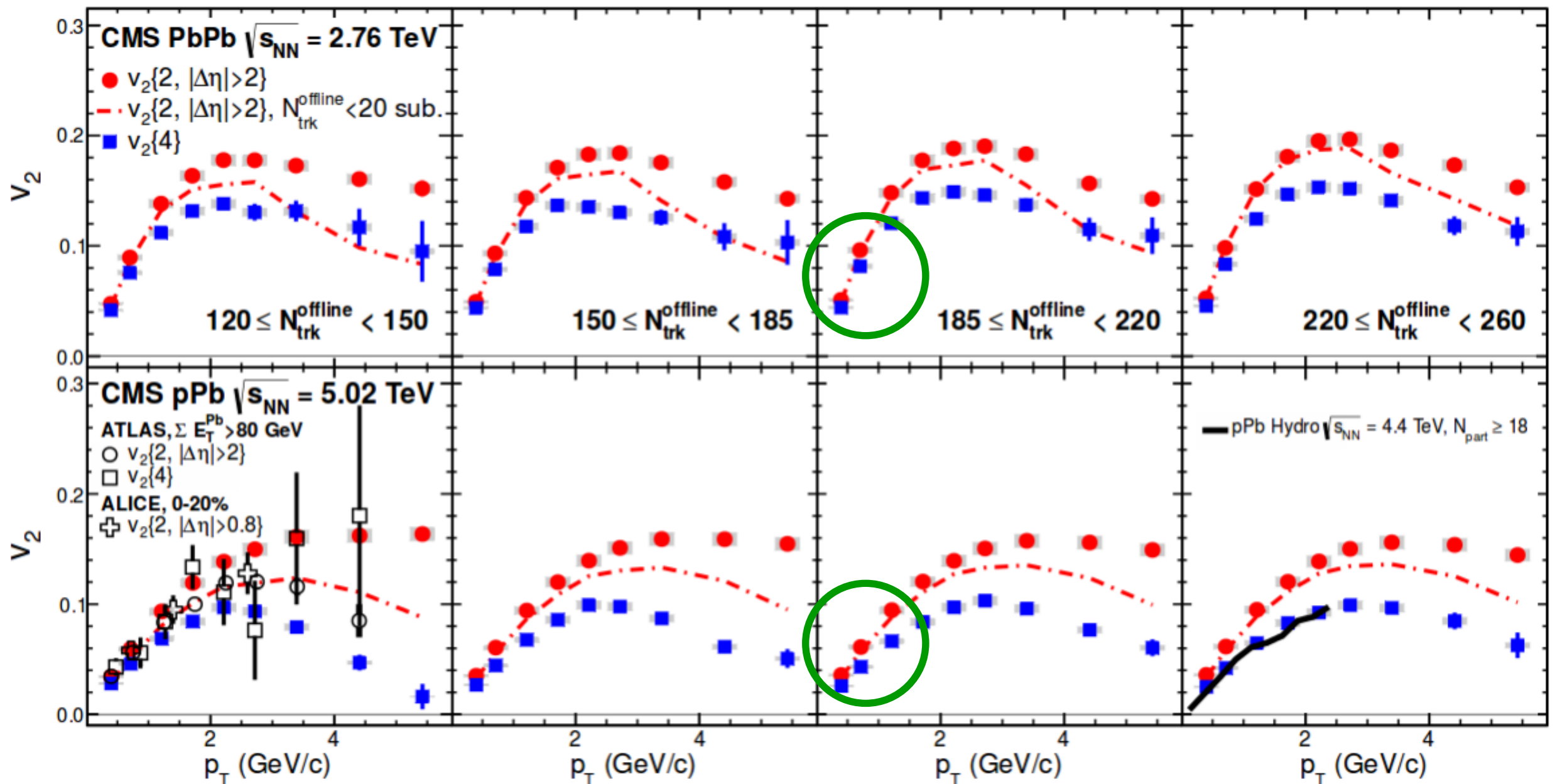
Clusters with small $p_T \rightarrow$ More likely to contribute to A_{ch}



Local Charge Conservation

Phys.Lett. B724
(2013) 213-240

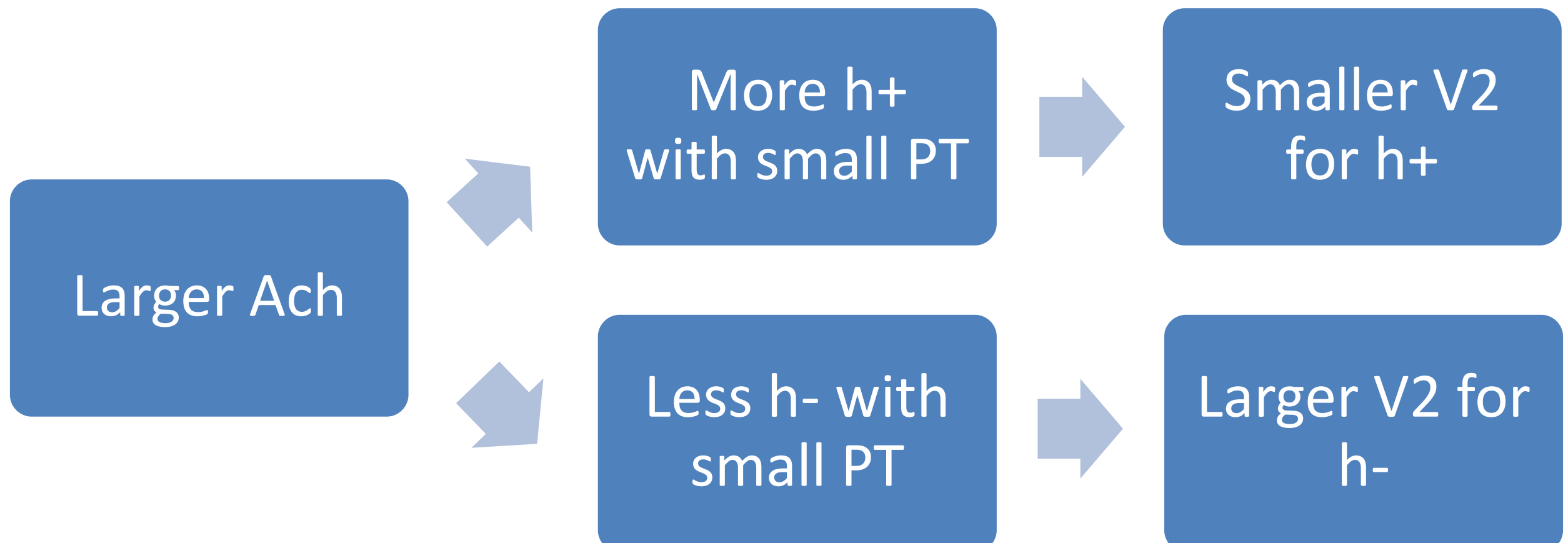
When P_T is small, V_2 is proportional to P_T





Local Charge Conservation

1. Clusters with small $P_T \rightarrow$ More likely to contribute to A_{ch}
2. When P_T is small, $V2$ is proportional to P_T



$$v_2^\pm \simeq v_{2,\pm}^{base} \mp r_e A_{ch}/2$$

捜査のプロが分析

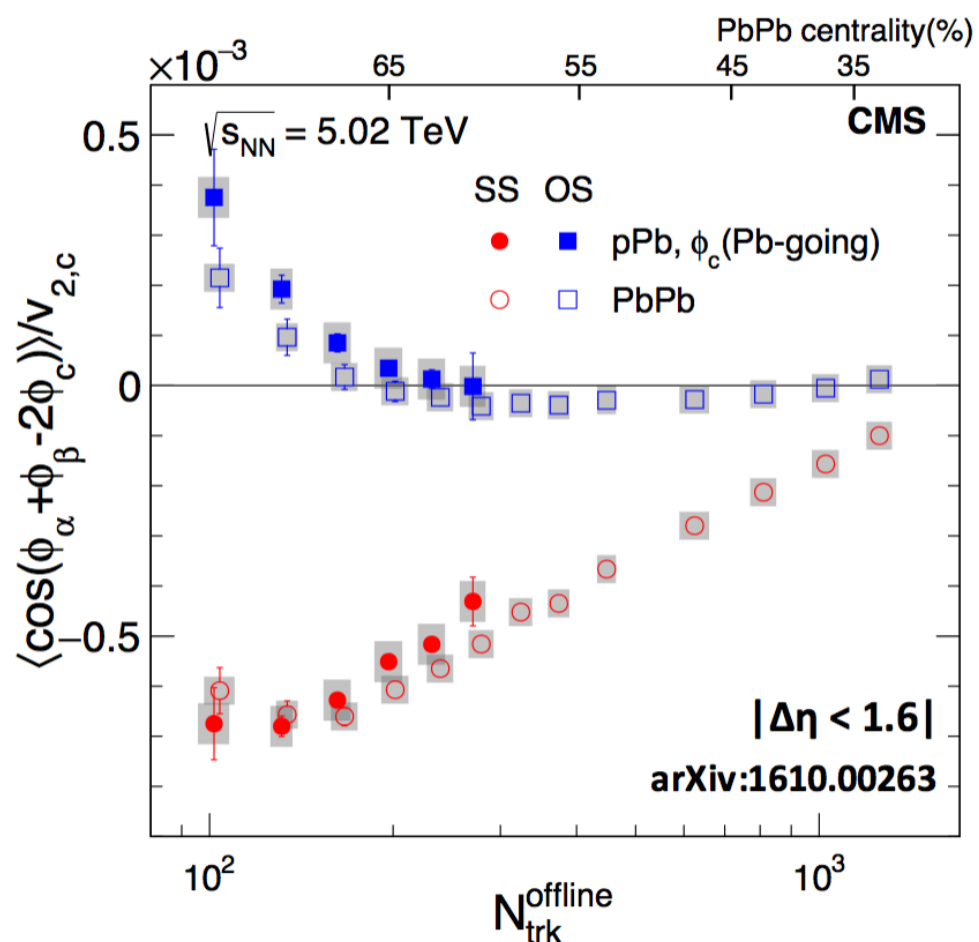
元警視庁捜査一課長
田宮栄一氏

CMEのシグナル、
あるいはバックグラウンド

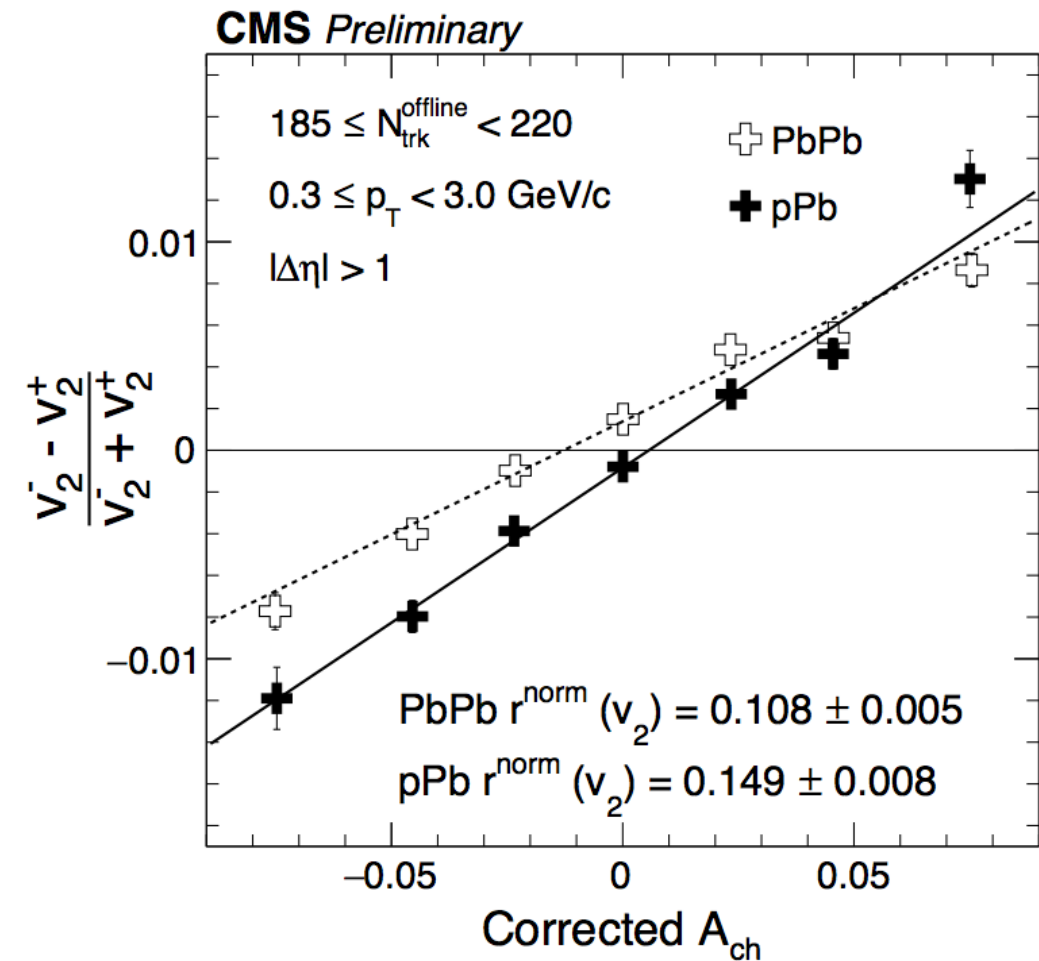
CMEの探索のまとめ

CMEのシグナルだと思われていた観測量の振る舞いが

Charge dependent correlations



Charge dependent elliptic flow



のようにCMEの効果が小さいはずのpPb衝突でも得られてしまった！

→ シグナルかバックグラウンドかを区別する解析・実験が必要！！

CMEの検証に向けた 今後の展望

QM2017での進展(の一部)

1. 重イオン衝突におけるカイラル輸送現象の検証に向けて

- ✓ カイラル磁気効果を含んだ流体力学の数値計算と粒子相関 [Talk by Hirono]
- ✓ 粘性+カイラル輸送流体のシミュレーションと粒子相関の計算 [Talk by Shi]
- ✓ 小さい系におけるカイラル磁気効果の実験的検証 [Talk by Sorensen, Tu, Park]
- RHICの同重体(isobar, ZrZr/RuRu)衝突実験に向けた計算 [Talk by Huang, Shi]
- 初期過程における古典統計近似に基づいたカイラル磁気効果の計算 [Talk by Mueller]
- カイラル渦/磁気効果を含んだ流体力学の数値計算と粒子相関 [Talk by Guo]
- 流速場の渦度分布の時間発展とラムダ粒子の偏極 [Talk by Pang, Karpenko, Wang]
- 原子核内の荷電粒子を波束として扱ったときの電磁場の時間発展 [Talk by Peroutka]

2. カイラル輸送現象に関する新しい現象の提案

- 磁力線のつなぎかえにより誘発されるカイラル磁気効果 [Talk by Hirono, Kharzeev]
- カイラル磁気流体におけるモード解析と不安定モード [Talk by Hattori, Hirono]
- 強い磁場中におけるカイラルプラズマの輸送現象(電荷の再分配) [Talk by Hattori]

Test of CME — Isobaric Collisions @ RHIC



$^{96}_{44}$ Ruthenium

Same Baryon #

Different Proton #



$^{96}_{40}$ Zirconium



Similar Bulk Background



Different CME!

How Can We Calculate CME Quantitatively?

axial (& vector)
charge density

Anomalous
-Viscous
Fluid
Dynamics

initial condition

+

driving force

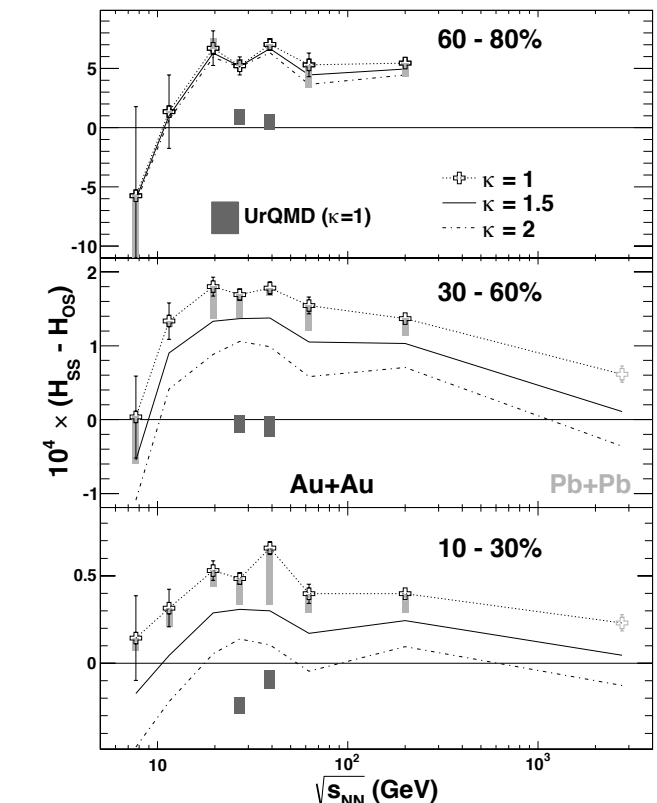
B field



dynamical
evolution



final particle
distribution



M.Hongo, Y.Hirono, T.Hirano, 2013;
H.-U.Yee, Y.Yin, 2014;
Y.Hirono, T.Hirano, D.Kharzeev, 2014;
Y.Yin, J.Liao, 2016;

Anomalous-Viscous Fluid Dynamics

$$D_\mu J_R^\mu = + \frac{N_c q^2}{4\pi^2} E_\mu B^\mu \quad D_\mu J_L^\mu = - \frac{N_c q^2}{4\pi^2} E_\mu B^\mu$$

$$J_R^\mu = n_R u^\mu + \nu_R^\mu + \frac{N_c q}{4\pi^2} \mu_R B^\mu$$

$$J_L^\mu = n_L u^\mu + \nu_L^\mu - \frac{N_c q}{4\pi^2} \mu_L B^\mu$$

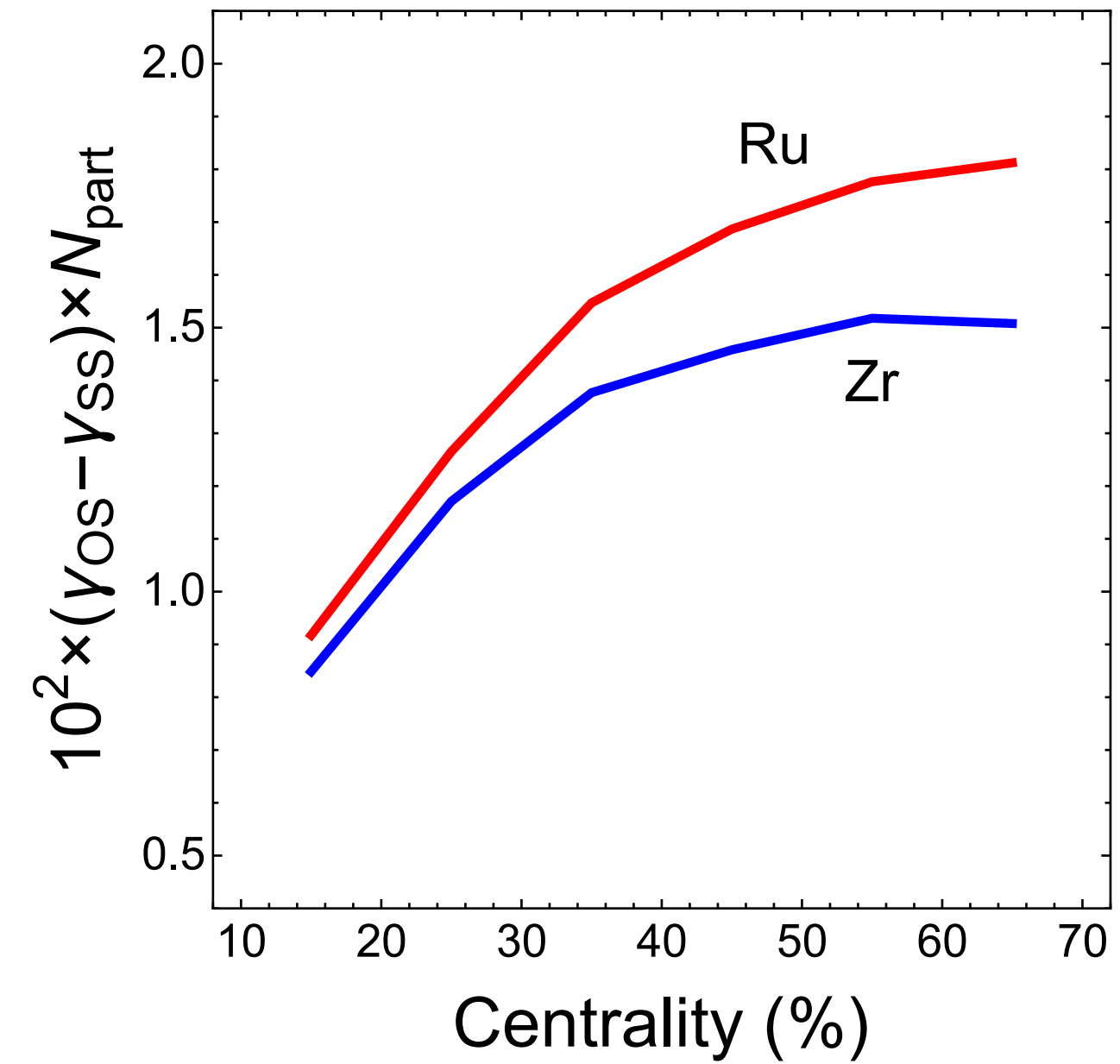
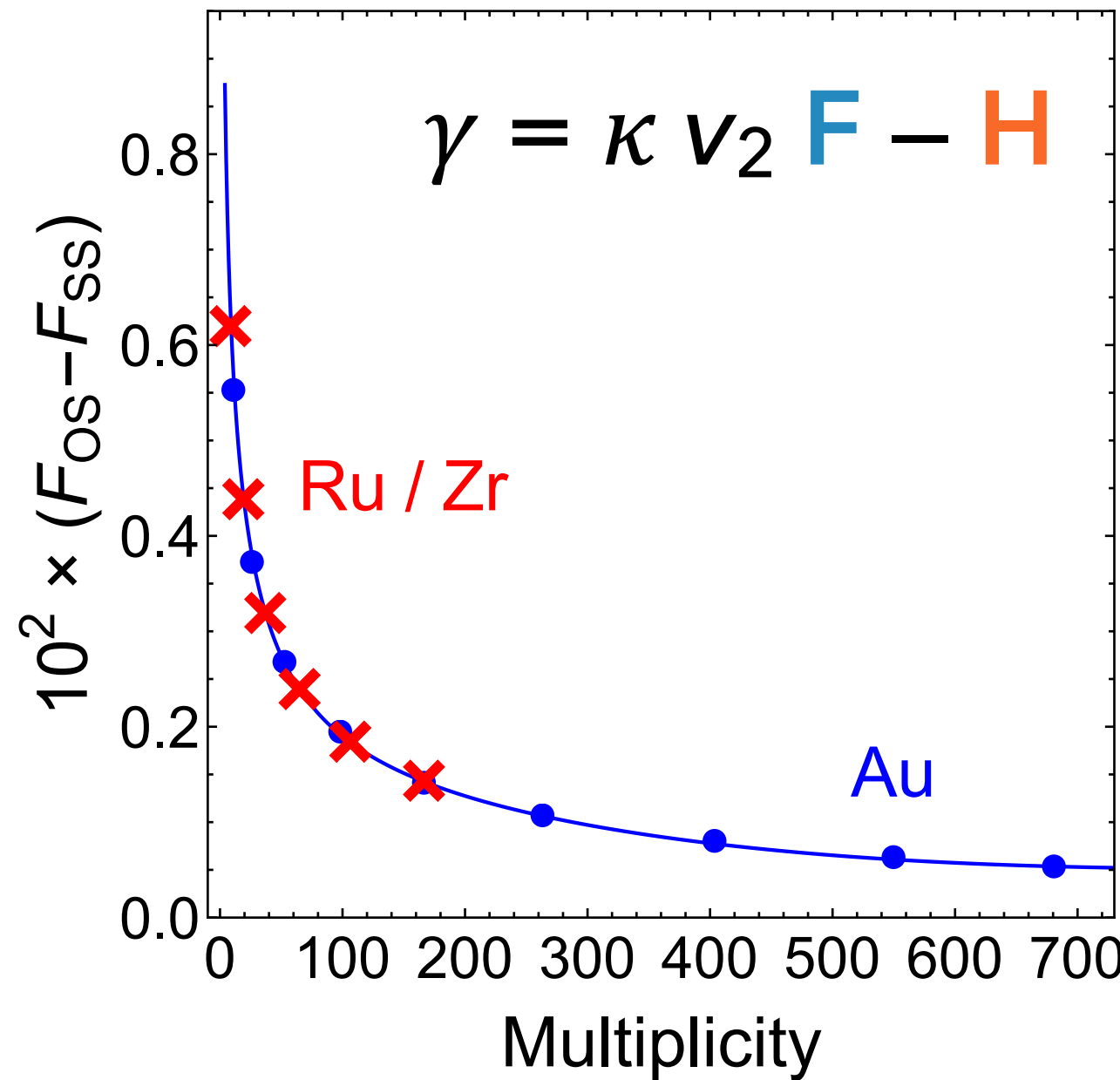
CME

$$\Delta_\nu^\mu d \nu_{R,L}^\nu = - \frac{1}{\tau_{rlx}} (\nu_{R,L}^\mu - \nu_{NS}^\mu)$$

on top of 2+1D VISHNew -- OSU Group

$$D_\mu T^{\mu\nu} = 0$$

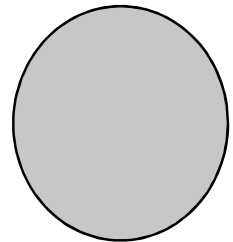
Test of CME — Isobaric Collisions @ RHIC



collaborating with E.Lilleskov, Y.Jiang & J. Liao

Isobaric collisions

Nucleus shape, Wood-Saxon distribution



$$\rho(r, \theta) = \frac{\rho_0}{1 + \exp [(r - R_0 - \beta_2 R_0 Y_2^0(\theta))/a]}$$

Current experimental data for the parameters:

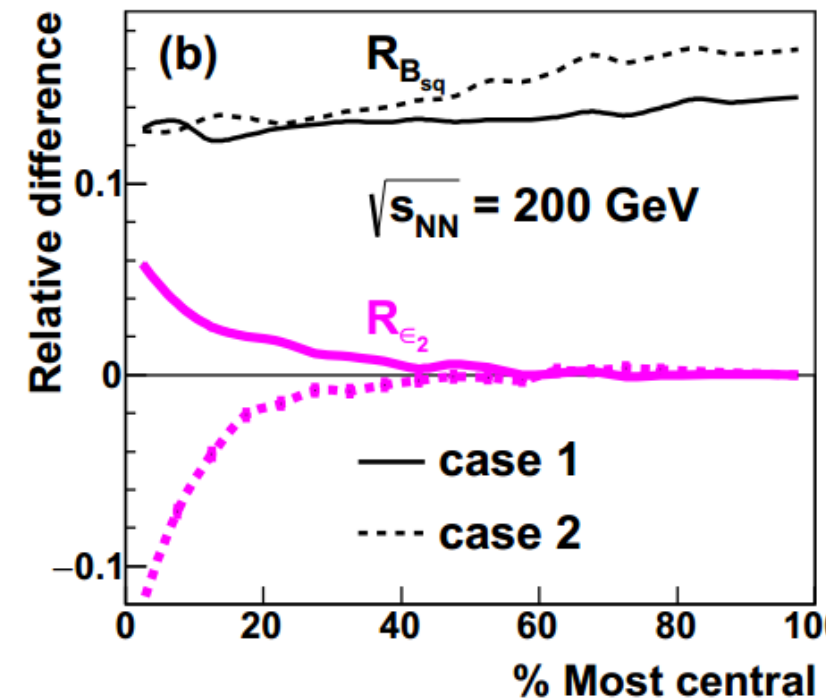
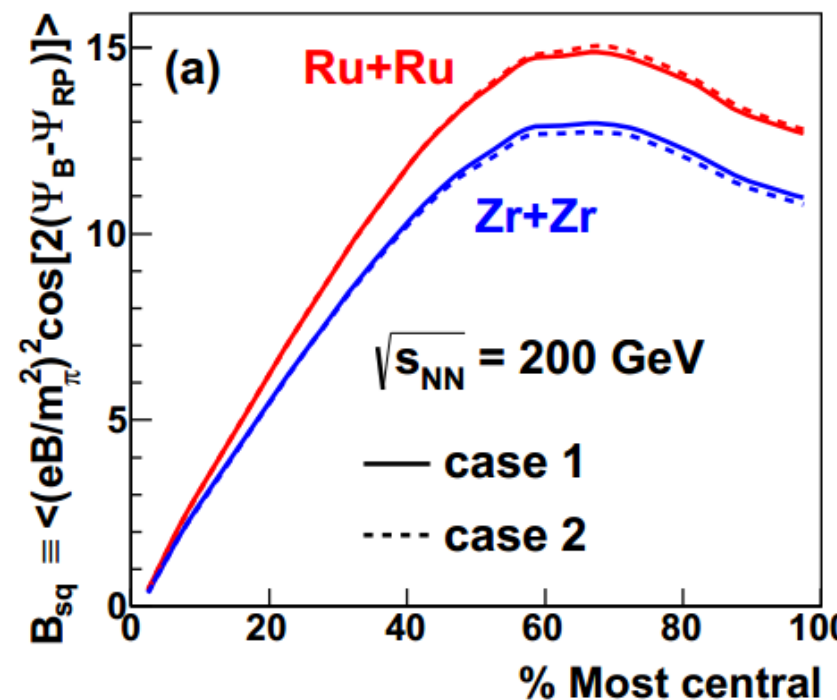
Case 1: e-A scattering experiments (nucl. Data tab. 2001)

Case 2: comprehensive model deductions (nucl. Data tab. 2001)

		R_0 (fm)	a (fm)	β_2
Case 1	Ru	5.085	0.46	0.158
	Zr	5.02	0.46	0.08
Case 2	Ru	5.085	0.46	0.053
	Zr	5.02	0.46	0.217

Isobaric collisions

Initial magnetic field and initial eccentricity



Deng, XGH,
Ma, and
Wang, 2016

B_{sq} quantifies magnetic-field fluctuation (Blozynski, XGH, Zhang, and Liao, 2013)
 R is the relative difference: $2(\text{RuRu-ZrZr})/(\text{RuRu+ZrZr})$

Centrality 20-60%: sizable difference in B ($R_{B_{sq}} \sim 10 - 20\%$) but small difference in eccentricity ($R_{\varepsilon_2} < 2\%$)

QM2017での進展(の一部)

1. 重イオン衝突におけるカイラル輸送現象の検証に向けて

- ✓ カイラル磁気効果を含んだ流体力学の数値計算と粒子相関 [Talk by Hirono]
- ✓ 粘性+カイラル輸送流体のシミュレーションと粒子相関の計算 [Talk by Shi]
- ✓ 小さい系におけるカイラル磁気効果の実験的検証 [Talk by Sorensen, Tu, Park]
- ✓ RHICの同重体(isobar, ZrZr/RuRu)衝突実験に向けた計算 [Talk by Huang, Shi]

- 初期過程における古典統計近似に基づいたカイラル磁気効果の計算 [Talk by Mueller]

- カイラル渦/磁気効果を含んだ流体力学の数値計算と粒子相関 [Talk by Guo]
- 流速場の渦度分布の時間発展とラムダ粒子の偏極 [Talk by Pang, Karpenko, Wang]
- 原子核内の荷電粒子を波束として扱ったときの電磁場の時間発展 [Talk by Peroutka]

2. カイラル輸送現象に関する新しい現象の提案

- 磁力線のつなぎかえにより誘発されるカイラル磁気効果 [Talk by Hirono, Kharzeev]
- カイラル磁気流体におけるモード解析と不安定モード [Talk by Hattori, Hirono]
- 強い磁場中におけるカイラルプラズマの輸送現象(電荷の再分配) [Talk by Hattori]

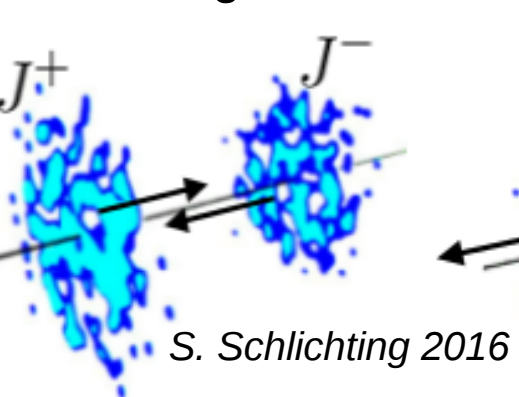
1.

Anomalous Phenomena in Heavy Ion Collisions

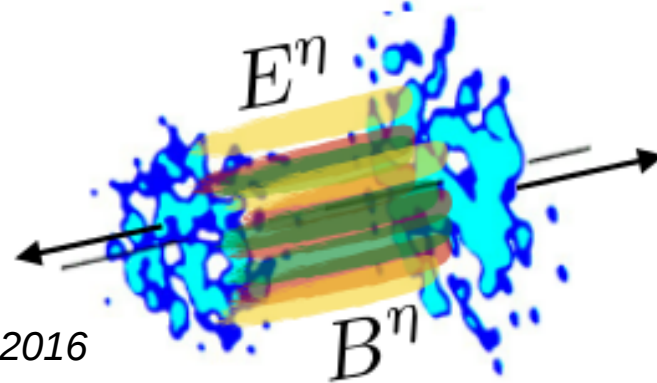


UNIVERSITÄT
HEIDELBERG
ZUKUNFT
SEIT 1386

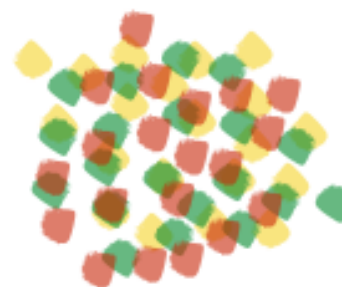
CGC
colliding nuclei



flux tubes



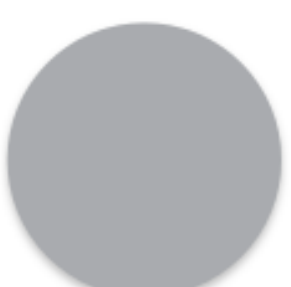
over-occupied
plasma



kinetic regime



hydrodynamic
regime

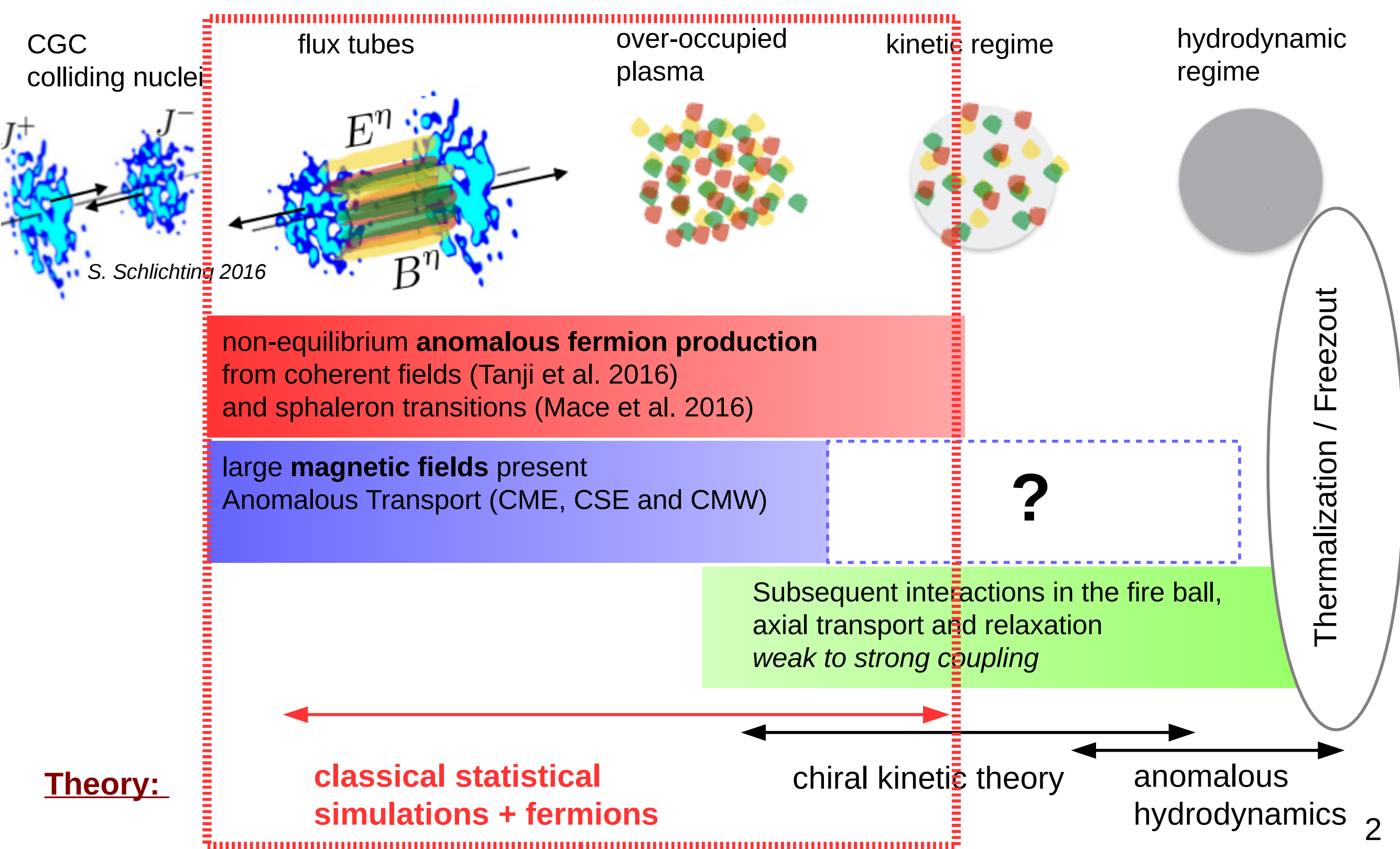


1.

Anomalous Phenomena in Heavy Ion Collisions



UNIVERSITÄT
HEIDELBERG
ZUKUNFT
SEIT 1386



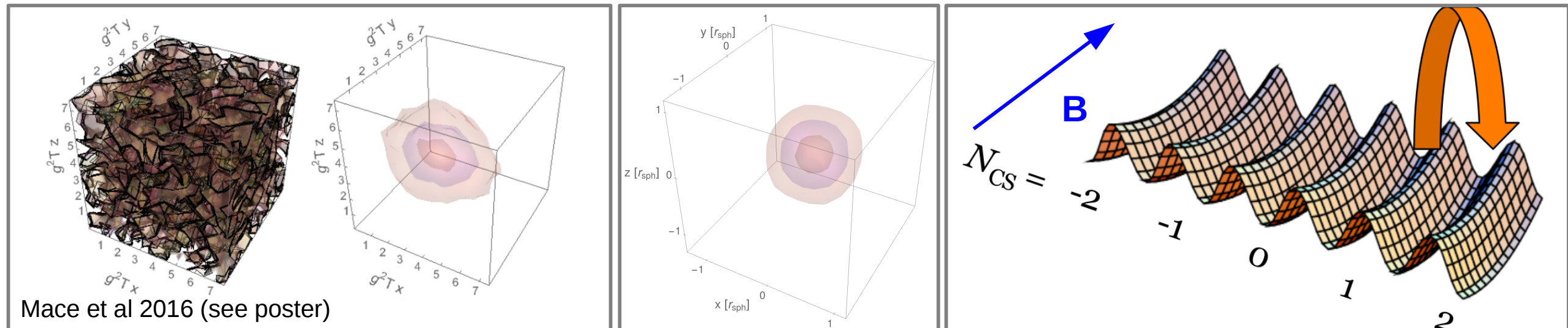


2. Real-time simulations

Anomalous fermion dynamics induced by a topological transition

→ Classical statistical simulations

simplified situation: setting up an isolated sphaleron transition in background abelian magnetic fields



- consistent treatment of axial charge production, non-abelian gauge fields as **dynamical degrees** of freedom.

Fermions: Challenging!
Solving Dirac operator equation
in mode-function expansion

→ extremely costly ($\sim N^6$)

→ big obstacle so far and many attempts at reducing price (e.g. 'low-cost' techniques, Borsányi and Hindmarsh 2009)

$$i\gamma^0 \partial_t \hat{\psi} = (-i\cancel{D}_W^s + m) \hat{\psi}$$

$$\hat{\psi}_{\mathbf{x}}(t) = \frac{1}{\sqrt{V}} \sum_{\lambda} \left(\hat{b}_{\lambda}(0) \phi_{\lambda}^u(t, \mathbf{x}) + \hat{d}_{\lambda}^{\dagger}(0) \phi_{\lambda}^v(t, \mathbf{x}) \right)$$

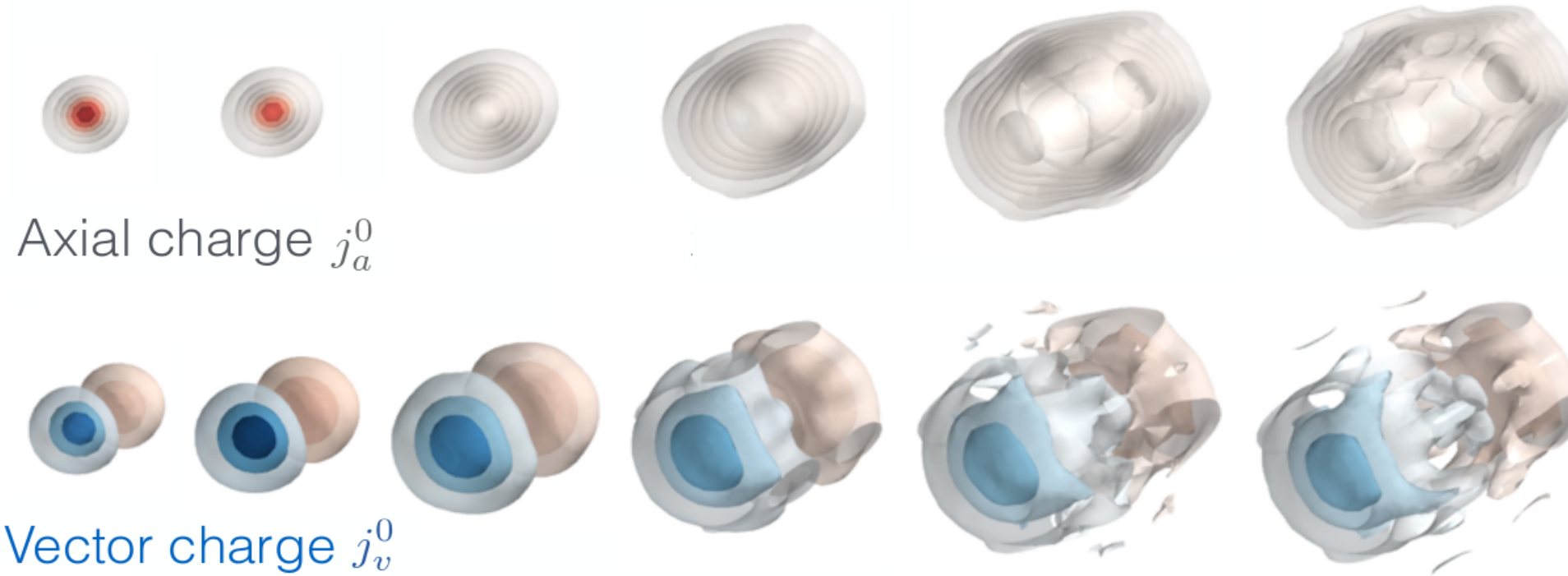
2.

Real-time simulations



Chiral Magnetic and Chiral Separation Effect

NM, Schlichting, Sharma, PRL 117 (2016) 142301; Mace, NM, Schlichting, Sharma, arXiv:1612.02477



Initially: Vacuum (no fermions, no axial charge)

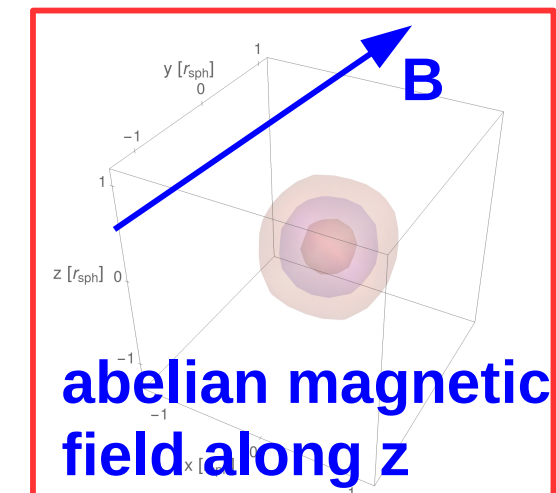
Chiral Magnetic Effect:

Electric current generated due to axial charge produced

Chiral Separation Effect:

Axial current generated due to electric charge

→ Emergence of the **Chiral Magnetic Wave**

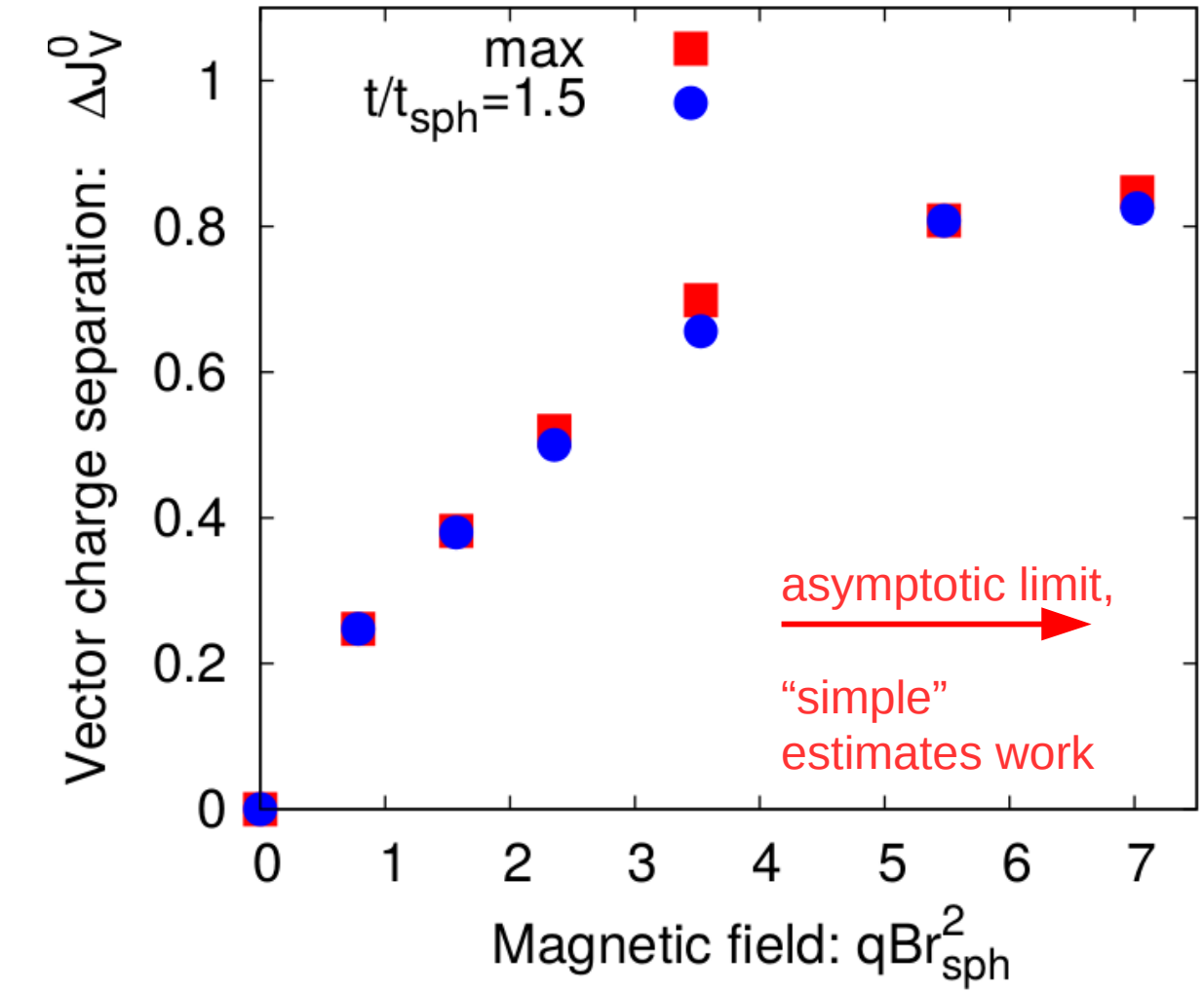
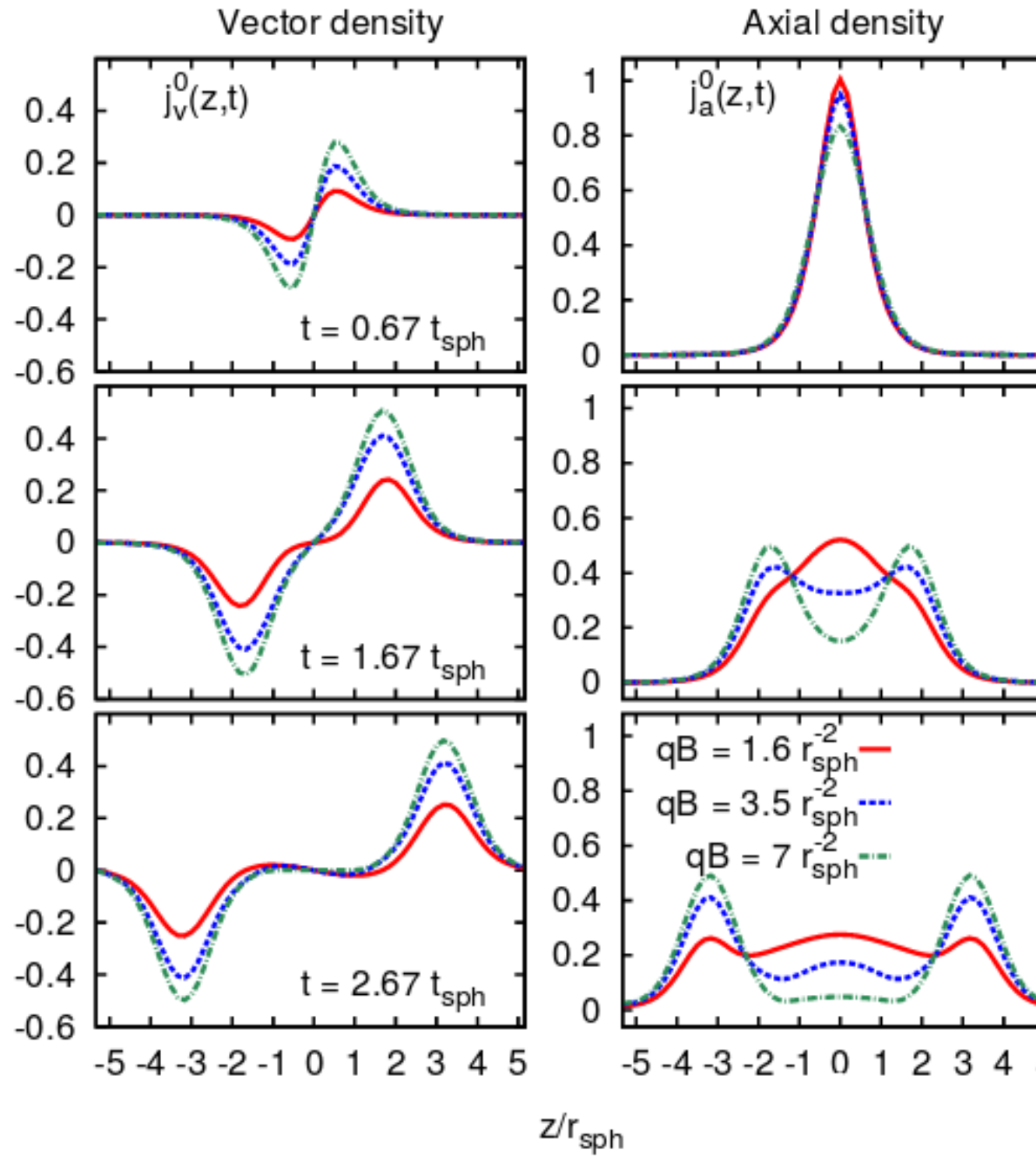


2.

Real-time simulations



Magnetic Field Dependence

**finite magnetic field:**

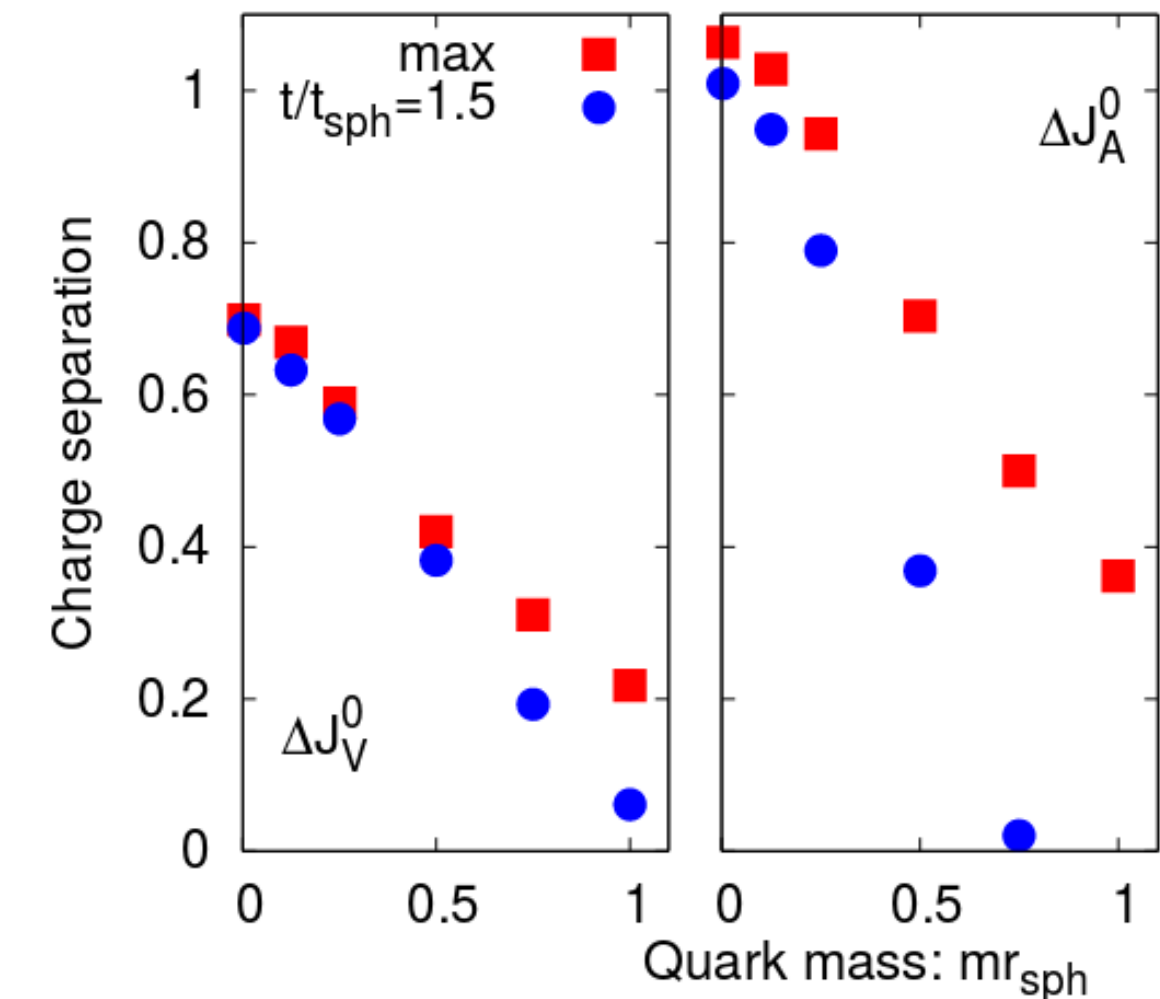
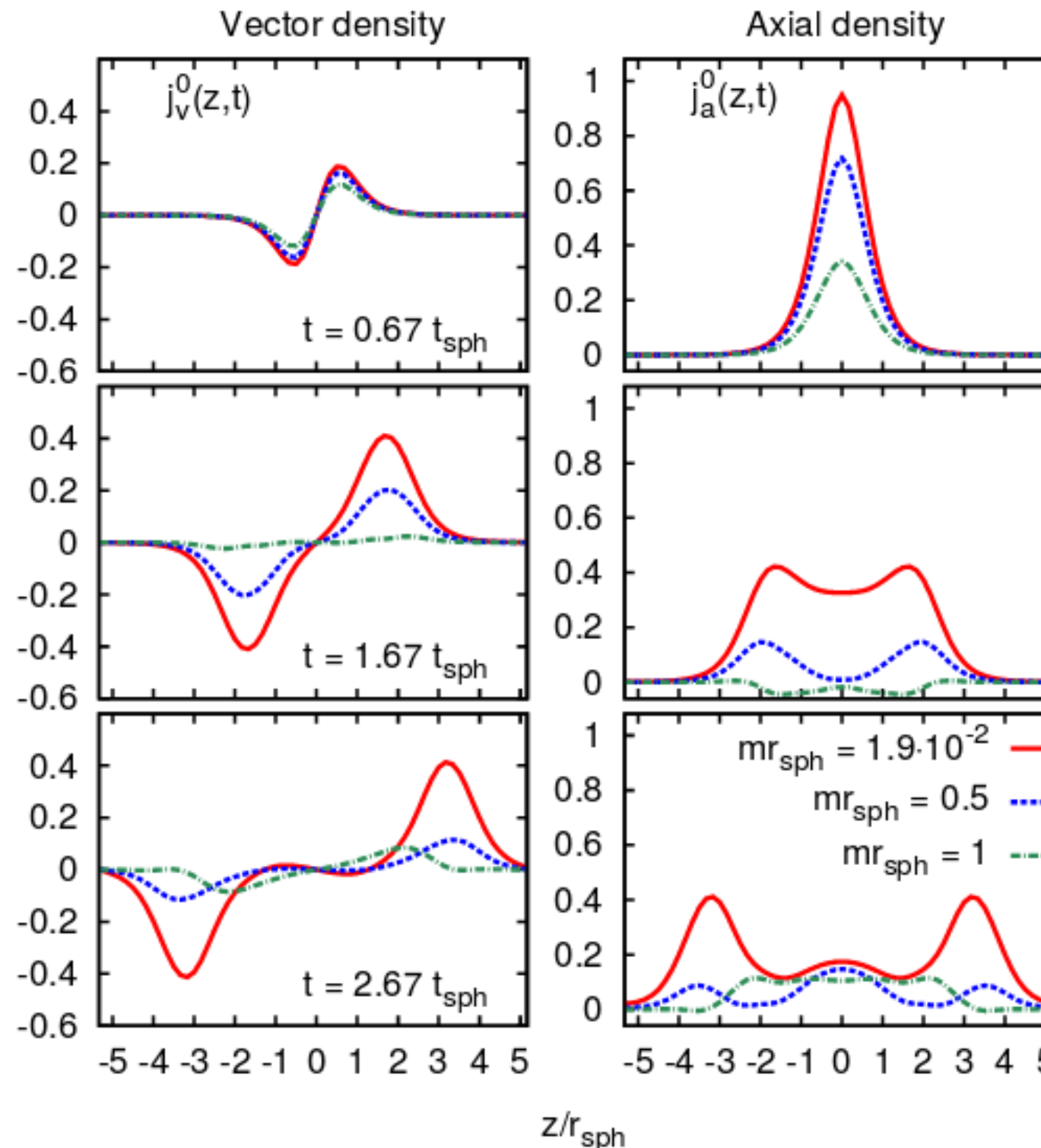
- important deviations from 'ideal' picture of CME

2.

Real-time simulations



Finite quark mass



finite quark mass effects
 → anomalous transport
 suppressed for heavy quarks

まとめ

1. 重イオン衝突におけるカイラル輸送現象の検証に向けて

- ✓ カイラル磁気効果を含んだ流体力学の数値計算と粒子相関 [Talk by Hirono]
- ✓ 粘性+カイラル輸送流体のシミュレーションと粒子相関の計算 [Talk by Shi]
- ✓ 小さい系におけるカイラル磁気効果の実験的検証 [Talk by Sorensen, Tu, Park]
- ✓ RHICの同重体(isobar, ZrZr/RuRu)衝突実験に向けた計算 [Talk by Huang, Shi]
- ✓ 初期過程における古典統計近似に基づいたカイラル磁気効果の計算 [Talk by Mueller]

理論計算も実験解析も着実に進展している。

(とくに, **CME+Hydro**による観測量の計算は大きな進展。
ただし, 問題点がいろいろあることにも気をつける必要あり)

しかしあいまのところ, **CME**のシグナルと断言できるものはない
(個人的には今回出た実験データはCMEを否定しているように見える)
ということで, 次回QMのさらなる結果に乞うご期待 !

Back up

QM2017のさんかしゅ

・りるん(26無い)

あかまつ,いはくら,おおの,おかい,おかもと,かじもと,か
わくら,つきじ,さじょう,さかい,さかいだ,せきぐら,たち
はな,たや,たんじ,つづい,なら,のなか,はっとり,ひだか,
ひろの,ふじい,ほんごう,もんない,よしだ,わたなべ,

・じっけん(27無い)

あおき,あきは,おがわ,おざわ,くんじ,さかい,さかぐら,さ
かもと,しがき,じもむら,すざうら,すざたて,せきはた,た
なか,とどろき,なかごみ,ながしま,にいだ,のなか,はまが
き,ほしの,ほそかわ,みつか,むらかみ,やの,やまくら,わた
なべ,